

ГОСУДАРСТВЕННЫЙ ГЕОЛОГИЧЕСКИЙ КОМИТЕТ СССР
ГОСУДАРСТВЕННЫЙ ПРОИЗВОДСТВЕННЫЙ ГЕОЛОГИЧЕСКИЙ
КОМИТЕТ РСФСР
ДАЛЬНЕВОСТОЧНОЕ ГЕОЛОГИЧЕСКОЕ УПРАВЛЕНИЕ

Экз. №

ГЕОЛОГИЧЕСКАЯ КАРТА СССР

Масштаба 1:200000

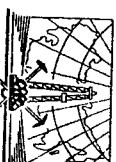
Серия Хингано-Буреинская

Лист М-53-II

Объяснительная записка

Составил В. Ф. Сухов
Редактор Е. Б. Белогенев

Утверждено Научно-редакционным советом ВСГЕИ
27 апреля 1982 г., протокол № 19



ВВЕДЕНИЕ

Территория листа М-53-II охватывает бассейн верхнего течения р. Буреи между $51^{\circ} 20'$ — $50^{\circ} 00'$ с. ш. и $133^{\circ} 00'$ — $134^{\circ} 00'$ в. д. Административно она выходит в Верхне-Буреинский район Хабаровского края РСФСР.

Горные сооружения наиболее возвышенной восточной половины района относятся к северо-западным отрогам Буреинского хребта и предгорьям хр. Дуссе-Алинь. Рельеф здесь выражен серией горных узлов, в центре которых возвышаются лишенные растительности конусо- и пикообразные вершины с абсолютными отметками от 1100 до 1847 м. От них в различных направлениях отходят короткие (8—15 км), но высокие скалистые хребты с крутыми (до 50°) склонами, покрытыми крупноглыбовыми ссыпями. Относительные превышения на этой площади достигают 1000 м. К западу рельеф постепенно понижается, и в пределах северной части Буреинской депрессии абсолютные отметки равны 400—700 м, а относительные превышения составляют 300—400 м. Водораздельные пространства приобретают меридиональную ориентировку, становятся широкими, крутизна склонов не превышает 15—20°. Залесенные вершины соединены широкими седловинами. В северо-западной части района абсолютные отметки и относительные превышения снова увеличиваются, достигая, соответственно, 1300 и 600—700 м.

Основной водной артерией является р. Бурея, протекающая с востока на запад в центральной части площади. На отрезке от устья р. Усмань до устья р. Верхней Деш долина ее узкая, извилистая. Река течет в одном русле шириной до 150 м. Ниже устья р. Верхней Деш долина Буреи резко расширяется до 4—5 км, а русло разбивается на множество протоков и рукавов. Продольный профиль долины ступенчатый, в результате чего протяженные глубокие плесы со спокойным течением чередуются с мелкими бурными перекатами (Стеклянный и ряд безымянных), представляющими опасность при плавании на плотах и моторных лодках. Слева и справа в Бурею впадают крутые притоки: рр. Усмань, Правый и Левый Уссомах, Тастан, Умаль-

ту с притоками Мальмальской, Эпикан и ряд более мелких притоков. За пределами района в нее впадают рр. Ургал и Нимакан, истоки которых находятся на описываемой территории. Река Бурей полноводна, и в летнее время по ней возможно передвижение на глиссерах и моторных лодках, в зимнее — на автомобильных транспортных лодках. Для передвижения водного транспорта непригодны. Это типичные горно-таежные реки, с быстрым течением, множеством мелких перекатов и заливов. Характерной особенностью рек является наличие многочисленных кос, сложенных крупноблочным аллювием. По рр. Буре, Усманы, Тастану, Умальте, Мальмалье и др. они имеют ширину до 200 м и протягиваются почти непрерывно по обеим сторонам реки. Реки района значительно препятствуют передвижению вьючного транспорта, ибо в дождливый период даже ключи, протяженностью 6—7 км, превращаются в бурные потоки.

Климат района континентальный. Среднегодовая температура воздуха составляет 4.7°C , при максимуме ($+30^{\circ}\text{C}$) в июле и минимуме (-50°C) в январе. Среднегодовое количество атмосферных осадков достигает 670 км. Максимальное количество их выпадает в летний период (в июле и августе до 325 мм), минимальное — в зимний (в январе и феврале до 20 мм). В июле число дней с осадками около 20. Толщина снежного покрова колеблется от 0,4 до 1 м. Отрицательная среднегодовая температура воздуха и маломощный снежный покров приводят к образованию многолетней мерзлоты, которая имеет островной характер и развита на склонах северной экспозиции и заболоченных участках.

Обнаженность рассматриваемой площади крайне неравномерна. Сравнительно неплохо обнажена ее восточная часть, где хорошие разрезы наблюдаются в береговых обрывах рр. Бурей, Мальмальты, Томтора, Магана, а также по их мелким притокам. Кроме того, многочисленные денудационные останцы, осыпи и развалы отмечаются на склонах и вершинах водоразделов в пределах отрогов Буреинского хребта и в предгорной части хр. Дуссе-Алинь. На заболоченных междуручьях пространствах в центре Буреинской депрессии обнажения горных пород фиксируются только в выемках шоссейной дороги Умальта — Чегдомын. Однако отсутствие их на этой территории компенсируется хорошей денифицируемостью аэрофотоснимков.

Экономика района связана с разработкой Умальтинского молибденового месторождения и россыпных месторождений золота в бассейне р. Ерик. Основным промышленным предприятием является Умальтинский рудник¹, поселок которого расположен вблизи северной границы листа. Он соединен улучшен-

ной грунтовой дорогой с железнодорожной станцией Чегдомын. На этой дороге расположены поселки Угольная шахта № 5 и Ерик. В долине р. Умальта находится пос. Усть-Умальта и подсобного хозяйства Умальтинского рудника, связанные грунтовыми дорогами с магистралью Умальтинский рудник — ст. Чегдомын. Свободная рабочая сила в районе отсутствует.

Первые сведения о геологическом строении района были получены в результате маршрутных исследований А. Ф. Мидлендорфа (1860—1878) и Ф. Б. Шмидта (1868).

Впоследствии Л. Ф. Башевич (1894) установил широкое развитие угленосных отложений и дал рекомендации по поискам и разведке каменноугольных месторождений, на площади от устья р. Умальты до пос. Чекунла.

Большое значение для освоения района, а следовательно, и для изучения его геологического строения, имело установление промышленной ценности Умальтинского молибденового месторождения (Хрушев, 1928). Общие перспективы Буреинского каменноугольного бассейна впервые были определены В. З. Скородном (1932, 1935) и Б. М. Штемпелем (1932), которыми была составлена первая геологическая карта юго-западной части листа М-53-11 в масштабе 1:200 000 и разработана первая стационарная схема морских и пресноводно-континентальных отложений юры и мела.

В дальнейшем изучение геологического строения и полезных ископаемых территории листа проводилось по двум направлениям: с одной стороны велись региональные работы м-басиса (Прилада, 1936, 1940; Крымгольд, 1939) и литолого-стратиграфические исследования (Шатский, Давыдов, 1936, 1937; Херасков, Давыдова, Крашенинников, Пенинский, 1939; Давыдова, Гольдштейн, 1949), с другой — крупномасштабные съемки (Бараев, 1955, 1956; Билян, Сигов, 1957) и поиски полезных ископаемых в различных масштабах (Ивантишин, 1935; Нелюбин, Смирнов и Чернышев, 1937; Клюшанов, 1942; Чернышев, 1942; Материков, 1941; Малышев, 1942; Смирнов, Кудрина, 1951, 1952, 1954; Толстов, 1951; Филина, 1955; Кохановская, Кохановский; Грейскол, 1956; Руднева, Шамцян, 1958).

Сводные работы по геологии и металлогении Верхне-Буреинского района принадлежат В. В. Оникишевскому (1948, 1951). Классическими исследованиями В. Д. Прилады (1936, 1940) и Г. Я. Крымгольда (1939) была разработана основа биостратиграфического расчленения юры и мела Буреинского прогиба, в результате работ Н. С. Шатского и Т. Н. Давыдовой (1936, 1937), Н. П. Хераскова, Т. Н. Давыдовой, Г. Ф. Крашенинникова и Д. Д. Пенинского (1939), Т. Н. Давыдовой и С. Л. Гольдштейн (1949) произведено разделение юры и мела на свиты, выяснина структура Буреинского каменноугольного бассейна,

угленакопления и изменения фаций. Эти работы отличаются высоким качеством, благодаря чему стратиграфическая схема, предложенная этими исследователями, служит основой для расчленения мезозоя и в настоящее время, а работа Т. Н. Давыдовской и Ц. Л. Гольдштейн «Литологические исследования в Буренском бассейне» является образцом по изучению фациальных условий осадконакопления пресноводно-континентальных отложений. При этом мысль о большей угленасыщенности восточной части Буренского бассейна была впервые высказана Н. С. Шатским.

Значительный интерес представляют исследования М. Н. Ивантишина (1935), которым в бассейнах Усманы, Тас-таха и Уссомаха выделялись три несогласно залегающих комплекса: гнейсов, кристаллических сланцев и толща уссомах. В последнюю им были включены зеленокаменные породы, кремнистые и глинистые сланцы, конгломераты, песчаники. Возраст толщи уссомах М. Н. Ивантишин считал верхнетриасовым. Последующими исследователями данные М. Н. Ивантишина незаслуженно игнорировались и из состава толщи уссомах зеленокаменные породы были исключены, а возраст ее считался палеозойским, протерозойским или синийским. Работами автора настоящей записи (Сигов, 1960) стратиграфические построения М. Н. Ивантишина полностью подтверждились.

В результате детальных геологосъемочных и поисково-разведочных работ, кроме разработки вопросов стратиграфии и тектоники доюрских образований, металлогении и магматизма, на территории листа М-53-II были открыты и изучены Умальгинское (Хрущев, 1928) и Биранджинское (Руднева, 1958) месторождения, Усть-Мальмальгинское (Смирнов, Курдина, 1952), Мальмальгинское (Смирнов, Курдина, 1954) рудопроявления Молибдена, Афанасьевское месторождение ртути (Кохановская и др., 1956), Олонжинское каменноугольное месторождение (Голстов, 1951).

Комплексное геологическое картирование в масштабе 1:200 000 восточной и юго-западной частей территории листа М-53-II и редакционно-увязочные маршруты в северо-западной половине ее проведены автором настоящей записи (Сигов, 1960, 1961).

Помимо перечисленных работ для составления геологической карты, карты полезных ископаемых и объяснительной записки к ним использованы материалы тематических исследований И. И. Сей (1958, 1959), Е. П. Брудницкой (1959), К. А. Суходольского (1961), данные аэромагнитной съемки 1:200 000 (Политиков, Диленко, 1959), а также результаты геологического дешифрирования аэрофотоснимков. Обоснование возраста пресноводно-континентальных отложений приведено соответственно взгляду В. А. Вахрамеева (1960, 1961), изучившего и монографически описавшего ископаемую флору Буренского бассейна.

СТРАТИГРАФИЯ НИЖНИЙ ПРОТЕРОЗОЙ

Тастахская свита

В настоящую серию выделен комплекс метаморфических пород, развитый в верхнем течении р. Бурен, в бассейнах ее притоков — рр. Тастах, Саганар, Угдал, Четгомын и Солони. Хорошая обнаженность и наличие опорных разрезов на площади листа М-53-II позволили разделить тастахскую серию на три свиты, стратотипы которых описаны в береговых обнажениях р. Бурен, на отрезке между устьями рр. Уссомах и Верхний Деш. Названия свиты получили по названиям рек, в бассейнах которых та или иная из них пользуется наибольшим распространением.

Амбардахская свита (*Pt, am*) залегает в основании тастахской серии. В виде узких (до 2 км) полос меридионального простирания она обнажена в истоках р. Амбардах и в верховьях р. Тастах. Литологически свита выдержанна по простираннию. На всем протяжении она сложена мономинеральными и слюдистыми кварцитами с прослоями биотитовых гнейсов в верхней части разреза.

Наиболее полный разрез¹ амбардахской свиты изучен в бетовых обнажениях рек Тастах и Маган. Разрез свиты следующий:

1. Кварциты светло-серые, сланцеватые, с прослоями мономинеральных массивных кварцитов мощностью 2—10 м	100 м
2. Кварциты светло-серые, массивные, мономинеральные с редкими пластами слюдистых кварцитов мощностью 5—10 м	550—600 „
3. Кварциты мономинеральные и слюдистые, розовые и светло-серые, с прослоями биотитовых гнейсов мощностью 2—10 м, количество которых кверху постепенно возрастает	100 „

Видимая мощность амбардахской свиты 800 м.

Саганарская свита. Нижнесаганарская подсвита (*Pt, sg*) протягивается в северо-северо-восточном направлении из истоков р. Амбардах, через бассейн р. Саганар, в верховья р. Тастах. Она залегает согласно на амбардахской свите и представлена биотитовыми, гранат-биотитовыми гнейсами и амфиболитами. Согласное залегание между ними наблюдается в прекрасных береговых обнажениях р. Бурен и в бассейнах рр. Тастах и Маган. Граница между амбардахской свитой и нижнесаганарской подсвитой нечеткая. Она принимается по подошве пачки биотитовых гнейсов, среди которых отсутствуют пластины кварцитов.

¹ Здесь и далее разрезы дочетвертичных отложений приводятся снизу вверх; мощности даются в метрах.

В береговых обнажениях р. Бурей разрез нижнесаганарской подсвиты следующий:

1. Гнейсы биотитовые, темно-серые и серые, полосчатые (иногда массивные), участками интенсивно инъецированные гранитным материалом. Полосчатость гнейсов обусловлена чередованием полос кварц-полевошпатового и биотит-кварцевого состава мощностью от 0,5 до 5 см.	400 м
2. Амфиболиты темно-серые, массивные	200 "
3. Гнейсы биотитовые, переслаивающиеся с гранат-биотитовыми разновидностями. Внизу пачки гранат-биотитовые гнейсы образуют редкие единичные прослои. Мощность в 10—20 см. Вверх по разрезу количество их возрастает, и в верхней части пачки гранат-биотитовые гнейсы преобладают над биотитовыми. Мощность слоев тех и других колеблется от 1 до 10 м	200—250 "
4. Гнейсы биотитовые, массивные	50 "
5. Гнейсы биотитовые, переслоевые розовыми кварцитами	15—20 "
6. Гнейсы биотитовые, массивные	50—70 "
7. Гнейсы биотитовые с пропластками кварцитов	30—35 "
8. Гнейсы биотитовые и роговообманково-биотитовые, темно-серые	20 "

Мощность подсвиты 800—850 м.

Аналогичные вышеописанному разрезы характерны для нижнесаганарской подсвиты и в бассейне рр. Тастах и Амбардах. Пачка амфиболитов ни к югу, ни к северу от буреинского разреза не прослеживается. Возможно, что амфиболиты являются ортопородами.

Среднесаганарская подсвита ($Pt_1 Sg_2$) сложена гранат-биотитовыми, биотитовыми и графит-гранат-биотитовыми гнейсами. Она связана постепенным переходом с нижнесаганарской подсвитой и параллельно ей прослеживается почти через всю площадь листа, от истоков р. Амбардах на юге до бассейна р. Мальмальта на севере.

В буреинском разрезе строение подсвиты следующее:

1. Гнейсы гранат-биотитовые, мелкозернистые, реже среднезернистые, серые и темно-серые, полосчатые. Ширина полос от 2 до 5 см	200 м
2. Гнейсы графит-биотитовые, темно-серые	25 "
3. Гнейсы гранат-биотитовые, массивные и полосчатые	500 "
4. Гнейсы биотитовые, с пластами гранат-биотитовых гнейсов, мощностью 0,5—10 м	150 "
5. Гнейсы гранат-биотитовые, переслаивающиеся с биотитовыми и графит-гранат-биотитовыми разновидностями. Мощность пластов различных гнейсов изменяется от 2 до 10 м	100 "

Мощность подсвиты 1000—1050 м.

Верхнесаганарская подсвита ($Pt_1 Sg_3$) пользуется широким распространением в истоках рр. Ниж. и Верх. Деш., верховьях р. Тастах и в бассейне р. Мальмальта, где она слагает крылья синклинальной складки и прорвана позднеледовитыми гнейсами. Кроме того, из среднего течения р. Тастах подсвита прослеживается к югу, в бассейн р. Амбардах. Она представлена биотитовыми гнейсами и кварцитами. За границу между средне- и верхнесаганарской подсвิตами принята подошва пласта кварцитов, залегающего согласно на гранат-биотитовых гнейсах среднесаганарской подсвity. Постенный разрез

верхнесаганарской подсвity изучен в береговых обнажениях Бурей:

1. Кварциты светло-серые, слюдистые	25 м
2. Гнейсы биотитовые, полосчатые	50 "
3. Кварциты светло-серые, массивные	30 "
4. Гнейсы биотитовые, массивные	15—20 "
5. Гнейсы биотитовые, переслоевые розовыми кварцитами	15—20 "
6. Гнейсы биотитовые, массивные	50—70 "
7. Гнейсы биотитовые с пропластками кварцитов	30—35 "
8. Гнейсы биотитовые и роговообманково-биотитовые, темно-серые	20 "

Мощность подсвity 700—800 м.

Лепиканская свита ($Pt_1 Lp$) выполняет ядро синклиниории в бассейне среднего течения р. Амбардах, и кроме того, полосой северо-восточного простирания прослеживается из истоков р. Лепикан в верховья р. Верх. Деш. В строении свиты участвуют графит-биотитовые гнейсы, графитовые сланцы и мраморы. Она залегает согласно на нижележащей саганарской свите. Границей между ними служит подошва первого пласта мраморов, принадлежащего лепиканской свите.

Разрезы, вскрывающие послойное строение свиты, на рассматриваемой площади отсутствуют, поэтому ниже приводится схематический разрез, составленный по разрозненным береговым обрывам Бурей:

1. Мраморы белого цвета, крупнокристаллические	0,7 м
2. Гнейсы биотитовые с прослоями графит-биотитовых гнейсов, графитовых сланцев и мраморов	60—70 "
3. Сланцы графитовые с прослоями графит-биотитовых гнейсов и двумя пластами мраморов	150 "
4. Гнейсы графит-биотитовые с единичными прослоями биотитовых гнейсов, графитовых сланцев и линзами мраморов	800 "

Суммарная видимая мощность свиты порядка 1000 м.

Мощность тастахской серии около 4500 м. Слагающие ее витчинах структуры в породах нигде не наблюдается, принадлежность их к парапородам не вызывает сомнений ввиду присутствия среди гнейсов кварцитов, мраморов и графитовых сланцев.

Кварциты, принимающие участие в строении амбардахской свиты и верхнесаганарской подсвity, имеют светло-серый и розовый цвет. Структура их гранат- и лепидогранобластовая, текстура массивная и сланцеватая.

Вопрос о взаимоотношении тастахской серии с выделяющимися в близлежащих районах амурской серией и гуджальской свитой не ясен. Предположения о взаимоотношении между тастахской и амурской серией будут высказаны ниже. Гуджальская свита выделена в бассейне р. Гуджал на простирании тастахской серии к югу. Она представлена гнейсами, кварцитами,

амфиболитами и слюдяными сланцами, т. е. породами, близкими к породам таствахской серии. Однако различие в разрезах не позволяет достаточно точно произвести их сопоставление. Можно лишь предположить, что таствахская серия и гуджальская свита представляют единий комплекс осадков. Причем меньшая степень метаморфизма пород гуджальской свиты, в которых сохранились реликты первичного состава и структуры, а также появление вверху таствахской серии мраморов, сланцев и амфиболитов (Дарбинян, 1961), характерных для гуджальской свиты, может свидетельствовать о том, что гуджальская свита наращивает разрез нижнего протерозоя в бассейне р. Буреи.

Амурская серия

Туловчикинская свита (Pt, tl) распространена на небольшой площади в верховьях р. Верхняя Буренда. Она состоит из биотитовых и роговообманково-биотитовых гнейсов. Вблизи контактов с протерозойскими интрузиями породы инъектированы гранитным материалом и превращены на ряде участков в инвекционные гнейсы. Коренные обнажения на площади распространения пород туловчикинской свиты отсутствуют. Судя по делювиальным свалам, биотитовые и роговообманково-биотитовые гнейсы имеют полосчатую текстуру и часто переслаиваются между собой. Полосчатое строение их обусловлено чередованием полос кварц-полевошпатового, кварц-биотитового, либо кварц-амфибол-биотитового состава. Гнейсы состоят из микроклина (40—70%), плагиоклаза (20—40%), кварца (10—30%), биотита (5—15%), роговой обманки (0—10%) и аксессорных минералов: сфена и магнетита. Наряду с обычной грано-, гетеро- и лепидогранобластовой структурами гнейсов, в них наблюдаются реликты псаммитовой структуры, что указывает на принадлежность их к парагородам. Мощность туловчикинской свиты, по данным Ю. А. Пестова (1957), 500 м.

Туловчикинская свита залегает в основании амурской серии. Взаимоотношения между туловчикинской свитой и породами таствахской серии не могут быть установлены ввиду их пространственной разобщенности.

Учитывая, что в отложениях амурской серии довольно часто наблюдаются реликты первичных структур и содержатся породы низкой степени метаморфизма (фации зеленых сланцев), что нигде не отмечалось для таствахской серии, автор склонен считать амурскую серию более молодой.

ВЕРХНИЙ ПРОТЕРОЗОЙ

Самурская толща (Pt_2, sm) развита в бассейне притоков р. Усмань, где обнаружается в ядре антиклинальной складки. Она представлена черными графит-серидит-кварцевыми

и зелеными хлорит-кварцевыми сланцами. Присутствие графитовых пород и множества послойных кварцевых жил являются характерной особенностью самурской толщи как на рассматриваемой территории, так и далеко за ее пределами.

Строение нижней и средней части толщи изучено по разрезу, ненным коренным выходам и делювиальным свалам пород в бортах долины р. Куранах. Нижняя часть ее сложена в основном графит-серидит-кварцевыми сланцами с небольшим количеством пачек хлорит-кварцевых сланцев мощностью до 20—30 м. В средней части толщи количество последних возрастает и среди пачек графит-серидит-кварцевых сланцев появляются пласти биотит- и серидит-кварцевых сланцев мощностью до 10—15 м.

Послойный разрез верхней части толщи описан по береговым обнажениям р. Буреи, выше устья р. Усмань, где на протяжении 2 км в коренных выходах наблюдается следующая последовательность напластования пород:

1. Сланцы хлорит-кварцевые, светло-зеленые, плойчатые	55 м
2. Сланцы биотит-серидит-кварцевые, черного цвета, пронизанные кварцевыми жилами, тонкорасплотченные	10 "
3. Сланцы графит-серидит-кварцевые, темно-серого, почти черного цвета, тонкорасплотченные за счет инъекции кварцевых жил	83 "
4. Сланцы хлорит-кварцевые, зеленого цвета полосчатые	12 "
5. Сланцы графит-серидит-кварцевые, темно-серые	6 "
6. Сланцы хлорит-кварцевые, зеленого цвета	8 "
7. Сланцы графит-серидит-кварцевые, темно-серого цвета, плойчатые, полосчатые за счет согласных инъекций кварцевых жил	42 "
8. Сланцы хлорит-кварцевые, светло-зеленого цвета	5 "
9. Сланцы графит-серидит-кварцевые, темно-серые	51 "
10. Сланцы хлорит-кварцевые, светло-зеленого цвета, пронизанные кварцевыми прожилками	15 "
11. Сланцы серидит-кварцевые, светло-серого цвета, массивные	3 "
12. Сланцы графит-серидит-кварцевые, темно-серого цвета, плойчатые	12 "
13. Сланцы хлорит-кварцевые, светло-зеленого цвета	1 "

Общая мощность 303 м

Выше залегают серидит-кварцевые сланцы аныкской толщи. Видимая мощность самурской свиты оценивается в 1500—1800 м.

По-видимому, породы самурской толщи возникли за счет метаморфизма мощной толщи углистых и углисто-глинистых сланцев, переслаивающихся с плакровами основных и, возможно, средних эффузивов. Не исключена возможность образования части зеленых сланцев за счет мергелистых осадков.

Аныкская толща (Pt_2, an) полосой меридионального направления прослеживается из бассейна к. Ургал-Макит к северу, в истоки р. Маган. Она представляет собой монотонную толщу слюдистых пород светло-серого цвета. Строение

от друга на 30 км и более, в породах не наблюдается какихлибо изменений. В основном это серийт-кварцевые сланцы среди которых по более темной окраске пород удастся выделить, прослои и пласти серийт-биотит-кварцевых сланцев с неясными контактовыми ограничениями. Кроме того, при микроскопическом изучении среди пород аныской толщи устанавливаются мусковит-серийт-кварцевые и альбит-серийтовые сланцы. С нижележащей самырской, аныской толще связана лестепенным переходом, что отчетливо видно в обнажениях по левому берегу долины р. Бурей, вблизи устья. Усмань. Исчезновение ее в разрезах хлоритовых и графитовых разновидностей сланцев служит границей между этими толщами. Несмотря на постепенный переход, различный состав и цвет пород аныской и самырской толщ позволяет легко разделить их при геологическом картировании.

Хорошие разрезы аныкской толщи имеются в бассейнах рр. Маган и Правый Уссомах. На полную мощность, при почти сплошных коренных выходах горных пород, она пересекается р. Буреей, ниже устья р. Усмань. Разрез здесь следующий:

1.	Сланцы серпентит-кварцевые, светло-серые, массивные . . .	150	м
2.	Сланцы биотит-кварцевые, темно-серые, сланцеватые . . .	10	"
3.	Сланцы серпентит-кварцевые, массивные, светло-серого цвета . . .	70	"
4.	Сланцы биотит-кварцевые, темно-серого цвета . . .	1	"
5.	Сланцы Мусковит-серпентит-кварцевые и альбит-серпентитовые, светло-серого цвета, сланцеватые, участками массивные . . .	250	"

Выше залегают серпент-кварцевые сланцы, среди которых изредка встречаются прослои биотит-кварцевых сланцев мощностью не более 1 м.

Лакое же строение толщи устанавливается в бассейне р. Маган и в обнажениях по долине р. Привый Уссомах.

Мощность аныской толщи, замеренная в буреинском разрезе, составляет 2000 м.

Наличие в породах аныкской толщи реликтов псамmitовой структуры позволяет предположить, что слюдистые сланцы возникли в результате метаморфизма мощной толщи песчаников, вероятно квадроплевошпатового состава.

Ортукская толща ($Pt_2?or$) венчает разрез верхнепротерозойских отложений района. На западе она по тектоническим

скому контакту соприкасается с верхнетриасовыми отложениями, на востоке — согласно перекрывает породы аныской толщи, протягиваясь параллельно последней из истоков клоча Ургал-Макит в бассейн р. Маган. В строении толщи принимают участие эпидот-хлоритовые и эпидот-актинолитовые сланцы. Согласное налегание на слюдистые сланцы аныской толщи устанавливается в коренных выходах по левой составляющей р. Маган и вскрыто горными выработками на правобережье р. Бурен. Обычно в самом основании ортукской толщи среди эпидот-хлоритовых и эпидот-актинолитовых сланцев залегают

Маломощные (0,3—0,5 м) прослои серицит-кварцевых сланцев, которые в 8—10 м от подошвы толщи полностью исчезают.

Сердце изучалось в береговых обнаружениях Европы.

рр. Маган и Гравий Уссомах. Во всех просмотренных разрезах толща сложена однообразными массивными, реже плойчатыми сланцами зеленого цвета, среди которых макроскопически нельзя выделить каких-либо разновидностей не только по вещественному составу, но и по структурно-текстурным особенностям. В разрезе по Бурею, в 500 м от основания толщи, залегает 25-метровый пласт хлорит-кварцевых сланцев темно-серого цвета с зеленоватым оттенком. Цвет пород здесь обусловлен присутствием большого (до 25%) количества рудного минерала. Видимая мощность ортуцкой толщи, замеренная в буренском разрезе, равна 1500 м.

Установить реликты первичного состава и структуры пород ортуцкой толщи не представилось возможным. По всей вероятности, эпилот-хлоритовые и эпилот-актинолитовые сланцы возникли в результате метаморфизма вулканогенной толщи большой мощности.

Таким образом, верхнепротерозойский комплекс пород района, метаморфизованный в фации зеленых сланцев, состоит из трех согласно залегающих толщ. Взаимоотношения нижней и верхней протерозойских пород на территории листа М-53-II не известны. Скорее всего они соприкасаются между собой под верхнепротерозойскими отложениями по крупному тектоническому нарушению. Более низкая степень метаморфизма пород самырской, аныкской и ортуцкой толщи, по сравнению с породами таставской серии, а также тесная связь их с интрузиями гранит-гнейсов, позволяют предположить, что на границе раннего и позднего протерозоя имели место складчатые движения, сопровождавшиеся интрузивной деятельностью. Этот вывод подтверждается несогласным наледанием самырской толщи на гнейсы и сланцы саларинской и испатинской свит в верховьях р. Ниман, к северо-востоку от рассматриваемого района (Хохлов, 1958).

ДЕВОНСКАЯ СИСТЕМА

Средний отде́л не́расчлене́ный (D_2) представ-
лен толщей песчаников, филлитовидных и кварцево-слюдяных
сланцев с линзами мраморизованных известняков. Эти породы
слагают бассейн левых притоков р. Умальты (ключей Белем-
нитового и Золотого), и обнажаются по клоочу Известковому —
правому притоку р. Ульты. Они являются остатками кровли
позднепалеозойских интрузий, поэтому почти повсеместно оро-
говикованы. Широкое развитие ореолов контактового метамор-
физма и плохая обнаженность на площади развития среднеде-
вонских (?) пород не позволили составить для них послойного

разреза. Однако толща довольно четко делятся на две пачки.

Нижняя пачка, мощностью примерно 800 м., сложена среднегорными мелкозернистыми сланцеватыми песчаниками светло-серого цвета, имеющими гранобластовую и бластопсаммитовую структуры. Состоит песчаники из кварца (50—70%), полевого шпата (25—35%), мусковита и биотита (5—15%). В основании пачки песчаников имеются линзы конгломератов, сложенные хорошо окатанной галькой гнейсов и слюдистых сланцев размером до 5 см, сцепленной грубозернистым песчаником. В средней части пачки залегают линзы мраморизованных известняков. Последние имеют мощность до 10—15 м и обладают полосчатым строением, обусловленным чередованием полос мощностью от 5—10 см до 1—1,5 м белого, темно-серого и черного цвета. В верхней части пачки появляются маломощные (до 1 м) прослои кварцево-слюдистых сланцев, состоящих из кварца (40—75%), биотита и серицита (25—60%). Выше песчаников следует пачка филлитовидных глинистых и кварцево-слюдистых сланцев, подошва которой показана на геологической карте в виде маркирующего горизонта. Мощность пачки около 700 м. Филлитовые сланцы имеют темно-серый или черный цвет. Структура их лепидобластовая и алевропелитовая. В отличие от кварцево-слюдистых сланцев светло-серого цвета, в филлитовидных разновидностях присутствует серицитизированный глинистый материал. Видимая мощность условно среднедевонских отложений 1500 м.

В отчете Б. Г. Малышева (1942) имеются указания на нахождку в известняках по кл. Известковому органическим остаткам, определенных Б. М. Штемпелем как граптолиты, мишанки и криноидии (более детально состав не приведен) и отнесенных им к нижнепалеозойскому возрасту. Неоднократные попытки повторить сборы ископаемой фауны в карьере кл. Известкового успехом не увенчались. По литологическому составу описанная толща очень сходна с отложениями, развитыми в среднем течении р. Ниман, из которых по сборам А. А. Кириллова и М. Г. Золотова (1943) Б. М. Штемпелем были определены те же ископаемые организмы, что и из вышеуказанных известняков. При последующих работах (Сей, Мусин, 1959) в среднем течении Нимана была обнаружена вполне определимая ископаемая фауна (*Leptaena rhomboidalis* Wilck., *Microspirifer* sp. *gigas*, *Leptostomatus* Sop. и др.) среднедевонского возраста.

ПЕРМСКАЯ СИСТЕМА (?) НЕРАСЧЛЕНЕННАЯ (Р?)

К образованием Пермской системы условно отнесены порфириты, кварцевые порфириты, их туфы и лавы, брекции. Эти образования закартированы на левобережье р. Умальты, вблизи Умальтинского мотибиденового месторождения, и в верховых кл. Лепикан. В последнем случае эффиузины

забираются из-под базальных слоев Умальтинской свиты. Характер залегания пермских (?) туфо-эффиузиевых пород отличается от такового верхнемеловых эффиузиевых образований. Последние обычно слагают верхнюю часть горных узлов; из-под них в глубоко врезанных долинах выступают подстилающие породы. Древние эффиузины, наоборот, с характером современного рельефа не согласуются. При крупномасштабной съемке выяснилось, что они в районе Умальтинского рудника залегают как на вершинах хребтов, так и на склонах; довольно часто узкими полосами пересекают долины рек.

В основании толщи пермских (?) эффиузиев залегает пачка туфо- и лавобрекций порфиритов мощностью от 50 до 100 м. Городы имеют черный цвет и состоят из обломков порфиритов и подстилающих позднепалеозойских гранитов, сцепленных лавой порфиритового состава. Размер обломков колеблется от 0,5 до 5 см, форма их угловатая. Выше лежат лавы порфиритов и кварцевых порфиритов с пластами туфов и лавобрекций, мощность которых не превышает 20 м. Мощность слоев порфиритов и кварцевых порфиритов изменяется от 0,5—3 до 40—50 м. Порфириты характеризуются темно- и зеленовато-серой окраской. Структура их порфировая с гипалопилитовой или микролитовой структурой основной массы. Вкрапленники представлены андезином, роговой обманкой, реже пироксеном. Основная масса состоит из микролитов плагиоклаза и роговой обманки. Кварцевые порфириты отличаются от порфиритов присутствием вкрапленников кварца.

Мощность покровов эффиузиев не превышает 250—300 м. Пермский возраст их принят условно на основании того, что эффиузины залегают на позднепалеозойских гранитах и несогласно перекрываются отложениями умальтинской свиты нижнечерского возраста. Кроме того, определение абсолютного возраста гальки порфиритов из конгломератов умальтинской свиты к северу от рассматриваемой территории дает 210 млн. лет, а к югу в бассейне р. Солони 195 млн. лет. Однако не исключено, что возраст рассматриваемых образований окажется позже — или среднетриасовым.

ТРИАСОВАЯ СИСТЕМА

Верхний отдеи

Карнийский и норийский ярусы

Мерекская свита (*T₃ m_r*) обнажается в бассейне верхнего течения р. Томтор и на небольшой площади выступает в истоках р. Тастах. Она сложена конгломератами, песчаниками и алевролитами. Состав свиты в пределах рассматриваемой территории выдержан по простираннию. В бассейне р. Томтор мерекская свита лежит на размытой поверхности позднепалео-

зойских гранитов, что видно в коренном залегании вблизи устьев правых притоков р. Томтор — ключей Перевального и Полного.

В основании свиты там залегает пачка валунных конгломератов и грубозернистых арковых и полимиктовых песчаников. В гальке конгломератов присутствуют граниты, гранит-порфиры, гнейсы и роговики. Размер хорошо окатанных обломков достигает 20 см в полперечнике. Из долины р. Томтор конгломераты прослеживаются в истоки ки. Широкого, где они несогласно перекрывают гнейсы тастанской серии. Далее они перекрываются верхнемеловыми эфузивами. Мощность базальной пачки 50—80 м.

Выше по разрезу базальные слои сменяются среднезернистыми грубоэластыми полимиктовыми песчаниками светло- и темно-серого цвета, переслоенными через 10—20 м черными алевролитами. Мощность песчаников 150—200 м. Верхняя часть свиты, мощностью 250—300 м, представлена внизу мелкозернистыми темно-серыми песчаниками, с прослойями среднезернистых песчаников и алевролитов, с *Molotis ochotica* Key., *Reteten* cf. *similis* Кирг.¹, а вверху — плитчатыми алевролитами, так же содержащими *Molotis ochotica* Key., с пластами мелкозернистых песчаников и глинистых сланцев мощностью до 3 м.

Суммарная мощность мерекской свиты 450—600 м.

Маганская свита (*Tz mg*) выделена впервые. Название она получила по р. Маган, где обнажен наиболее полный разрез свиты. Из бассейна р. Маган свита протягивается к югу, в истоки р. Амбардах, и к северу в бассейне р. Томтор, где согласно перекрывает мерекскую свиту. Представлена Маганская свита диабазовыми порфиритами, туфами, кремнистыми, кремнисто-глинистыми и глинистыми сланцами с прослойями алевролитов и песчаников. Пестрый литологический состав, невыдержанность пород по простирианию, являются характерными особенностями свиты. Граница между мерекской и маганской свитами принимается по появлению среди алевролитов и глинистых сланцев в верхней части мерекской свиты пластов диабазовых порфиритов, кремнистых и кремнисто-глинистых сланцев. При картировании граница между свитами улавливается довольно четко, ибо вулканогенно-кремнистые породы отличаются от терригенных по своей окраске.

Разрез Маганской свиты в долине р. Маган, в 1200 м выше устья, начинается пачкой диабазовых порфиритов, иногда миндалекаменных, с прослойями туфов и туфоконгломератов. Диабазовые порфириты имеют светло- и темно-зеленый цвет. Структура их порфировая с микропорфировой структурой основной массы. Во вкрапленниках присутствует моноклинный пироксен

и основной пластика. По ним развивается хлорит, эпилот и соскорит. Туфы и туфоконгломераты обладают серой и зелено-вато-серой окраской. Мощность их колеблется от 1—2 до 10—15 м. Кластический материал представлен окатанными и угловатыми обломками кварцитов, слюдяно-кварцевых сланцев, кварца и диабазовых порфиритов, спементированных эпидот-серцит-хлоритовым агрегатом. Мощность пачки диабазов около 500 м. Выше следуют туфы диабазовых порфиритов. Мощность их 100—150 м. Заканчивается разрез диабазовыми порфиритами, переслаивающимися с алевролитами, песчаниками, глинистыми и кремнисто-глинистыми сланцами (100 м). Суммарная мощность свиты здесь 700—750 м.

Аналогичное строение свита имеет к югу от Маганского разреза. Так, в береговых обнажениях р. Бурен ее слагают:

1. Туфы диабазовых порфиритов светло-зеленого цвета	40 м
2. Диабазовые попириты массивные и миндалекаменные	20 „
3. Туфы диабазовых порфиритов темно- и зеленовато-серого цвета	140 „
4. Диабазовые порфириты, переслаивающиеся с их туфами	20 „
5. Диабазовые порфириты с пластами песчаников и алевролитов мощностью до 3 м	80 „

Общая мощность 300 м.

К северу от маганского разреза в составе свиты значение кремнистых, кремнисто-глинистых сланцев и территигенных пород. В верховьях р. Тастах разрез свиты следующий:

1. Диабазовые порфириты темно-зеленого цвета с редкими прослойками туфов мощностью 0,5—5 м	170 м
2. Туфы диабазовых порфиритов с редкими пластами диабазовых порфиритов	320 „
3. Туфы диабазовых порфиритов, переслаивающиеся с диабазовыми порфиритами, с двумя пластами мелкозернистых песчаников темно-серого цвета, мощностью в 1 м	60 „
4. Диабазовые порфириты с редкими прослойками туфов, кремнисто-глинистых сланцев желтовато-серого и серого цвета, линзами сургучных кремнистых сланцев	200 „

Суммарная мощность свиты 750 м.

Еще севернее, в береговых обнажениях р. Мальмальты, разрез свиты следующий:

1. Глинистые сланцы черного цвета с прослойями мелкозернистых темно-серых песчаников мощностью 3—5 м	100 м
2. Диабазовые порфириты зеленого цвета, рассланцованные	40 „
3. Кремнистые сланцы серого и зеленовато-серого цвета	40 „
4. Диабазовые порфириты и их туфы, массивные	200 „
5. Кремнистые сланцы серого цвета	60 „
6. Песчаники полимиктовые мелкозернистые с прослойками кремнистых сланцев и диабазовых порфиритов	300 „

¹ Здесь и далее фауна верхнетриасового возраста определена Е. П. Брургницкой.

нистыми, кремнисто-глинистыми, кремнистыми сланцами и лиамбазовыми порфиритами. Последние находятся в подчиненном количестве. Суммарная мощность 700—750 м.

протолисткими алевролитами, залегающими в верхней части двух компонентного ритма.

二

В отложениях Маганской свиты на правобережье р. Бурей, выше устья Правого Уссомаха, найдены отпечатки монтисов

плохой сохранности. Положение ее в разрезе, между двумя фацистически характеризованными свитами, указывает на

Верхнетриасовый возраст.

у с о м а х с я с в и т а (из) прослеживается от южной границы описываемой площиади через бассейны рек Правый и

Левый Уссомах, в бассейне р. Томтор. В строении ее принимают участие ритмично переслаивающиеся конгломераты, песчаники,

и алевролиты, а также глинистые сланцы. Характерно для

Свиты наличие пещаников черного и белого-серого цвета.

гласно (это установлено в коренном залегании в береговых обнажениях рек Магана, Буреи и Бугра). Контакт между нижним

Олимпийских игр в Афинах, Сурен и Екатерина не четкий, представлен постепенно исчезающими пластами ли-

базовых порфирий, кремнистых и кремнисто-глинистых сланцев. Обычно мощность пачки, в которой вулканогенно-кремни-

ственные породы часто переслаиваются с терригенными, не превышают $50-100$ м по литологическому составу усоминских.

свitu можно разделить на две части: нижнюю (существенно-

Наиболее полные разрезы свиты обнажены по р. Буре, сланцевую и верхнюю (флишоидную).

ниже и выше устьев Левого и Правого Уссомаха. Нижнюю часть
свиты здесь сплагают:

1. Глинистые сланцы темно-серого и черного цвета, с редко-
реже гипсовыми включениями.

ками прослоями мелкозернистых песчаников мощностью 2—5 см

с прослойми среднезернистых песчаников 200—250

Общая мощность 900—950 М. Всего имеется 1200 квт. отопления и 1500 квт. промышленного тепла.

Разрез верхней части свиты по долине р. Буре представляет
ритмично переслаивающимися конгломератами, песчаниками и

алевролитами:

1. Конгломераты, состоящие из слабоокатанной и угловатой гальки (1—10 см) глинистых сланцев, алевролитов, диабаза.

ных порфиритов, слюдяно-кварцевых сланцев и кварцитов, спементированных среднезернистым кварц-голевиштоватым песчаником.

ником или гравелитом начиная ритм. Мощность конгломерата до 40 м. Възьма залегают серые среднезернистые песчаники

модностью 50 м. Ритм венчается акцентами или метаковер-
нистыми песчаниками темно-серого цвета модальностью до 1 л.
Местными песчаниками 50 "Ритм по песчаной мощности" выра-

модальность ритма равна 30 мс. Длительность пауз по разрезу модальности ритма сокращается и составляет 20—25 мс. Трехкомпонентное строение пульса усиливается. Мощность контпомещения сокращается по

15 м, песчаник до 8 м, алевролиты до 0,2—0,3 м.
2. Песчаники полимиктовые, мелко- и среднезернистые, светло-серые; через 0,4—3,5 м переслоистые 0,2—0,3 метровыми

ЮРСКАЯ СИСТЕМА

Морская юра Буренского прогиба впервые была расчленена на территории листа М-53-11 на четыре свиты: умальтинскую, состоящую из двух подсвит, эпиканскую, эльгинскую и чагарийскую (Шатский, Давыдова, 1937). При геологическом изучении работах на площади всего прогиба выяснилось, что резкой границы между верхней подсвятой умальтинской свиты и эпикан-

ской свитой нет. В то же время между выделявшимися ранее нижней и верхней подсвитами умальтинской свиты повсеместно отмечается четкая граница. Поэтому в настоящее время принята умальтинской свитой сохранить объем нижней а верхнюю подсвиту причислить к эпиканской свите, разделяя на две подсвиты. Эльгинская и чаганьская свиты выделяются в прежнем объеме. Разрез юрских отложений изучался В. З. Скородом (1932), Н. С. Шатским и Т. Н. Давыдовой (1936, 1937), Г. Я. Крымгольц (1939), И. И. Сей (1959), Е. П. Брудницкой (1959), К. А. Суходольским (1961) и автором настоящей записки (Сигов, 1961). Фауна определялась Г. Я. Крымгольцем, Н. С. Воронец, Г. Т. Пчелинцевой, Л. В. Сибиряковой и Е. П. Брудницкой.

Нижний отдел

Умальтиńska свита ($I_{1+2} \text{ и } 3$) развита вдоль восточной окраины Буренского прогиба и в тектоническом блоке выведена на дневную поверхность в бассейне левых притоков р. Нимакан. Свита сложена аркозовыми и полимиктовыми песчаниками с линзами конгломератов. В окрестностях Умальтинского месторождения в ее составе имеются туфогенные песчаники. Литологический состав пород умальтинской свиты выдержан по простиранию. В направлении с юга на север наблюдается увеличение аркозовых песчаников и породы становятся более грубозернистыми. Разрезы свиты изучены в береговых обнажениях рр. Бурен, Умальты и Ургала. В основании свиты выделяются базальные слои, залегающие на размытой поверхности тастанских гнейсов, среднедевонских (?) отложений, позднепалеозойских гранитоидов и пермских (?) эффиузивов.

В бассейне р. Ургал на размытой поверхности гранитов залегают тонкозернистые плитчатые песчаники темно-серого цвета. Вверх по разрезу они постепенно переходят в тонкоплитчатые алевролиты с выклинивающимися прослоями тонкозернистых песчаников, с конкрециями марказита. В обнажениях по р. Бурен на гранитах лежит пачка аркозовых грубозернистых песчаников, состоящих из неокатанных обломков и дресвы гравитов. Цемент в песчаниках содержит в незначительном количестве.

В удалении от подошвы свиты среди песчаников появляются прослои алевролитов с растительным детритусом и грубообристием *Rhynchonella*. Еще выше по разрезу мощность и количества прослоев алевролитов и мелкозернистых песчаников уменьшаются и базальные слои постепенно переходят в монотонную толщу тонкозернистых песчаников.

В бассейне р. Умальты в нижней части свиты развиты грубозернистые аркозовые песчаники светло-серого цвета, содержа-

щие линзы конгломератов и отдельные гальки гранитов, кварцевых порфиров и слюдистых сланцев. Часто в прослоях песчаников отмечается туфогенный материал. Мощность базальных слоев 80—100 м.

Стратиграфически выше во всех разрезах лежит пачка мелко- и тонкозернистых полимиктовых песчаников, часто со скользупватой отдельностью, с конкрециями марказита до 3 см в поперечнике и растительными остатками. За счет присутствия прослоев алевролитов песчаники слоистые. Некоторые прослои алевролитов особенно богаты крупными растительными остатками. В них наиболее часто встречаются отпечатки аммонитов и в верхней части свиты появляются белемниты. Мощность пачки 400—450 м. Общая мощность свиты 500—600 м.

margaritatus Montf., *Oxytropites* собраны *Anatalheus oppeli* Rollig, *Ox. dumortieri* Rollig; в верхней — *Pseudiloceras* cf. *whitbiense* Beck., *P. lythense* I. et. B., *Mesotethius sf. triscissa* Zopelnsh., характерные для домерского и нижней части тоарского ярусов.

Нижний и средний отделы объединенные

Эпиканская свита. Нижнеэпиканская подсвита ($I_{1+2} \text{ и } 3$) протягивается параллельно умальтинской свите через всю территорию листа. В бассейнах рр. Ургала, Эпикана и Умальты она согласно перекрывает умальтинскую свиту, а в верхнем течении р. Кевыты ложится на размытую поверхность позднепалеозойских гранитоидов. В строении подаркозовые и полимиктовые, с линзами конгломератов. Вблизи Умальтинского рудника в составе подсвиты имеются покровы кварцевых порфиров и прослои пелловых туфов (Херасков, Давыдова, 1939). В отдельных пачках благодаря частому чередованию аркозовых и полимиктовых песчаников породы приобретают полосчатое строение, что характерно для нижнеэпиканской подсвиты. Обычно на плоскостях напластования широко развиты своеобразные уллисто-глинистые образования, покрывающие причудливым узором нижнюю поверхность пластов. Так же как и в умальтинской свите, в северной части рассматриваемого района в нижнеэпиканской подсвите преобладают грубозернистые породы аркозового состава.

Граница подсвиты с умальтинской свитой проводится по подошве пласта грубозернистых аркозовых песчаников, часто переходящих в конгломераты. Основные разрезы изучены в борговых обнажениях рр. Умальты и Бурен. В буренском разрезе подсвиту слагают:

1. Песчаники мелко- и грубозернистые, аркозовые, розовато-серые, с мелкой галькой гранитов, гнейсов и темно-серых песчаников

2. Пачка песчаников кварц-полевошпатовых, мелкозернистых, переслаивающихся с полимиктовыми тонкозернистыми песчаниками, содержащими *Inosceratites ambiguum* Eichw., *In. eximus* Eichw., *In. dubius* Sov., *In. porrectus* Eichw., *In. lucifer* Eichw., *In. undulatus* Leit., *In. scorochodi* Vor., *In. ex gr. ussuriensis* Vor. и др.

Строение пачки четко видно в левом борту долины, в 12 км выше устья р. Эпикан. Здесь залегают (снизу вверх):

- | | |
|-------------------------------------------------------------------------------------------------------------------|-------|
| 1. Песчаники темно-серые, тонкозернистые, с многочисленными спечатками иноперамов | 6—8 м |
| 2. Аркозовые песчаники мелкозернистые, светло-серые, чередующиеся с темно-серыми глинистыми прослойками | 12 " |
| 3. Глинистые аркозовые, светло-серые, мелкозернистые | 10 " |
| 4. Глинистые, неяснослоистые, темно-серые, мелкозернистые | 14 " |
| 5. Глинистые аркозовые, серые, мелкозернистые с волноприбойными знаками | 4 " |

Мощность пачки 150 м.

Песчаники полимиктовые мелко- и тонкозернистые с остатками обуглившейся растительности. В средней части пачки песчаники становятся тонкозернистыми, приближаются к алевролитам, в верхах они более массивные с прослойями 1—2-метровой мощности мелко- и грубозернистых кварц-полевошпатовых песчаников 350—400 м. Эта пачка охарактеризована фаяной: *Leioceras cf. brasile* Bisch., *Pseudolioceras beyrichii* Schloen., *P. elegans* Quens., *Grammoceras cf. radians* Reincke, *Phylloceras* sp., *Dactyloeteuthis incurvatus* Lieb., *In. eximus* Eichw.

Мощность нижнеэпиканской подсвиты в Буреинском разрезе 500—600 м.

В бассейне р. Умальты в основании подсвиты залегают грубозернистые аркозовые песчаники с прослойями гравелитов и мелкогалечниковых конгломератов, содержащих *Mesoteuthis liss*, *Halcobelus stalii*, *Oxytoma* sp. *indet.*, *Voriamussium* sp. Мощность 20—30 м. Выше лежат тонко- и мелкозернистые песчаники с обуглившимися растительными остатками с *Inosceratites aequicostatus* Vog., *In. cf. ussurensis* Vor.

Мощность их около 500 м.

Мощность нижнеэпиканской подсвиты 500—600 м. Возраст ее, на основании сборов остатков фауны, определяется как верхний тоар — аален. Однако находки в Тырминской котловине в самых верхах подсвиты *Cranocephalites cf. rotundus* Madel p. позволяют поднять ее верхнюю возрастную границу до батского яруса.

30 м

Средний и верхний отдеи объединенные

Эпиканская свита. В *Верхнеэпиканская* подсвите ($I_{2+3} \epsilon \rho_2$) из бассейна р. Ургал прослеживается в меридиональном направлении к северу до Умальтинского месторождения, где благодаря воздыманию шарнира синклинальной складки плодадь выходов пород ее резко расширяется, охватывая бассейны истоков р. Нимакана и левых притоков р. Верхняя Буренда. На востоке Буреинского прогиба подсвита залегает на нижнеэпиканской подсвите, а в бассейне р. Верхняя Буренда перекрывает собой монотонную толщу полимиктовых мелкозернистых песчаников темно-серого цвета и алевролитов, обладающих резко выраженной караваобразной скорлупчатой отделенностью и содержащих обильные конкреции марказита. Заднюю границу подсвиты принимается подошва пачки мелкозернистых аркозовых песчаников. Мощность не более 20 м, прослеживающейся неповсеместно. Там, где эти песчаники отсутствуют, граница проводится по подошве мощной монотонной толщи тонкозернистых скорлупчатых песчаников.

Непрерывные разрезы, вскрывающие подсвиты на всю мощность, на территории листа М-53-II отсутствуют. Сводный разрез ее, составленный по разрозненным коренным выходам и делювиальным свалам в долинах рр. Буреи и Умальты, нижеследующий:

1. Песчаники аркозовые, мелкозернистые, зеленовато-серые	20 м
2. Песчаники полимиктовые, мелко- и тонкозернистые, темно-серого и черного цвета. Внизу пачки в них встречаются редкие прослойки мелкозернистых аркозовых песчаников. Мощность 1—2 м и гравелитов с отпечатками иноперамов плохой сохранности	100—150 "
3. Песчаники тонкозернистые, темно-серые (часто скорлупчатые) с включениями конкреций марказита и прослойками алевролитов мощностью до 10 м, с <i>Arctocephalites orientalis</i> Klingh., <i>Stictocephalites era</i> Klingh., <i>Modiola dolodekensis</i> Vor., <i>Buretomia orientalis</i> Vor., <i>B. tsaregradskii</i> Vor., <i>Pecten</i> sp., <i>Rugaster</i> Agass.	100—150 "

Мощность подсвиты 800—900 м.

Необходимо отметить, что слои с *Arctocephalites* и *Cranocephalites*, обнажающиеся в правом борту долины р. Умальты, в 14 км выше устья, Г. Я. Крымгольцом (1939) были отнесены к вышележащей эльгинской свите. В настоящее время доказано, что на описываемой территории и в сопредельных районах эти слои принадлежат к верхнеэпиканской подсвите; таким образом, возраст последней можно рассматривать как средне-верхнегорский.

Верхний отдел

Эльгинская свита. Нижнеэльгинская подсвита (I_{3e1}) из всех стратиграфических подразделений зуется наибольшим площадным распространением. Она обнаружается в бассейне р. Нимакан. Сложена подсвита кварц-полевошпатовыми и полимиктовыми песчаниками. Нижняя часть подсвиты представлена пачкой преимущественно зеленовато-серых кварц-полевошпатовых песчаников. Эта пачка настолько хорошо выдержана по простиранию, что оказалось возможным выделить ее кровлю на геологической карте в виде маркирующего горизонта. В верхней части подсвиты основное значение имеют полимиктовые мелкозернистые песчаники темно-серого цвета, скрепленные с марказитовыми конкрециями. На верхней эпипланской подсвите эльгинская свита залегает согласно, имея в верховьях р. Верхняя Буренджа она ложится на размытую поверхность позднепалеозойских гранитов. Границей между эльгинской и эпиканской свитами служит подошва пачки кварц-полевошпатовых песчаников зеленовато-серого цвета. Местами в основании эльгинской свиты присутствуют конгломераты. Разрез нижнеэльгинской подсвите по правому борту долины р. Бурен слагают:

1. Конгломераты мелкогалечниковые

2. Песчаники арковые, мелкозернистые, светло- и розовато-серые, содержащие гальки темно-серых глинистых песчаников и кристаллических пород

3. Песчаники арковые и кварц-полевошпатовые, зеленовато-серые, мелко- и среднезернистые, с *Meleagrinella semiradiata* Fisch. ex M. cf. *simkini* Vor., *Campionectes lens* Sow., *Modiola cf. ziegelkowskii* Lah., *Pholidomitra* sp. indet.

4. Песчаники глинистые, тонкозернистые, темно-серые, с узкими линзами зеленовато-серых мелкозернистых песчаников

5. Песчаники слюдистые, мелкозернистые, светло- и зеленовато-серые, с многочисленными обломками обулившимися растений и конкрециями марказита

6. Песчаники кварц-полевошпатовые, среднезернистые, зеленовато-серые, тонкопресостоенные полимиктовыми мелкозернистыми песчаниками темно-серого цвета

7. Песчаники полимиктовые, мелко- и тонкозернистые, серые и темно-серые, с конкрециями марказита и редкими маломощными прослоями кварц-полевошпатовых песчаников, с *Bivalvula* aff. *dissidiformis* Vor., *Matitomita* sp. indet.

Мощность нижнеэльгинской подсвиты 1350—1400 м.

В породах подсвиты в различных частях района собрана богатая коллекция фауны, среди которой определены: *Perisphinctes* sp., *Macrocephalites* sp., *Modiola tschekanowskii* Lah., *M. aff. boloniensis* Lozio L., *M. urmiensis* Pčel., *M. aff. bolodkensis* Vor., *M. buriensis* Vor., *M. solenoides* Mog. et. Lyu, *Meleagrinella* cf. *subcylindricus* Buv., *Pleuromya* cf. *rugosa* Goldf., морскими ежами и морскими звездами .

1. Песчаники мелкозернистые, кварц-полевошпатовые, светло-серые, с прослоями полимиктовых песчаников, с *Modiola solenoides* Moq. et Lyu, *M. tschekanowskii* Lah., *Lynchodiscus subcylindricus* Buv., *Pleuromya* cf. *rugosa* Goldf., морскими ежами и морскими звездами .

2. Песчаники тонкозернистые, полимиктовые, с прослоями алевролитов с *Modiola* ex gr. *tschekanowskii* Lah., *Pleuromya* sp., *Astarte* sp., *Macromya* sp. indet., *Campionectes* sp. indet., *Bivalvula* sp. indet., *Nucula* sp. indet.

3. Песчаники мелкозернистые, полимиктовые, темно-серые, с прослоями мелкозернистых кварц-полевошпатовых песчаников с *Entolium* cf. *Vittae* Roem.

Быше, судя по отдельным коренным выходам и делювиальным свалам вдоль правого борта долины р. Бурен, подсвита сложена только тонко- и мелкозернистыми полимиктовыми песчаниками темно-серого цвета.

Возраст Эльгинской свиты всеми исследователями принимается как верхнеюрский.

Чаганы́ская свита (I_{3e2}) венчает разрез морских отложений Буренского прогиба. Она залегает согласно на породах верхнеэльгинской подсвиты и узкой полосой окаймляет выходы пресноводно-континентальных отложений в Междуречье Ургал — Бурен. К западу она выклинивается. Литологически чаганы́ская свита представлена монотонными полимиктовыми тонкозернистыми песчаниками темно-серого цвета и алевролитами. Для пород характерна щебенчатая отдельность и множества конкреций марказита. В основании свиты залегает пласт кварц-полевошпатовых песчаников, подошва которого служит границей с нижележащей эльгинской свитой.

Наиболее полно разрез свиты представлен по левому борту долины Кл. Шахтинского. Его слагают:

1. Песчаники мелкозернистые, кварц-полевошпатовые, зелено- и светло-серые

2. Алевролиты темно-серые со щебенчатой отдельностью, конкреции марказита и прослоями тонкозернистых полимиктовых пес-

низов, а также с редкими маломощными прослойками мелкозернистых кварцево-полевошпатовых песчаников зеленовато-серого цвета

102 „

кварц-полевошпатовых песчаников зеленовато-серые, с конкрециями

240 „

песчаники тонкозернистые, темно-серые, с конкремциями

3 „

каэзита и обуглившимися растительными остатками

4 „

алевролиты темно-серые с прослойками полимиктовых песчани-

ков тонко- и мелкозернистых

110 „

Мощность свиты 470 м. Кроме того, разрез средней и верхней частей свиты обнажен по правому борту долины р. Буреи, ниже устья р. Умальты. Здесь свита сложена тонкоплитчатыми темно-серыми алевролитами, с редкими мало мощными (8—10 см) прослойками темно-серых полимиктовых тонкозернистых песчаников, с *Pleurogyra tellina* Ag., *Meteagrinella echinata* Sow.

Верхнеюрский возраст чаганской свиты доказывается ее положением в разрезе между эльгинской и талынжанской свитами, возраст которых верхнеюрский. Присутствие в верхней части свиты (Крымгольц, 1939) остатков *Ulpionidae*, которые по характеру тонкой роговой раковинки имеют пресноводный облик, позволяет предполагать, что в верхней части свиты морские отложения переслаиваются с пресноводными.

Тальянская свита ($I_{3}tl$) залегает в основании угленосных отложений Буреинского бассейна. Она развита в бассейнах рр. Малого и Большого Ерика, откуда протягивается на правобережье р. Буреи. Кроме того, на небольшой площади она обнажается на левобережье р. Нимакан, близи западной границы района, где ложится непосредственно на нижнеэльгинскую подсвиту. В этом случае нижняя граница тальянской свиты проводится по подошве пачки грубозернистых песчаников, перекладывающих континентальную. Выпадение из разреза на данном участке верхнеэльгинской подсвиты и чаганской свиты связано, по-видимому, с тем, что в бассейне р. Нимакан с позднеэльгинское время происходили поднятия. В бассейнах рр. Малого и Большого Ерика и на правобережье р. Буреи тальянская свита залегает на чаганской согласно, что отчетливо видно в береговых обнажениях р. Буреи, ниже устья р. Умальты. На этом участке (через пачку пород переходного характера) устанавливается постепенная смена морских осадков чаганской свиты: солоновато-водные переходят в пресноводные. Переходная пачка сложена серыми алевролитами и полимиктовыми песчаниками, содержащими комплекс фауны *Sugena* sp., *Tancredia* sp., *Paralejodon* sp. и др., указывающий, по мнению Н. С. Боронец, на ненормальную соленость бассейна. Вверх по разрезу эти породы сменяются аркозовыми песчаниками с быстро выклинивающимися (миллиметровой мощности) прослойками углей. Свита сложена горизонтально- и волнистослоистыми светло-зеленовато-серыми алевролитами с прослойками тонкостоистых аргиллитов, полимиктовыми и аркозовыми песчаниками, туфогенными песчаниками, туффитами и пластами каменного угля.

часто рабочей мощности. Угольные пласты имеют сложное строение и представляют собой частое чередование каменных углей, углистых аргиллитов, туффитов и песчаников. Мощность различных составляющих колеблется от 0,05 до 0,8 м. Существоуют все переходы от пачек с резким преобладанием углей до пачек, где они имеют подчиненное значение. В свою очередь пласти угли содержат прослойки и линзы аргиллитов, туффитов и песчаников. Всего в тальянской свите насчитываются около 289 пластов и пропластков углей, мощность которых достигает 5,57 м. В качестве примера ниже приводится описание строения части пласта «Сложного» (снизу вверх):

1. Песчаники аркозовые, мелкозернистые, светло-серые, содержащие многочисленные остатки стволов и стеблей, с пропластками аргиллитов в верхней части слоя	2,7 „
2. Чередование черных блестящих углей и матовых глинистых разностей с редкими прослойками (1—2 см) коричневато-серых тональных песчаников	3 „
3. Аргиллиты зеленовато-серые с прослойками черных блестящих и матовых углей. Прослой аргиллитов и углей от 0,1 до 0,2 м, первые преобладают	1 „
4. Уголь черный блестящий хрупкий, с невыдержаными прослойками матового глинистого угля	2,5 „
5. Уголь черный, блестящий, с выклинивающимися прослойками матового угля. В подчиненном количестве содержатся прослой аргиллитов и туффитов	0,5 „
6. Уголь черный, блестящий, с незначительными выклинивающимися прослойками матового угля	1,2 „
7. Изменчивое чередование блестящих и матовых углей с углистыми аргиллитами, имеющими подчиненное значение	0,5 „
8. Прослой углей и аргиллитов выклиниваются и расщепляются по простиранию. Мощность прослоев блестящих и матовых углей доходит до 0,2 м	0,5 „

Такое же чередование наблюдается до кровли пласта. Аналогичное строение характерно и для других пластов.

Наиболее продуктивный разрез тальянской свиты имеет в приподлинной части Буреи, где расположено Усть-Умальтинское месторождение. К югу угленосность свиты снижается. Разрез свиты наблюдается по правому борту долины р. Буреи, ниже устья р. Умальты. В строении ее здесь участвуют:

1. Песчаники мелкозернистые, аркозовые, светло-серые с линзами гравелитов	70 „
2. Песчаники массивные, мелкозернистые, аркозовые, переслаивающиеся с аргиллитами и алевролитами	10 „
3. Песчаники аркозовые, грубозернистые	25 „
4. Песчаники аркозовые и полимиктовые, грубозернистые, серые и светло-серые, тонкоплитчатые	15 „
5. Песчаники грубозернистые, аркозовые, с прослойками углистых аргиллитов, туффитов и туффитов, с <i>Coniotropis bifurcensis</i> (Zal.) Sew.	50 „

1. Пачка переслаивающихся алевролитов и мелкозернистых песчаников с двумя пластами каменного угля и углистыми аргиллитами мощностью 0,5 м; мощность прослоев алевролитов колеблется от 0,5 до 3 м, песчаников 1—3 м.

40 м

11 "

3 "

16,5 "

40 "

13 "

30 м

около 100 "

около 300 "

31 м

4 "

3 "

0,5 "

5,5 "

0,5 "

0,5 "

16 "

0,7 "

1,5 "

4 "

0,5 "

14 "

4,30 "

24 "

1. Пачка переслаивающихся алевролитов и мелкозернистых песчаников с двумя пластами каменного угля и углистыми аргиллитами мощностью 0,5 м; мощность прослоев алевролитов колеблется от 0,5 до 3 м, песчаников 1—3 м.

12. Алевролиты темно-серые

13. Песчаники аркозовые, крупнозернистые

14. Песчаники мелкозернистые, переслоенные алевролитами

15. Песчаники мелкозернистые, переслоевые тех и других равни 0,3—0,75 м

16. Песчаники аркозовые, средне- и крупнозернистые

13 "

13 "

31 "

31 "

31 "

31 "

31 "

31 "

31 "

31 "

31 "

31 "

31 "

31 "

31 "

31 "

31 "

31 "

31 "

31 "

31 "

31 "

31 "

31 "

31 "

31 "

31 "

31 "

31 "

31 "

31 "

31 "

31 "

31 "

31 "

31 "

31 "

31 "

31 "

31 "

31 "

31 "

31 "

31 "

31 "

31 "

31 "

31 "

31 "

31 "

31 "

31 "

31 "

31 "

31 "

31 "

31 "

31 "

31 "

31 "

31 "

31 "

31 "

31 "

31 "

31 "

31 "

31 "

31 "

31 "

31 "

31 "

31 "

31 "

31 "

31 "

31 "

31 "

31 "

31 "

31 "

31 "

31 "

31 "

31 "

31 "

31 "

31 "

31 "

31 "

31 "

31 "

31 "

31 "

31 "

31 "

31 "

31 "

31 "

31 "

31 "

31 "

31 "

31 "

31 "

31 "

31 "

31 "

31 "

31 "

31 "

31 "

31 "

31 "

31 "

31 "

31 "

31 "

31 "

31 "

31 "

31 "

31 "

31 "

31 "

31 "

31 "

31 "

31 "

31 "

31 "

31 "

31 "

31 "

31 "

31 "

31 "

31 "

31 "

31 "

31 "

31 "

31 "

31 "

31 "

31 "

31 "

31 "

31 "

31 "

31 "

31 "

31 "

31 "

31 "

31 "

31 "

31 "

31 "

31 "

31 "

31 "

31 "

31 "

31 "

31 "

31 "

31 "

31 "

31 "

31 "

31 "

31 "

31 "

31 "

31 "

31 "

31 "

31 "

31 "

31 "

31 "

31 "

31 "

31 "

31 "

31 "

31 "

31 "

31 "

31 "

31 "

31 "

31 "

31 "

31 "

31 "

31 "

31 "

31 "

31 "

31 "

31 "

31 "

31 "

31 "

31 "

31 "

31 "

31 "

31 "

31 "

31 "

31 "

31 "

31 "

31 "

31 "

31 "

31 "

31 "

31 "

31 "

31 "

31 "

31 "

31 "

31 "

31 "

31 "

31 "

31 "

31 "

31 "

31 "

31 "

31 "

31 "

31 "

31 "

31 "

31 "

31 "

31 "

31 "

31 "

31 "

31 "

31 "

31 "

Весьма характерным для пород свиты является полимиктовый состав и слабая угленасыщенность.

Главная роль в строении свиты принадлежит мелко- и среднезернистым зеленовато-серым полимиктовым песчаникам с карбонатной отдельностью. Среди них залегают маломощные (до 2 м) пачки аргиллитов, алевролитов, аркозовых песчаников с прослойками каменного угля и углистых аргиллитов. Мощность свиты 300—400 м.

Чемчукинская свита всеми исследователями Буреинского бассейна считается нижнемеловой. В. А. Вахрамеев (1960, 1961), отмечая общность флоры чагдомынской и чемчукинской свит, склонен относить последнюю так же к нижнему мелу (верхи неокома — низы апта). По В. Д. Принале, чемчукинская свита относится к зоне *Sophopteris gracilis* Негг.

Верхний отдел

Балжальский комплекс

Толща порфиритов, лавоконгломератов, туфо-и лавобрекчий ($\alpha\text{-Cr}_2\text{O}_3$) слагает основание пебольшого покрова в бассейне р. Бугор. Кроме того, аналогичные покровы отмечаются в истоках р. Тастах и между речь Амбардах — Саганар. Толща несогласно залегает на породах тастахской серии, позднепалеозойских гранитах и отложениях верхнего триаса. Нижняя часть ее мощностью в 50 м состоит из лавоконгломератов, лавобрекчий и туфов порфиритов. Обломочный материал лавоконгломератов имеет размер до 20 см в поттеречнике. Он хорошо окатан и представлен гранитами, разнообразными гнейсами, роговиками, песчаниками и другими терригенными породами. Туфы характеризуются витрокластической структурой. Пирокластический материал в них занимает 5—10% объема породы. Состав обломков тот же, что и в лавоконгломератах. В лавобрекциях угловатые и слaboокатанные обломки цементируются лавой порфиритового состава. Верхняя часть толщи сложена темно-серыми порфиритами. Мощность ее 130—200 м.

Порфиры — это массивные порфиритовые породы с микролитовой и интерсертальной структурами основной массы, состоящей из микролитов плагиоклаза, стекла, хлорита, сериита и эпилита. Вкрашенники образованы идиоморфными кристаллами плагиоклаза и роговой обманки. Мощность толщи 350—400 м.

Толща кварцевых порфиров ($\pi\text{-Cr}_2\text{O}_3$) отмечена только в бассейне р. Бугор, где она согласно залегает на туфо-эфузивных образованиях среднего состава. Состоит толща из серых и темно-серых кварцевых порфиров, среди которых в основании покрова встречаются редкие маломощные прослой лавобрекчий кварцевых порфиров. Кварцевые порфириты массивные, порфи-

ровые породы, с фельзитовой и микролитовой структурой основной массы кварц-полевошпатового состава. Вкрашенники (обычно корродированные) представлены калиевым полевым шпатом, плагиоклазом, кварцем, реже биотитом. Размер их до 0,1 см в поперечнике. Мощность толщи кварцевых порфиров 250—300 м.

Две вышеописанные толщи на основании химизма, макро- и микроскопического сходства пород и аналогии в последовательности излияния эффузивов различной основности сопоставляются с нижней частью Балжальского вулканогенного комплекса. Это подтверждается определением абсолютного возраста порфиритов из бассейна р. Амбардах. Абсолютный возраст порфиритов, определенный Т. К. Ковальчук аргоновым методом, составляет 82 млн. лет, что соответствует верхнему мелу.

Мастихитский и датский яруссы

Цагаянская свита ($\text{Cr}_2\text{O}_3\text{g}$) залегает на вершинах плоских водоразделов между долинами рр. Бурен и Большого Ерика. Породы цагаянской свиты с угловым несогласием перекрывают нижнемеловые угленосные отложения, а также породы тираваннами и песками. Наибольшая мощность галечников 80 м. Они состоят из хорошо окатанных обломков различных осадочных, метаморфических и изверженных пород, включая кислые и средние эфузивы верхнемелового возраста. Размер галек колеблется от 1—2 до 5—8 см по длиной оси. Слабентирована галька грубозернистым песком, часто ожелезненным. К юго-западу от рассматриваемого района отложения цагаянской свиты пользуются широким распространением и содержат, по данным М. Л. Савицкого (1936), флуору верхнемелового возраста: *Clystostrobus groenlandicus* Негг, *Cl. cf. Lesq.*, *C. cf. intermedium* Ньюберг, *Zizyphus (?) fothergiloides* Крушт. и др.

ЧЕТВЕРТИЧНАЯ СИСТЕМА

Нижний отдел ($Q_1, 2$) включает отложения террас высотой 80—100 м. Террасы этих урвенней сохранились только в долине р. Бурен, на отрезке между устьями рек Усмань — Гравий Уссомах. Нижнечетвертичные отложения имеют мощность 2—2,5 м и на 60—70% представлены галечниками, состоящими из хорошо окатанной гальки размером 5—10 см. Промежутки между галькой выполнены песком и супесью. Аллювий перекрыт современными делювиальными отложениями мощностью 0,8—1 м. Нижнечетвертичный возраст этих отложений

определяется условно на основании того, что отложения террас высотой до 60 м охарактеризованы комплексом пыльцы и спор среднего и верхнего отделов.

Средний и верхний отделы обединены (Q₂₊₃). К ним относятся отложения террас высотой от 8 до 60 м. Террасы таких уровней развиты в долинах рр. Бурел, Ургала, Умальты, Усмань, Мальмальты, Нимакана и Большого Ерика. Эти отложения имеют мощность 5—8 м и более. Ниже почвенно-растительного слоя залегает прослой торфа непостоянной мощности, но не превышающей 2—2,5 м. Когда торф отсутствует, верхние части отложений террас сложены мелкозернистыми плохо отсортированными песками мощностью 2—4 м. Ниже следуют галечники и валуны с примесью грубозернистых песков и гравия. По данным И. И. Сей (1958), в отложениях террас такой высоты в Буреинской и Тырминской депрессиях содер- жится комплекс спор и пыльцы, характерный для среднего и верхнего отделов четвертичной системы. К северу от рассматриваемого района в отложениях террас высотой до 20 м содержит пыльца широколиственных растений этого же возраста (Тоноян, 1959).

Современный отдел (Q₄) представлен косовым, русло-вым и пойменным аллювием. В долине р. Большой Ерик в пределах золотоносной площади мощность аллювия достигает 12 м. Разрез его (сверху вниз):

1. Растительный слой	0,5 лт
2. Торф бурый	2,0 "
3. Пески иловатые, зеленовато-серого цвета	4,0 "
4. Галечники, состоящие из слабокатанных обломков (до 15 см) порфиритов, арковых песчаников, аргиллитов и ульистых аргиллитов	5,0 "
5. Золотоносные пески, представленные угловатыми и слабокатанными обломками порфиритов, песчаников и аргиллитов, связанных песчано-глинистым материалом зеленого цвета	0,3 "

Далее идут коренные породы.

По ключу Озерному шурф глубиной 54 м не вскрыл аллювий на всю мощность (Онихимовский, 1951). Разрез аллювиальный отложений по этому шурфу следующий:

1. Растительный слой и торф	6 м
2. Галечники, состоящие из хорошо окатанных обломков размером до 10 см	11 "
3. Серая древесина с мелкой галькой	8 "
4. Погребенный растительный слой	5 "
5. Галечники	3 "
6. Серая древесина с мелкой галькой	21 "

Общая мощность 54 м.

Рассмотренные отложения содержат споры и пыльцу современного отдела.

ИНТРУЗИВНЫЕ ОБРАЗОВАНИЯ

Протерозойские интрузии (ГР_t) прорывают только породы тастанской серии и туловчинской свиты. Они представлены гранито-гнейсами и закартированы в бассейнах рр. Тастах, Верхний Деш и Саганар, где образуют согласные смещающимися породами тела пластиобразной формы, протяженностью от 2 до 8 км, при мощности в 300—700 м. Еще одна подобная интрузия гранито-гнейсов закартирована на правобережье р. Верхняя Буренджа. Контакты интрузий инъекционные. Вблизи них в породах тастанской серии и туловчинской свиты наблюдается широкое развитие инъекций гранитного состава, в результате чего гнейсы превращаются в мигматиты. Гранито-гнейсы — это светло-серые и серые среднезернистые породы гнейсовидной текстуры, с гранобластовой или переходной от гипидиоморфнозернистой к гранобластовой структурой. Они состоят из кварца (30%), плагиоклаза (40—45%) микроклина (20—25%) и биотита (до 10%). Аксессорные минералы представлены апатитом и сフェнитом, вторичные — серпентитом, эпидотом и хлоритом.

Тесная связь интрузий гранито-гнейсов с нижнепротерозойскими отложениями, при полном отсутствии их на территории, сложенной породами верхнего протерозоя, дает основание считать, что нижнепротерозойский этап геосинклинального развития закончился складчатыми движениями, сопровождавшимися внедрением интрузий гранитного состава. Какой-либо рудной минерализации в связи с протерозойскими интрузиями не наблюдалось.

По здешней интрузии на территории окраины Буреинского прогиба. Внедрение их происходило в четыре фазы. К ранней фазе относятся интрузии порфировидных биотитовых и роговообманково-биотитовых гранитов ($\gamma_1 Pz_3$), к второй — мелкозернистых биотитовых гранитов ($\gamma_2 Pz_3$), к третьей — лейкократовых гранитов (γPz_3). Биотитовые и роговообманково-биотитовые граниты слагают крупную интрузию, обнажающуюся по восточной окраине Буреинского прогиба, в бассейнах рр. Ургал, Нижний и Верхний Деш. Кроме того, эти же граниты выступают по западной окраине прогиба в бассейне р. Верхняя Буренджа и выведены на дневную поверхность в тектоническом блоке к западу от Умальтинского рудника. Выходы биотитовых и роговообманково-биотитовых гранитов из под мезозойских отложений в приустьевой части р. Отаик намечают антиклинальное поднятие, протягивающееся далеко к юго-западу. Смещающими породами являются отложения тастанской серии, туловчинской свиты и терригенные образования условно среднедевонского возраста.

Инtrузии гранитоидов ранней фазы сложены в основном порфировидными биотитовыми гранитами. Роговообманково-биотитовые граниты в виде краевой фации установлены только в эндоконтактовой части инtrузии на правобережье р. Ургал. Ширина краевой оторочки не превышает 1 км. У самого контакта с вмещающими породами роговообманково-биотитовые граниты нередко переходят в гранодиориты.

Порфировидные биотитовые граниты характеризуются серой и розовато-серой окраской, порфировидной структурой, обусловленной присутствием различно ориентированных крупных (до 2×1 см) кристаллов микроклина, хорошо выделяющихся на фоне среднезернистой основной массы. Неоднократно наблюдавшиеся случаи проникновения основной массы в трещинки порфировидных вкраплеников микроклина, исключают метасоматическое происхождение последних. Граниты состоят из микароклина (45—50%), плалиоклаза-олигоклаза № 24 (15—25%), кварца (до 30%), биотита и роговой обманки (5—10%). По химическому составу они близки к среднему типу гранитов по Дэли (табл. № 2).

В гранодиоритах количество биотита и роговой обманки составляет 15—20%; плалиоклаз, содержание которого достигает 40%, резко преобладает над калиевым полевым шпатом. Алюксорные минералы гранитоидов ранней фазы представлены апапитом, цирконом, сфеном и магнетитом; вторичные — хлоритом, серцидитом, мусковитом и эпилитом. В связи с этими инtrузиями отмечается тесная пространственная и, возможно, генетическая связь незначительных по своим масштабам проявлений свинца и цинка.

Абсолютный возраст аналогичных гранитоидов, определенный аргоновым методом на сопредельных территориях, равен 252—230 млн. лет (Брагинский, 1961; Дыренко, 1961).

Мелкозернистые биотитовые граниты и гранодиориты второй фазы образуют ряд мелких разобщенных массивов в междуречье Умальта — Мальмальта, в верховьях ключа Золотого и в среднем течении р. Верхний Деш. Они прорывают биотитовые граниты и отложения условно среднедевонского возраста. На размытой поверхности инtrузии, к востоку от Умальтинского рудника, залегает туфо-эффузивнаятолща условно пермского возраста, а в бассейне ключа Золотого граниты трансгрессивно перекрываются отложениями умальтинской свиты. Контакты мелкозернистых биотитовых гранитов и гранодиоритов с вмещающими породами круты. Для этих гранитоидов характерна равномернозернистая структура и более темная окраска по сравнению с гранитами ранней фазы. Размер кристаллов в них не превышает 0,4—0,6 мм. Массив в среднем течении р. Верхний Деш сложен преимущественно гранодиоритами, в других мас-сах последние присутствуют в незначительном количестве.

Структура гранитов гранитовых. Состоят они из калиевого полевого шата (25—40%), плалиоклаза-олигоклаза (20—25%), кварца (25—30%) и биотита (5—10%). В гранодиоритах количество кварца уменьшается до 15—20%, калиевого полевого шата до 20% за счет увеличения количества плалиоклаза-андезина до 40—45%, биотита — до 15% и роговой обманки до 5%. С этими инtrузиями намечается пространственная и генетическая связь незначительных по масштабам проявлений олова, свинца и цинка.

Возрастное положение инtrузий мелкозернистых биотитовых гранитов и гранодиоритов довольно определенное. Они проявляют гранитоиды ранней фазы и, в свою очередь, прорваны лейкократовыми гранитами, относящимися к третьей фазе позднепалеозойского инtrузивного цикла.

Лейкократовые граниты третьей фазы слагают крупную инtrузию в бассейне рр. Мальмальта, Томтора и Умальны и обнаруживаются из-под отложений мезозоя вдоль западной окраины Буренского прогиба, в бассейне Верхняя Буренда. Вмещающимися породами для инtrузий лейкократовых гранитов являются порфировидные биотитовые граниты, породы тастахской серии, тулоччинской свиты, а также отложения условно среднедевонского возраста. Контакты инtrузии на правобережье р. Мальмальта довольно пологие, что определяется широкой полосой контактовых роговиков. Там, где вмещающими породами являются гнейсы, контакты, вероятно, крутые и инtrузии сопровождаются неширокой зоной ороговикованных и окварцированных пород. Близки к кровли инtrузии граниты приобретают облик гранит-порфиров. Ширина выхода гранит-порфиров на дневную поверхность зависит от крутизны погружения контакта, но не превышает 2 км.

Лейкократовые граниты имеют серую, розовато-серую и розовую окраску. Они средне- и крупнозернистые, местами пегматидные. Характерной особенностью гранитов является присутствие темно-серого дымчатого кварца. Граниты состоят из микроклина (50—55%), плалиоклаза — олигоклаза № 23—25 (15—20%), кварца (25—30%) и биотита (2—5%). Алюксорные минералы представлены: апапитом, цирконом, сфеном и рутилом, вторичные — серцидитом и хлоритом. По своему химическому составу граниты находятся между нормальными гранитами и аляскигами, приближаясь к последним (табл. 1).

На территории листа М-53-II с лейкократовыми гранитами устанавливается пространственная и, вероятно, генетическая связь незначительных проявлений олова, больфрама, цинка и свинца. Несколько иначе обстоит дело с многочисленными проявлениями молибдена, в том числе и с Умальтинским месторождением. Большинство исследователей (Онихимовский, 1951, Баранов, 1956; Гладких, 1956), связывали проявление молибдена с заключительными этапами позднепалеозойскогомагма-

Таблица 1

Химический состав (в вес. %) и числовые характеристики позднепалеозойских интрузивных пород

Порода	Место взятия	№ образцов	SiO ₂	TiO ₂	Al ₂ O ₃	Fe ₂ O ₃	FeO	MnO	MgO	CaO	Na ₂ O	K ₂ O	SO ₃	P ₂ O ₅	H ₂ O
Крупнозерн. порфиров.	р. Амбардах	477	71,25	0,38	15,84	0,07	2,09	0,04	0,55	1,90	3,56	3,31	0,00	0,11	0,61
гранит															
Крупнозерн. биотито-	р. Бурея	2861	72,00	0,20	14,08	0,12	2,20	0,06	0,51	2,30	3,70	2,92	0,00	0,05	1,19
вый гранит															
Лейкократовый гранит	р. Бурея	1626, а*	76,52	0,12	12,33	0,32	1,10	0,03	0,02	0,47	3,11	4,39	0,12	0,03	0,15
Лейкократовый гранит	р. Бурея	1428	71,04	0,27	14,42	0,13	2,91	0,07	0,58	1,45	3,95	3,63	0,06	0,07	1,12
Биотитовый гранит	р. Тастах	57	70,54	0,37	15,43	0,36	2,53	0,05	0,86	2,36	3,27	3,38	0,00	0,09	0,17
Лейкократовый гранит	р. Томтор	2968	76,63	0,19	13,00	0,45	0,95	0,03	0,15	0,84	2,80	4,44	0,01	0,02	0,40
Лейкократовый гранит	ключ Переваль-	2928	76,17	0,12	13,95	0,00	0,58	0,03	0,95	0,41	3,48	4,24	0,00	0,02	0,51
Лейкократовый гранит	ключ Турмалин-	1616	77,14	0,07	13,64	0,12	0,90	0,02	0,09	0,52	2,50	4,65	0,04	0,01	—
вый															
Биотитовый гранит	р. Тастах	720, б*	75,01	0,16	12,33	0,46	1,57	0,03	0,20	0,78	3,55	4,42	0,01	0,04	0,60
Биотитовый гранит	р. Амбардах	5	76,57	0,00	13,35	0,00	1,02	0,03	0,08	0,42	4,08	4,12	0,03	0,13	0,00
Гранодиорит	р. Амбардах		66,52	0,57	15,40	0,75	2,94	0,06	0,92	2,26	3,53	4,04	—	0,13	0,34
Лейкократовый гранит	ключ Ст. Умаль-	2533, а*	74,52	0,13	14,61	0,16	1,32	0,04	0,29	1,83	3,48	3,65	0,01	0,03	0,67
та															
Биотитовый гранит	ключ Медвежий	2019	75,19	0,12	14,16	0,05	1,35	0,03	0,23	1,09	2,93	4,10	0,01	0,02	0,16
Лейкократовый гранит	ключ Амональн	2318	75,64	0,18	13,37	0,72	0,93	0,03	0,25	1,18	3,14	3,57	0,01	0,03	0,70
Биотитовый гранит	р. Бурея	604	72,05	0,20	14,68	0,40	2,36	0,04	0,44	2,17	3,12	3,67	0,06	—	0,18
Габбро амфиболизиро-	ключ Диорито-	3759, а*	48,70	0,54	20,93	0,92	4,87	0,11	6,70	12,48	2,05	0,91	0,00	0,09	1,60
ванное	вый														

Порода	Место взятия	№ образцов	Σ	H ₂ O	a	b	c	s	a'	f'	m'	c'	n	Использован-	ный материал
Крупнозерн. порфиров.	р. Амбардах	477	99,79	0,09	12,30	7,15	2,25	78,30	51,90	34,20	13,90	—	62,50	Сигов В. Ф.	
гранит														(1960)	
Крупнозерн. биотито-	р. Бурея	2861	99,73	0,12	12,30	3,80	2,80	81,10	21,00	58,00	21,00	—	66,40	То же	
вый гранит															
Лейкократовый гранит	р. Бурея	1626, а*	99,99	—	12,70	3,20	0,60	83,50	56,00	35,00	9,00	—	52,00	Смирнов Н. Ф.	
														(1951)	
Лейкократовый гранит	р. Бурея	1428	100,13	—	13,40	5,65	1,75	79,20	32,90	49,50	17,60	—	63,40	То же	
Биотитовый гранит	р. Тастах	57	100,19	—	11,80	6,90	2,80	78,50	38,40	40,40	21,20	—	59,30	Баранов А. Ф.	
														(1955)	
Лейкократовый гранит	р. Томтор	2968	100,43	—	11,75	5,75	0,90	81,60	47,20	48,30	4,50	—	48,90	То же	
Лейкократовый гранит	ключ Переваль-	2928	99,75	—	12,80	5,70	0,40	81,10	65,20	9,00	25,80	—	55,50	Смирнов Н. Ф.	
ный														(1954)	
Лейкократовый гранит	ключ Турмали-	1616	100,00	—	11,50	5,40	0,60	82,50	80,00	16,50	3,50	—	44,50	Смирнов Н. Ф.	
новый														(1954)	
Биотитовый гранит	р. Тастах	720, б*	99,96	—	13,70	2,60	0,90	82,80	15,40	71,70	12,80	—	55,00	Смирнов Н. Ф.	
														(1954)	
Биотитовый гранит	р. Амбардах	5	99,83	—	14,05	3,95	0,50	81,50	22,60	32,20	45,10	—	60,00	Смирнов Н. Ф.	
														(1951)	
Гранодиорит	р. Амбардах		99,95	—	12,80	12,60	3,20	71,40	—	67,70	11,60	20,65	58,00	Баранов А. Ф.	
Лейкократовый гранит	ключ Ст. Умаль-	2583, а*	100,25	0,10	12,30	5,00	1,50	81,20	66,60	24,00	9,40	—	58,50	То же	
та															
Биотитовый гранит	ключ Медвежий	2019	100,13	0,14	11,80	6,60	1,20	80,40	—	18,30	22,10	59,60	51,60	(1956)	
Лейкократовый гранит	ключ Амональ-	2318	99,95	0,14	11,60	4,60	1,30	82,50	60,30	30,90	8,80	—	57,30	То же	
ный														" "	
Биотитовый гранит	р. Бурея	604	100,43	—	12,30	4,50	2,60	80,60	58,20	25,40	16,40	—	64,10	Баранов А. Ф.	
														(1954)	
Габбро амфиболизиро-	ключ Диорито-	3759, а*	100,34	0,10	6,40	23,00	11,70	58,90	—	22,80	52,20	25,50	75,00	Баранов А. Ф.	
ванное	вый													(1956)	

тизма. В последнее время возраст молибденовых проявлений (Покалов, 1958; Кисел, 1958) считается послегорским. Последнее положение нельзя считать окончательно доказанным, ибо В. Т. Покалов и А. Г. Кисел, пришедшие к мнению о послегорском возрасте оруденения, были на месторождении в то время, когда основная часть его была выработана и выработки, давшие богатый материал по рассматриваемому вопросу, были затоплены.

Лейкократовые граниты прорывают мелкозернистые граниты второй фазы и перекрываются фаунистически охарактеризованными отложениями верхнего триаса. Абсолютный возраст атологичных лейкократовых гранитов на сопредельных территориях определяется в пределах 210—185 млн. лет (Дыренко, 1961, Брагинский, 1961).

Вмешающие породы в контактах с позднетретиарийскими гранитоидами претерпели значительные изменения. Гнейсы тастахской серии интенсивно окварцированы, в непосредственной близости к контактам в них отмечается новообразование вторичного биотита, сильиманита и андалузита. Мраморы лепиканской свиты скарнированы. В них происходит образование граната, пироксена и оливина, иногда отмечается полное превращение мраморов в пироксен-плагиоклазовую породу. Очень интенсивному kontaktовому метаморфизму подверглись терригенные отложения среднего девона (?), на площади развития которых можно заметить определенную зональность, метаморфизм. Экзоконтакты интрузий оторочены зонами типичных биотитовых роговиков с мозаичной структурой. Ширина таких зон, в зависимости от крутизны погружения kontaktовых поверхностей, непостоянна и колеблется в пределах 0,2—1 км. Зона биотитовых роговиков сменяется зоной «узловатых» сланцев. «Узлы» образованы гранатом, андалузитом и кордиеритом. За этой зоной изменения пород выражаются, главным образом, в образовании серпилита и мусковита.

Габбро амфиболизированные зафиксированы в виде небольшой интрузии на левобережье р. Умальты. Площадь выхода интрузии около 1 км². Габбро представляет собой мелкозернистую темно-серую породу с габбровой структурой и состоит из плагиоклаза — лабрадора (60%) и моноклинного пироксена (40%), по которому интенсивно развивается уралит. От среднего типа габбро по Дэли они отличаются повышенным содержанием кальция и железа, количество щелочей несколько понижено. Интрузия габбро прорывает лейкократовые граниты. С позднетретиарийскими гранитоидами связана дайка пегматитов и кварцевых порфиров. Залегают они как в теле самих интрузий, так и во вмешающих интрузию более древних породах.

Пегматиты (ρ_{Pz}) распространены на лево- и правобережье р. Бурей. Простирание жил пегматитов СВ 20—30°, падение

вертикальное. Мощность их достигает 4—5 м. Пегматиты обычно грубо- и гигантокристаллические породы с блоковой структурой, цвет их розовый, розово-серый и белый. Состоят они из полевого шпата, кварца, биотита и мусковита.

Кварцевые порфириты (λ_{Pz}) образуют лайки северо-западного и северо-восточного простирания. Залегают они среди гнейсов тастахской серии. Мощность даек колеблется от 2 до 15 м. Это светло-серые порфировые породы с мелкозернистой и фельзитовой структурами основной массы, среди которой выделяются вкрашенники кварца, калиевого полевого шпата, плагиоклаза и биотита.

Раннемеловые интрузии представлены диоритами пластикообразных тел. Эти интрузии развиты в бассейнах рек Большого и Малого Ерик, Ургал. Вмешающими породами для них являются юрские и нижненемеловые отложения. На Олонежинском каменноугольном месторождении диоритовые порфириты образуют согласные пластикообразные залежи. На Олонежи и более (Толстов, 1951). Наряду с согласными пластикообразными залежами, имеются и штокобразные секущие тела диоритовых порфиритов, развитые в бассейне р. Иерохан. На вмешающие породы диоритовые порфириты оказывают слабое контактовое воздействие. Для согласных тел изменения выражаются в уплотнении вмешающих пород, в перекристаллизации цемента и в образовании единичных листочек вторичного биотита. Ширина зоны измененных пород достигает 800 м. Секущие тела окружены ороговикованными породами, шириной 200—400 м. С раннемеловым интрузивным комплексом связываются проявления золота и ртути.

Диоритовые порфириты — это мелкозернистые полнокристаллические порфиритовые породы с призматической кристаллической структурой основной массы. Вкрашенники образованы плагиоклазом — андезином и роговой обманкой. Основная масса представлена диоритоном, сферонитом и магнетитом, вторичные — карбонатом, хлоритом и эпидотом.

Самыми молодыми отложениями, прорывающими рассматриваемые интрузии, являются породы ургальской свиты. В вышележащей чагдымынской свите на территории листа и в сопредельных районах диоритовые порфириты не известны. К раннемеловому возрасту они отнесены на том основании, что пластовые тела диоритовых порфиритов совместно с вмешающими породами дислокированы в элюю проявления раннемеловой складчатости.

Позднемеловые интрузии имеют сложный петрографический состав. В одних случаях интрузивные тела сложены исключительно диоритами (δ_{Cg}), диоритовыми порфи-

ритами (δ - Cr_2) и гранитами (γ - Cr_2), в других в строении мас- сивов отмечается гамма пород от диоритов до гранодиоритов ($\gamma\delta + \delta$ - Cr_2), связанных между собой постепенными переходами. Как правило, диориты и диоритовые порфиры слагают либо мелкие изометричные штоки, либо трёхлинные интрузии, вытянутые в северо-восточном или меридиональном направлении. Крупные массивы диоритов — гранодиоритов представляют собой апикальные части единой интрузии, большая часть которых находится на соседней площасти с востока. Внедрение позднемеловых интрузий происходило в две фазы. К ранней фазе относятся тела диоритов, кварцевых диоритов, диоритовых порфиритов и диоритов-гранодиоритов, к поздней — биотитовых гранитов.

Диориты образуют ряд разобщенных тел в бассейнах Усмань, Тастаха, Мальмальты и в истоках Магана и Нимакана. Вмешающимися породами для них являются разновозрастные осадочные, интрузивные и эфузивные образования. В бассейне р. Мальмальты массивы этих пород окружены широкими полями контактовых роговиков, свидетельствующих о пологом падении kontaktовых поверхностей. Интрузии трёхшинной и штокобразной формы характеризуются крутыми kontaktами.

Диориты обладают призматической зернистой и гипидноморфно-зернистой структурами и состоят из плагиоклаза — андезита № 32—35 (65%), роговой обманки (до 20%), биотита (до 10%) и кварца (5%). Аксессорные минералы представлены: апатитом, цирконом, сферулитом.

Диоритовые порфиры образуют трещинные и штокобразные тела в бассейнах рр. Саганар, Амбардах и в междуречье Отак — Верхняя Буренда. От вышеописанных пород они отличаются порфировой, реже криптовой структурой. Конкавы тел крутые, ширина приконтактовых изменений обычес- не превышает первых десятков метров. От раннемеловых диоритовых порфириров они отличаются более свежим обликом и, как будет указано ниже, характером эндогенной минерализации.

Закономерностей в распределении различных петрографических разновидностей пород в интрузиях сложного состава не наблюдается. Можно лишь сказать, что диоритовые порфиры развиты преимущественно в приконтактовых частях интрузий. Диориты и грандиориты устанавливаются как в центральных частях массивов, так и на их периферии. На протяжении первых сотен метров через кварцевые диориты одни породы переходят в другие. Диориты по составу и структуре аналогичны рассмотренным выше. Кварцевые диориты отличаются от них увеличением количества кварца до 15% и калиевого полевого шпата до 5% за счет уменьшения содержания плагиоклаза. Гранодиориты состоят из плагиоклаза (40—45%), калиевого полевого шпата (20—25%), кварца (15—20%), биотита (до 10%), рогово-

вой обманки (до 5%) и характеризуются гранитовой, реже мон- гонитовой структурой.

Химический состав пород ранней фазы позднемеловых интрузий приведен в табл. 2. Кварцевые диориты близки к среднему типу пород по Дэли, а гранодиориты отличаются не сколько пониженным содержанием щелочей и кальция.

Как уже говорилось, сложные интрузии представляются апикальными выступами единого массива. Они окружены ци- рокими ореолами kontaktовых роговиков и лайковыми полями. Биотиты и юры превращены в биотитовые роговики, а отложения самырской толщи в тонкокристаллические кварц-биотитовые сланцы полосчатой структуры, по внешнему виду весьма напоминающие гнейсы. Какой-либо минерализации (кроме шеелита) в этих интрузиях не установлено.

На территории листа описаны интрузии прорывающие нижней юры и туфо-эфузивную толщу верхнемелового воз- двиства. Абсолютный возраст аналогичных пород, к северу от тер- ритории листа М-53 II, составляет 95—85 млн. лет (Тоноян, 1959), что соответствует верхнему мелу.

Граниты биотитовые пользуются незначительным распространением. Они обнаруживаются в бассейне р. Куранах и в меж- дуречье Маган — Правый Уссомах, образуя незначительные по площасти окончания массивов, развитых к востоку от рассматриваемой территории. Вмешающимися интрузии породами являются метаморфические сланцы верхнего протерозоя. Массивы сложены среднезернистыми порфировидными биотитовыми гра- нитами, переходящими в краевых частях в гранит-порфиры. Структура гранитов гранитовая. Составляет они из калиевого полевого шпата (60—65%), плагиоклаза — олигоклаза № 17 (10—15%), кварца (20—25%) и биотита (5—10%). Аксессорные минералы представлены апатитом и цирконом. На вме- действие. Метаморфические сланцы верхнего протерозоя превра- щены в полнокристаллические полосчатого сложения кварц-биотитовые роговники. К этим гранитам в бассейне р. Усмань приурочены штиховые ореолы кассiterита и вольфрамита, что, вероятно, отражает генетическую связь.

Верхнемеловой возраст биотитовых гранитов устанавливается по аналогии с сопредельными терриориями, где подобные граниты прорывают эфузивные образования верхнего яруса (Тоноян, 1959) и имеют абсолютный возраст 85—95 млн. лет.

Лайковая серия пород наиболее широко проявлены в связи с позднемеловыми интрузиями. В эзоконтактах интрузий слож-

Таблица 2

Химический состав (в вес. %) и числовые характеристики позднемеловых интрузивных пород

Порода	Место взятия	№ образцов	CaO	MgO	Al₂O₃	FeO	SiO₂	Na₂O	К	O₂H	O₂Pd	O₂S	O₂M	O₂N	CaO	MgO	Al₂O₃	FeO	SiO₂	Na₂O	К	O₂H	O₂Pd	O₂S	O₂M	O₂N	CaO	MgO	Al₂O₃	FeO	SiO₂	Na₂O	К	O₂H	O₂Pd	O₂S	O₂M	O₂N
Гранодиорит	р. Бугор	120	67,23	0,51	14,70	0,58	3,86	0,09	2,29	4,55	2,49	2,34	0,02	0,11	0,91	99,68																						
Гранодиорит	Левобережье	655	71,05	0,30	15,06	0,12	2,34	0,05	0,88	3,25	2,56	3,27	0,04	0,08	0,60	99,60																						
Среднезернистый порфировидный гранит	р. Мальмальты	2152	71,16	0,30	15,54	0,07	2,93	0,09	0,68	2,67	3,15	3,04	0,03	0,08	0,51	100,25																						
Кварцевый диорит	р. Усмань	2186	59,65	0,95	17,20	0,81	5,39	0,06	3,85	6,75	2,42	2,10	0,01	0,13	1,14	100,01																						
Кварцевый диорит	Ключ Полный	38	64,65	0,48	16,60	0,76	3,80	0,09	2,07	3,52	3,44	2,35	0,04	0,12	—	99,75																						
Кварцевый диорит	Верховье р. Тастанах	20	61,27	0,88	16,83	1,30	5,88	0,15	3,08	0,33	1,73	1,75	0,00	0,14	—	0,22																						
Кварцевый диорит	р. Томтор	155	62,52	0,67	16,66	0,42	4,96	0,10	2,50	4,66	3,20	3,15	—	0,22	—	—	0,12	1,18																				
Кварцевый диорит	р. Прав. Уссомах	1675, а	64,89	0,45	15,89	0,93	3,74	0,10	2,55	4,90	3,56	3,27	2,18	—	—	—	—	—	—	—	—	—	—	—	—	—	—	—	—	—	—	—	—	—	—			
Кварцевый диорит	р. Мальмальта																																					

Порода	Место взятия	№ образцов	Примечание
Гранодиорит	р. Бугор	120	Сигов В. Ф. (1960)
Гранодиорит	Левобережье	655	То же
Среднезернистый порфировидный гранит	р. Мальмальты	2152	" "
Кварцевый диорит	р. Усмань	2186	Баранов А. Ф. (1956)
Кварцевый диорит	Ключ Полный	38	То же
Кварцевый диорит	Верховье р. Тастанах	20	Смирнов Н. Ф. (1954)
Кварцевый диорит	р. Томтор	155	Нелюбин А. С. (1937)
Кварцевый диорит	р. Прав. Уссомах	1675, а	То же
Кварцевый диорит	р. Мальмальта		

ного состава количество даек настолько велико, что в бассейнах рр. Мальмальты и Магана они буквально пронизывают вмещающие породы. В обнажениях по правой составляющей Магана даики имеют мощность от 1—2 до 50—80 м и отстоят друг от друга на 5, 20 и 100 м. Такая же картина наблюдается и в обнажениях по рр. Мальмальте, Тастану и в других местах. Простирание даек разнообразное, протяженность их до трех километров; падение либо вертикальное, либо под углом 60—80°; контакты с вмещающими породами ровные, четкие. Даики представлены гранит-порфирами и диоритовыми порфиритами.

Гранит-порфиры ($\text{γ}_{\text{γ}}\text{Cr}_2$) распространены на лево- и право-бережье р. Умальты, где образуют даики почти меридионального простирания с падением на юго-восток и северо-запад под углом 50—60°. По простиранию они прослеживаются на 0,2—3 км. Контакты с вмещающими породами обычно сопровождаются неширокой зоной контактов измененных пород. Гранит-порфиры представляют собой светло- и желтовато-серые порфировые породы с микрогранитовой структурой основной массы. Бкиаплениники образованы кварцем, калиевым полевым шпатом, плагиоклазом и биотитом. Основная масса состоит из калиевого полевого шпата, плагиоклаза, кварца и биотита. Аксессорные минералы представлены цирконом, сフェном и апатитом, вторичные — серидитом, хлоритом и мусковитом.

Диоритовые порфиры ($\text{δ}_{\text{γ}}\text{Cr}_2$) широко распространены в бассейнах рек Мальмальты, Тастанах, Магана, Томтора. Это серые и темно-серые порфировые породы с мелкозернистой призматической зернистой структурой основной массы, на фоне которой отчетливо выделяются фенокристаллы основного плагиоклаза, роговой обманки и, иногда, пироксена. Основная масса состоит из плагиоклаза, роговой обманки и биотита. Вторичные минералы представлены карбонатом, хлоритом и биотитом.

Несколько обособленное положение среди жильных пород района занимают габбро-диабазы ($\beta_{\text{γ}}\text{Cr}_2$), образующие в правом борту р. Бурен дайку северо-восточного простирания мощностью около 90 м. Она приурочена к надвигу и залегает среди дробленых диабазовых порфиритов маганской свиты. Габбро-диабазы — это темно-серые, почти черные с зеленоватым оттенком массивные породы. Структура их габбродиабазовая. Порода сложена лабрадором, агбитом, оливином, амфиболом и биотитом. Вторичные изменения представлены соссоритом, хлоритом, эпидотом, уралитом и серпентином; акцессорные — алатитом и магнетитом. К позднемеловому возрасту габбродиабазы отнесены условно, так как не исключено, что они являются гипабиссальным аналогом диабазовых порфиритов маганской свиты.

ТЕКТОНИКА

На тектонической карте, составленной Л. И. Красным (1959), территория листа М-53-II расположена в пределах восточной окраины Буреинского массива, северной части Буреинского мезозойского прогиба и западного окончания Ниланского антиклиниория.

Наиболее древними образованиями, слагающими в пределах района восточную окраину Буреинского массива, являются породы тастахской серии нижнепротерозойского возраста. Они собраны в крупную синклиналь, протягивающуюся от р. Амбардах на юге до бассейна р. Мальмальты на севере. Западное крыло синклинали прорвано позднепалеозойскими интрузиями, восточное — оборвано крупным надвигом, по которому гнейсы надвинуты на отложения верхнего триаса. На юге рассматриваемой территории простирание гнейсов тастахской серии северо-восточное; по направлению к северу оно постепенно приближается к меридиональному. В бассейне р. Мальмальты гнейсы имеют меридиональное простижение.

В Междуречье Саганар — Эпикан и в истоках р. Верхний Деш по выходам пород лепиканской свиты намечается ядро складки. Шарнир ее погружается к северу. Складка имеет сложное строение и опрокинута на восток. Дополнительные складки имеют линейную форму, ширина их в бассейнах Амбардаха и Саганара изменяется от 0,5 до 2 км. Шарниры складок воздымаются в северо-восточном направлении. Углы падения крыльев складок колеблются от 40 до 80°; довольно часто отмечается опрокинутое залегание пород. Для отложений тастахской серии, кроме того, характерно развитие гофрировки и мелкой изоклинальной складчатости с шириной складок до 1 м.

Расшифровать складчатую структуру пород туловчихинской свиты, виду плохой обнаженности, не представляется возможным. По данным В. А. Дыренко (1961), гнейсы туловчихинской свиты, ввиду отличие от пород тастахской серии, имеют северо-западное простижение.

Кристаллические сланцы верхнего протерозоя, обнажающиеся в ядре Ниланского антиклиниория, на большей части площади имеют моноклинальное падение в западных румбах. Они залегают на западном крыле антиклинальной складки, восточное крыло которой находится за пределами рассматриваемого района, а западное — срезается крупным разрывом. К северу верхнетретерозойские структуры погружаются под отложениями верхнего триаса. Ядро антиклинали сложено породами самырской и аныкской толщи. На правобережье р. Усмань осевая линия ее простирается в направлении СВ 30°. На этом участке ядру складки приурочена пластообразная интрузия позднемеловых диоритов. На правобережье р. Бурея осевая линия структуры изменяет свое направление на СВ 10°. Породы на

западном крыле антиклинали падают под углом 20—40°. Для верхнетретерозойских образований характерно широкое разятие гофрировки, плойчатость и изоклинальной складчатости с шириной складок до 2 м. Западное крыло осложнено скатыванием направлением. Крупные складки такого типа фиксируются в бассейне р. Ургал-Макит.

Условно среднедевонские отложения, судя по характеру осадков, являются осадочным чехлом Буреинского массива, который уже в среднем палеозое выступал в качестве жесткой глыбы. Они представляют собой кровлю позднепалеозойских интрузий и в значительной степени уничтожены ими. Остатки крупной синклинальной структуры почти широтного простирания сохранились на левобережье р. Мальмальты. В ядре синклинали здесь залегают различные сланцы, на крыльях — песчаники. Углы падения пород на крыльях составляют 30—50°. Синклиналь разбита многочисленными разрывными нарушениями и прорвана интрузиями гранитов. Общее погружение этой структуры намечается в западном направлении, где среднедевонские отложения перекрываются базальными слоями умальтинской свиты. Кроме того, ксенолиты среднего девона (?) сохранились в окрестностях Умальтинского молибденового месторождения. Породы здесь падают на север под углом 60—70°.

Покров первых эфузивов (?) разорван многочисленными тектоническими нарушениями и сохранился на небольших разобщенных участках, что при отсутствии достаточного количества коренных обнажений затрудняет расшифровку его структуры. По материалам А. Ф. Баранова (1956) устанавливается, что в отдельных обнажениях эфузивы падают на юг под углом 60°. Им же вблизи Умальтинского рудника в порфиригах отмечается мелкие складки северо-восточного простириания с параллельными крыльями, падающими на юго-восток под углом 50°.

Своебразное положение в структуре района занимают верхнетриасовые отложения. От истоков р. Ургала на юге до бассейна р. Магана на севере они выполняют узкий (до 8 км) трогоподобный грабен, протягивающийся на 50 км и сформировавшийся на сочленении Буреинского массива и Ниланского антиклиниория.

С запада и востока грабен ограничен крупными разрывами типа кругопадающих надвигов. Севернее, в бассейне р. Маган, верхнетриасовые структуры разделяются, образуя две ветви, одна из которых уходит за пределы района к востоку в широтном направлении, другая (параллельная окраине Буреинского массива) прослеживается в бассейн р. Мальмальты, где верхнетриасовые отложения перекрывают гнейсы тастахской серии и позднепалеозойские гранитоиды.

В пределах грабена верхнетриасовые отложения сброшены в синклинальную складку, осевая линия которой протягивается в меридиональном направлении от южной границы района до долины р. Мальмальты.

Севернее простирание оси складки изменяется на СЗ 330°, а в бассейне р. Томтор направление ее становится широтным. Ядро синклинали выполнено уссомахской свитой, на крыльях обнажаются маганская и мерекская свиты. На юге, где западное и восточное крылья синклинали ограничены разрывами, складка симметричная. Углы падения пород на крыльях от 25 до 50°. В истоках р. Тастав шарнир синклинали сначала полого (10—15°) вздымается, а затем круто (до 50°) погружается, в результате в этом районе на широкой плошади обнажена маганская свита. На правобережье Мальмальты складка опрокинута на юг и юго-запад. В нормальном крыле ее породы падают под углами 10, 20, 50°, в опрокинутом — по углом 65°.

Широтные структуры верхнетриасовых отложений, прорванные позднемеловыми интрузиями, так же образуют синклиналь с углами падения пород на крыльях от 30 до 70°.

Рассмотренные крупные структуры осложнены рядом мелких синклинальных и антиклинальных складок с шириной складок от 1 до 100 м. Шарниры этих складок погружаются или вздымаются под углами 5, 10, 15°. Форма складок разнообразная. Наибольшим распространением пользуются прямые симметричные складки, реже последние имеют сундучную форму. Очень редко по ориентировке нижней поверхности слоя трехчленного ритма устанавливается опрокинутое залегание пластов.

Морские и пресноводно-континентальные отложения юры и нижнего мела выполняют Буренский прогиб, имеющий асимметричное строение. В восточной окраине прогиба разрез мезозоя представлен полностью, начиная с отложений умальтинской свиты, а в западной на породы фундамента ложатся эпиканская и эльгинская свиты. Отложения Буренского прогиба собраны в ряд пологих антиклинальных и синклинальных складок. Крупная синклиналь, известная в литературе под названием Умальтинской (Кропоткин и др., 1953), прослеживается из бассейна р. Малый Ерик на правобережье р. Бурен. В бассейне р. Малый Ерик она фиксируется по выходам чечукинской свиты. Далее к северу по азимуту 25—30° шарнир синклинали медленно вздымается и на дневную поверхность последовательно выходят отложения чагдомьинской, угальской, талынжской и более древних свит. В бассейне р. Алонжи шарнир усложнен синклинальным перегибом, фиксирующимся выходами чечукинской свиты. Синклиналь имеет асимметричное строение. Восточное крыло ее падает под углом 15—25°, а западное под углом 10°. Крылья Умальтинской синклинали осложнены дополнительными складками. В верховьях р. Иерохан на восточном крыле синклинали намечается очень пологий синкли-

нальный изгиб, в ядре которого сохранилась от эрозии чагдомьинская свита. Дополнительные складки отмечаются и на западном крыле Умальтинской синклинали. В приступьевской части р. Алонжи ширина этих складов составляет около 2 км. Оси их простираются по азимуту СВ 25—30°. Воздымание шарниров происходит в том же направлении.

К западу от Умальтинской синклинали располагается антиклиналь. От долины р. Бурен она прослеживается в верховья р. Нимакана. Шарнир складки около 6 км, углы наклона слоев составляют 10—15°. Шарнир антиклинали медленно вздымается в северо-северо-восточном направлении. Около устья р. Отаик в ядре антиклинали обнажаются позднепалеозойские граниты. От р. Нимакан шарнир медленно погружается. Дальше к северу, в среднем течении р. Отаик, шарнир испытывает антиклинальный перегиб, рисующийся по выходам верхнеэпиканской подсвиты.

К западу от описанной антиклинали и параллельно ей проходит еще одна синклинальная складка шириной 10—15 км. Крылья ее падают под углом 10—15°. Шарнир синклинали очень полого вздымается в северо-северо-восточном направлении, что наблюдается по последовательному выходу на дневную поверхность ургальской, талынжанской и эльгинской свит. В верховьях р. Большой Актали шарнир складки испытывает пологий антиклинальный перегиб, фиксирующийся выходами нижней пачки нижнеэльгинской подсвиты.

В истоках р. Нимакан общая синклинальная структура Буренского прогиба нарушена горстовым поднятием. Здесь на дневную поверхность выведены позднепалеозойские гранитоиды и более древние, чем окружающие горсты, юрские отложения. Амплитуда горстового поднятия составляет не менее 800—1000 м.

Верхнемеловые эфузивы Баджалского комплекса с резким угловым несогласием залегают на размытой поверхности доверхнемеловых пород. В бассейне р. Булгар структура эфузивного покрова представляется в виде мульды, в ядре которой залегает толща кварцевых порфиров. Породы на крыльях мульды (по единичным замерам) падают под углом 15°. Структура покрова в районе горы Хынгана-Яган, виду отсутствия коренных обнажений, неясна.

Породы паганской свиты с угловым несогласием залегают на юрских и нижнемеловых отложениях. Они, так же как и рыхлые четвертичные отложения, не дислоцированы.

Из дизъюнктивных нарушений основную роль в структуре района играют надвиги и сбросы близкого к меридиональному направления. Они, как правило, ограничивают главные структурные элементы и протягиваются на многие десятки километров. Эти нарушения хорошо дешифрируются на аэрофотосним-

ках, а при картировании фиксируются по зонам катаклаза, зеркалам скольжения и брекчиям.

Одним из наиболее крупных нарушенний района является надвиг, проходящий по восточной окраине Буренского массива. По нему породы тастахской серии надвинуты на отложения верхнего триаса. Морфологически надвиг выражен системой нарушений, укладывающихся в полосу от 100 до 200 м, или зоной перегорых пород мощностью до 800 м. Последняя обнаружена в правом борту долины р. Бурен, в 4 км ниже устья верхнего Уссомаха. Здесь, в лежачем боку зоны среди дробленых диабазовых порфиритов маганской свиты заключен тектонический отторженец кварцитов амбардахской свиты, превращенных в листоватые причудливо гофрированные породы розового цвета. Диабазовые порфириты и рвущая их лайка габбро-диабазов местами перегорты до состояния тектонической глины ярко-зеленого цвета или превращены в круглые (до шарообразных) либо остроугольные обломки с отшлифованными поверхностями. Зона падает на запад под углом 60°. К югу и северу от долины р. Бурен разваливается пород постепенно уменьшается и надвиг выражен системой нарушений, плоскости смещителей которых падают на СЗ 290° под углом от 30 до 70°. Этот надвиг прослеживается через всю площадь листа М-53-И1. Вертикальную амплитуду перемещения по нему определить трудно, но, судя, по отсутствию верхнетриасовых отложений сопоставимой восточнее от описанного нарушения и параллельно ему проходит еще один надвиг, который прослежен в мелориолитическом направлении от южной границы до бассейна р. Маган, где он «залечен» интрузией позднемеловых граний-тоидов. Этот надвиг (возможно взброс) контролируется зоной брекчированных пород мощностью 150—200 м, падающей на запад под углом 50—70°. По нему отложения верхнего триаса надвинуты на породы верхнего протерозоя.

Оба описанных нарушения, разделяющие Буренский массив от Ниланского антиклиниория и оконтуривающие трогобразный грабен, выполненный верхнетриасовыми отложениями, являются, по-видимому, долгоживущими структурными швами между глубинного заложения. О существовании глубинных разломов по окраине Буренского массива в позднетриасовую эпоху можно судить по наличию в маганской свите диабазовых порфиритов. Однако не исключено, что глубинные разломы здесь были заложены в палеозое, а в позднем триасе и в посттриасовом время они неоднократно подновлялись.

гает 650 м. Второй сброс из бассейна р. Малый Ерик, через устье руч. Шахтинского, прослежен в истоки р. Нимакан, где он, раздваиваясь, оконтуривает горловое поднятие. Отпираются эти нарушения являются сбросо-сдвиги северо-западного простирания, установленные в истоках Ургала и в районе Умальгинского месторождения. Один из сбросо-сдвигов проходит поблизости устьев ключей Скалистого, Диоритового и дальше через рудное поле. Умальгинского молибденового месторождения. Северо-восточный блок рудного поля по этому нарушению сброшен и сдвинут в юго-восточном направлении. Плоскость сбрасываемого простирается на СЗ 320° и падает на СВ под углом 70° . Другие нарушения такого же направления проходят от ключа Горелого, через верховьи ключа Скалистого, к Старой Умальте. Величина вертикального перемещения здесь не установлена, горизонтальное перемещение северо-восточного блока в юго-восточном направлении по одному из них около 2 км.

Разрывы широтного и близкого к нему направлений, также представляют собой сбросы. Они секут нарушения других направлений. Вертикальные амплитуды перемещения по этим сбросам достигают, по-видимому, сотен метров, но точно не установлены.

В истории геологического развития района намечается ряд этапов, включающих в себя эпохи осадконакопления, проявления складчатости, магматизма и периоды денудации.

В раннепротерозойское время растущий южный склон, расположенный в области интенсивного опускания, что привело к накоплению мощной толщи терригенных и карбонатных осадков, метаморфизованных впоследствии до стадии различных гнейсов и мраморов тастанской и амурской серий. Прогибание продолжалось и в позднем протерозое при отложении пород и метаморфизованных в слюдяные сланцы самырской, аныскойской и ортуцкой свит. Однако резкая разница в характере структур и в степени метаморфизма нижне- и верхнепротерозойских отложений позволяет предполагать, что между ними существует крупное несогласие, а раннепротерозойский этап развития района закончился проявлением складчатости и внедрением интрузий кислого состава. По-видимому складчатые движения имели место и в раннем протерозое, на что указывает азимутально-несогласие между структурами тастанской и амурской серий. Хотя возраст метаморфизма протерозойских пород точно не установлен, но по наличию в конгломератах среднедевонских (?) отложений гальки гнейсов и слюдяных сланцев можно установить, что уже в досреднедевонское время осадки тастанской и амурской серий, самырской, аныской и ортуцкой толщ пре терпела региональный метаморфизм, были выведены на дневную поверхность и подверглись интенсивной денудации.

Как указывалось выше, буренский матвей, как лесная глыба, выступал, вероятно, уже в среднем палеозое, в то время

как область Ниланского антиклиниория переживала геосинклинальное развитие. Это доказывается платформенным характером осадков среднедевонских (?) отложений в пределах Буренского массива и присутствием геосинклинального среднего девона в непосредственной близости к востоку. Думается, что среднедевонская трансгрессия охватила всю описываемую территорию. Заложение глубинных разломов по окраине Буренского массива, по-видимому, предшествовало трансгрессии среднедевонского моря.

В позднем палеозое, вероятно по крупным разломам в фундаменте, в восточной окраине Буренского массива произошло внедрение громадных масс гранитоидов, а излияние пермских (?) эфузивов относится к конечным этапам позднепалеозойского тектогенеза. Вполне возможно, что в западной части района, так же как и на сопредельных территориях с востока (Турбин, 1961), в позднем палеозое происходило накопление морских осадков геосинклинального типа, эродированных в результате раннемезозойских поднятий. В связи с последним были отпредарированы и интрузии позднепалеозойских гранитов Буренского массива.

Трансгрессия позднетриасового моря охватила восточную часть рассматриваемой площади, а обновленные в это время глубинные разломы по окраине Буренского массива являлись подвойцами каналами, по которым изливались лиабазовые порфириты Маганской свиты. Верхнетриасовые отложения были смыты в складки в самом конце позднего триаса или в начале ранней юры, до отложения Умальтинской свиты.

Как показывает распределение фаун в Буренском прогибе (Крымгольц, 1939), трансгрессия юрского моря на территории листа наступала с востока. Расширение юрского морского бассейна к западу четко выраживается на геологической карте по налеганию различных горизонтов юры на позднепалеозойские граниты. Смена морского режима континентальным произошла в позднепалеозойское время, а формирование Буренского прогиба, начавшееся в ранней юре, продолжалось почти на протяжении всего раннего мела. По данным Т. Н. Давыдовой и Ц. Л. Гольдштейн (1949), во время накопления чаганайской свиты в центре прогиба, при сокращении юрской трансгрессии, возник отресненный бассейн, а накопление осадков угленосной толщи проходило в три этапа.

Первый этап — образование обширной аллювиальной равнины с системой дряхлеющих рек и многочисленными болотами на месте реликтового Морского бассейна (тальянская свита и нижняя часть ургальской) — связан с постепенным обмелением обширного прогиба, возникшего еще в начале отложения морских свит. Области сноса в это время располагались к северу и югу от бассейна, в пределах древнего гранитного массива. Второй этап (верхняя часть ургальской и чаганайской

свиты) характеризуется возобновлением интенсивного прогибания и образованием межгорной котловины, ограниченной с запада и востока подъемающими областями сноса. В третий этап (чечмукинская свита) область находилась на востоке, а поверхность Буренского бассейна снова представляла собой обширную аллювиальную равнину.

Тектонические движения, менявшие положение областей седиментации и сноса во время накопления морских и пресноводно-континентальных осадков юры и нижнего мела, не прекратились и после проявления раннемеловой складчатости, дислоцировавшей отложения Буренского прогиба. В позднемеловую эпоху, в связи с глыбовыми движениями произошло образование горстов и грабенов, излияние кислых и средних эфузивов, их коробление и внедрение позднемеловых интрузий, преимущественно трещинного типа. Верхняя возрастная граница дислокаций пород рассматриваемой территории определяется горизонтальным залеганием паганской свиты. Однако интенсивные движения закончились несколько раньше, ибо отложения паганской свиты предшествовала длительная денудация, сформировавшаяся предлаганский плен.

Паганские отложения не дислоцированы, а иногда слабо покороблены, что является результатом длительных процессов поднятий и блоковых подвижек в кайнозойское время.

Тектоническая жизнь района в четвертичное время устанавливается по комплексу разновозрастных террас, довольно широко развитых в долинах многих рек и ключей.

ГЕОМОРФОЛОГИЯ

На территории листа развит эрозионно-тектонический рельеф, среди которого выделяются высокие средне-низкогорные и холмисто-увалистые типы.

Высокогорный рельеф отмечается в истоках рр. Тас-тах и Маган. Сформирован он на позднемеловых гранитоидах и окружающих их роговиках. Морфологически это — горный узел, состоящий в центре из пикообразной вершины с максимальной абсолютной отметкой района в 1847 м, от которой на север и юг отходят короткие отроги. Последние представляют собой цепь конусовидных вершин высотой 1500—1800 м, соединенных узкими скалистыми гребнями. Относительные превышения составляют 500—900 м. Вершины хребтов и их крутые (до 45—50°) склоны изобилуют денудационными останками и покрыты крупноглыбовыми элювиально-делювиальными развалинами. Речные долины глубоко врезаны и имеют V-образный, а в истоках каньонобразный поперечный профиль и лишены надпойменных террас. Продольный профиль долин ступенчатый. В истоках их обычно расположены ледниковые цирки с крутыми, подчас отвесными стенками. В руслах рек отмечается только глубинная эрозия.

Среднегорный рельеф занимает восточную и северо-западную части территории листа. На верхнемеловых эффиузиях в бассейне р. Мальмальты и в районе горы Хымагна-Яган сформировался резко расчлененный рельеф, который образует изометричной формы массивы, возвышающиеся уступом над окружающей местностью, сложенной осадочными, интрузивными и метаморфическими породами. Эти массивы состоят из конусовидных вершин с абс. отметками 1400—1500 м, разделенных глубокими седловинами. На вершинах и склонах хребтов довольно часто встречаются денудационные останцы, и они почти повсеместно покрыты элювиально-делювиальными развалами. С высоты 1100—1200 м осыпи закреплены растительностью. Гидросеть сильно врезана. Форма долин V-образная, а в истоках часто встречаются неглубокие ущелья. Продольный профиль долин кругой ступенчатый.

На отложениях верхнего протерозоя, верхнего триаса и юры в верховьях Нимакана рельеф расчленен слабее. Морфологически это — система горных узлов с абс. отметками высот 1200—1500 м, от которых в различных направлениях отходит широкие хребты, разделяющие левые и правые притоки Буреи и истоки Нимакана. Поверхности хребтов плоские, над ними возвышаются отдельные куполовидные вершины, заканчивающиеся ровными площадками. Денудационные останцы на вершинах и склонах, имеющих наклон до 30°, встречаются редко. Деловитые осыпи распространены довольно широко. Речные долины глубоко врезаны, форма их ячикообразная, продольный профиль довольно кругой. На отдельных участках (р. Маган, Бугор) развиты долины прорыва.

Среднегорный слаборасчлененный рельеф сформирован на позднепалеозойских гранитоидах, породах тастанской и амурской серий. Он с востока и северо-запада окаймляет Буреинский прогиб и представлен системой широких хребтов, вытянутых в меридиональном направлении. Абсолютные отметки вершин здесь 1000—1200 м, относительные превышения 400—500 м. Отдельные вершины и отходящие от них хребты характеризуются округлыми, мягкими формами, с плавными очертаниями. Склоны гор имеют наклон 15—20° и почти сплошь покрыты растительностью. Элювиально-делювиальные россыпи встречаются редко. В области развития позднепалеозойских гранитоидов на вершинах нередко отмечаются денудационные останцы. Долины рек и клоцов имеют ячикообразную, а в истоках V-образную форму. В пределах среднегорья в верховьях рек глубинная эрозия преобладает над боковой, а в нижнем течении, наоборот, боковой над глубинной.

Низкогорный рельеф пользуется сравнительно широким распространением. На позднепалеозойских гранитоидах в бассейнах рр. Ургала и Умальта, где граниты выступают под юры, низкогорье представлено системой низких хребтов,

вытянутых в широтном направлении. Вершины хребтов плоские, широкие и очень плавно, почти незаметно, переходят в пологие склоны. Над этими плоскими пространствами возвышаются отдельные округлые вершины, заканчивающиеся ровными площадками. Абсолютные отметки вершин составляют 700—800 м. Гидросеть врезана неглубоко (относительные превышения 200—300 м). Речные долины широкие, с хорошо выраженным комплексом террас. Они имеют ячико- или корытообразный спиральный профиль. На юрских осадочных отложениях в бассейнах рр. Ургала, Этикана, Умальта и Нимакана хребты короткие. Абсолютные отметки отдельных вершин здесь составляют 800—850 м. Над более или менее одинаковым уровнем водораздельных пространств резко возвышаются отдельные конусовидные вершины с абсолютными отметками 1000—1100 м. Эти возвышенности фиксируют штокообразные тела раннемеловых диоритовых порфиритов. Водораздельные пространства плоские, они резко переходят в склоны, наклон которых составляет 20—25°. Речные долины хорошо разработаны, форма их пикиообразная, в истоках V-образная. Глубинная эрозия проявлена слабо.

Холмисто-увалистый рельеф развит в юго-западной части района, в бассейнах рр. Малого и Большого Ерика. Сформировался он на пресноводно-континентальных отложений, пляж низкого мела и характеризуется плавными очертаниями водораздельных возвышенностей, абсолютные отметки которых составляют 300—500 м, а относительные превышения — 30—20 м. На вершинах их в междуречье Бурея — Большой Ерик развиты останковые поверхности предагианского пленелена. Несколько видно с любой возвышенной точки южной половины района. Склоны хребтов выпуклые, крутизна их составляет 5—10°. Как склоны, так и вершины гор покрыты густой растительностью, и на них нередко встречаются «марии». Речные долины врезаны слабо. Они широкие, заболоченные. Днища долин очень плавно, почти незаметно, соединяются склонами хребтов. В руслах рек процессы аккумуляции преобладают над процессами эрозии.

Аккумулятивные формы имеют незначительное распространение в районе. Во всех типах рельефа отмечаются низкие и высокие поймы. Поверхность высокой поймы ровная, частично заболоченная и к руслу обрывается крутым, почти отвесным уступом высотой до 4 м. Высокая пойма аккумулятивная, на отдельных участках (р. Маган) структурно-аккумулятивная и сложена аллювиальным песчано-галечниковым материалом. В юго-западной части района с русловыми и пойменными отложениями связаны россыпи золота. Террасы высотой 8—20 м сохранились от размыва на отдельных участках в пределах низко- и среднегорья по долинам рр. Буреи, Умальты, Ургала, Нимакана, Тастана и др. Ширина площадки их 150—800 м.

В хорошо выраженном уступе обнажается коренной цоколь, перекрытый песчано-галечниками отложениями небольшой мощности. На отдельных участках в долине р. Бурей отмечаются 40–60-метровые террасы. У них выделяется слабо наклоненная к руслу поверхность шириной 200–800 м, плавно соединяющаяся с коренным склоном долины. Уступ террасы выражен плохо. Террасы высотой 80–120 м развиты также в долине р. Бурей, около устья р. Правый Уссомах и Усмань. Они склонительно-аккумулятивные и в рельфе выражены наклонной площадкой. Глыбовая закраина террас перекрыта деловием. Бровка их в рельфе не выражена.

Начало формирования современного рельефа относится, по-видимому, к позднемеловой эпохе, ибо горные сооружения, возникшие после проявления раннемеловой складчатости, были уничтожены во время длительного выравнивания, предшествовавшего отложению пагаянской свиты. В конце позднего мела связано, очевидно, оживление эрозионной деятельности. Максимальные амплитуды поднятий относятся к восточной половине района, где рельеф интенсивно расчленен, в руслах рек преобладает глубинная эрозия, имеется множество водопадов и долины крупных рек переутлублены по отношению к их притокам. Годнение западной части района закончилось раньше. В руслах рек здесь боковая эрозия преобладает над губинной, рельеф выполнен, а в пределах холмисто-увалистого рельефа процессы аккумуляции преобладают над процессами эрозии.

ПОЛЕЗНЫЕ ИСКОПАЕМЫЕ

На территории листа М-53-II известны промышленные месторождения молибдена, золота и каменного угля, а также непромышленные месторождения и проявления олова, вольфрама, магнетитовых и полиметаллических руд, ртути, бериллия и нерудных полезных ископаемых. Ведущими полезными ископаемыми являются молибден и золото.

ТВЕРДЫЕ ГОРЮЧИЕ ИСКОПАЕМЫЕ

Каменный уголь

Усть-Умальтинское месторождение (37)* являлось топливно-энергетической базой Умальтинского рудника. Оно расположено на правом берегу р. Бурей, в 3 км ниже устья р. Умальты, и приурочено к центру Умальтинской

* Номер в скобках соответствует номеру месторождения или проявления полезного ископаемого на карте.

синклинали. Угленосной здесь является талынжанская свита. Породы залегают вертикально или падают на ЮВ под углом 70–80°. Плоскости разрывных нарушений проходят параллельно плоскостям напластования пород, поэтому амплитуды смещения не известны. Всего на месторождении известно 19 пластов каменного угля, из них 9 промышленных. Пласти имею сложное строение. Мощность их колеблется от 0,7 до 5,75 м, а расстояние между пластами — от 9 до 67 м. Угли обычно полосчатые полуబлестящие. Некоторые пласти, залегающие в верхней части талынжанской свиты, характеризуются крайне непостоянными свойствами, с резкими переходами от блестящих разностей угля к улиским аргиллитам. Название пластов, их мощности, расстояние между ними и качественная характеристика приведены в табл. 3. Угли относятся к сухим,

Таблица 3

Наименование пластов, пачек (сверху вниз)	Мощность, м	Качественные характеристики углей, %															
		Расст. от нижележащего пласта, пачки, м	W ^л		A ^л		A ^с		V ^л		V ^с		Q ^л , ккал		Q ^с , ккал		Дист.
			W ^л	A ^л	V ^л	V ^с	Q ^л	Q ^с	S ^л	S ^с	Дист.	Дист.	Дист.	Дист.	Дист.	Дист.	
«Сомнительный»	2,05	20	6,82	31,54	33,85	22,94	37,21	41,99	5812	0,21	—	—	—	—	—	—	—
«Смятый»	4,20	47	6,06	36,92	39,30	21,14	37,07	32,66	6568	0,26	1,61	—	—	—	—	—	—
«Второй»	0,79	9	6,30	40,99	43,75	20,13	38,19	35,63	6769	0,22	—	—	—	—	—	—	—
«Первый»	0,72	86	11,27	20,00	22,54	32,64	47,64	42,24	6364	0,28	—	—	—	—	—	—	—
«Крутой»	2,06	47	6,70	15,04	16,12	29,68	28,80	15,87	67508	0,32	1,35	—	—	—	—	—	—
«Отделенный»	2,08	5,0	7,38	19,92	21,51	27,73	39,52	53,99	7350	0,16	1,40	—	—	—	—	—	—
«Малый»	0,78	9,65	6,73	16,99	18,22	29,37	38,20	5601	7343	0,22	1,42	—	—	—	—	—	—
Пачка Неваж-	1,10	2,05	4,38	47,30	49,47	19,85	41,07	35,69	7442	0,13	1,69	—	—	—	—	—	—
«Сложный»	1,07	1,08	5,12	24,37	25,68	25,28	35,85	52,93	7507	0,24	1,14	—	—	—	—	—	—
Пачка Смеж-	1,09	0,9	5,14	19,32	20,44	27,57	36,53	53,96	7150	0,25	1,38	—	—	—	—	—	—
Пачка Пер-	1,80	0,95	5,47	17,82	18,85	28,03	37,11	5402	7042	0,20	1,47	—	—	—	—	—	—
Пачка Началь-	0,71	27	2,03	25,95	26,50	29,73	40,86	5214	7240	0,24	1,44	—	—	—	—	—	—
Находка	2,01	69	5,38	26,13	27,61	26,33	38,44	5100	7459	0,25	1,39	—	—	—	—	—	—
«Береговой»	0,79	9,04	33,02	36,30	18,77	32,40	3731	6439	0,37	—	—	—	—	—	—	—	—

газовым, совершенно не пригодным для коксования. Гидроэнергетические условия сложные, наибольшим распространением пользуются трещинные напорные воды. Приток воды по отдельным выработкам колеблется от 1 до 27,7 л/сек. Месторождение ограбляется с 1942 г. Всего до 1960 г. добыто угля и потери запасов по категориям А+B+C₁ 189 тыс. т. В 1960 г.

добыча составила 25 тыс. т. По состоянию на 1 января 1961 г. запасы по категориям А+В составляют 11 тыс. т, по А+В+C₁ 679 тыс. т. Перспективные прогнозные запасы по всей площади Усть-Умальтинского месторождения до глубины 380 м оцениваются в 12518 тыс. т. Разработка месторождения с 1 января 1962 г. прекращена, в связи с закрытием Умальтинского рудника, для нужд которого добывался уголь.

Олонжинское месторождение (58) расположено в междууречье Иерохан — Малый Ерик. Оно приурочено к восточному крылу Умальтинской синклинали. Площадь месторождения сложена ургальской, чагдомынской и чемчукинской свитами. В восточной части ургальская свита прорвана раннеловыми интрузиями диоритовых порфиритов. По характеру залегания пород выделяются две зоны: западная и восточная (Толстов, 1951). В западной зоне породы смяты в мелкие складки с углами падения крыльев 10—20°, не осложненными разрывными нарушениями, в восточной углы падения крыльев складок составляют 25—60°. Здесь развиты многочисленные разрывные нарушения типа наливков, амплитуды смещения по которым не известны. Угленосными являются ургальская свита и нижняя часть чагдомынской. Коэффициент угленасыщенности ургальской свиты равен 0,1, чагдомынской 0,008, а всего месторождения 0,01. Мощность угольных пластов крайне изменчива как по простиранию, так и по падению. Всего известно семь угольных пластов, из которых только три являются рабочими. Два рабочих пласта («Гигант» и «Первый») залегают в уральской свите и один («Орловский») в чагдомынской. Наиболее низкое стратиграфическое положение занимает пласт «Гигант». Пласт «Первый» находится в 135 м выше по разрезу, а пласт «Орловский» в 530 м от кровли пласта «Первого». Строение пластов сложное, мощность их изменяется в пределах 1,05—7 м. Угли месторождения являются гумусовыми, полосчатыми и состоят из чередующихся блестящих, полублестящих или полуматовых полос. По микроструктуре они относятся к древесному klarenu, с преобладанием гелефицированных стеблевых элементов и листьев, превращенных в витрин и ксиловитрен, реже флюзен. Угли каменные, близки интрузий диоритовых порфиритов. Качество углей характеризуется следующими средними показателями: дс 36%, V_i 23%, S_c 0,30% и Q 8200—8500 ккал.

На месторождении широко развита многолетняя мерзлота, препятствующая инфильтрации атмосферных осадков, что привело к широкому развитию заболоченных участков. Средняя мощность слоя мерзлых грунтов составляет 35 м. В этом слое дебит таликовых вод составляет 5—30 л/сек. Ниже слоя многолетней мерзлоты дренируют пластово-трещинные воды.

Имеющие напорный характер. Высота напора составляет 0,2—5 м. На 1 января 1961 г. на месторождении подсчитаны запасы по категориям А+В+C₁ в количестве 20 770 тыс. т.

К северу от Олонжинского месторождения, в Междууречье Большой Ерик — Бурея (35), известно проявление каменного угля (Скорогод, 1932). Площадь проявления приурочена к центральной части Умальтинской синклинали, выполненной ургальской свитой. Каменные угли известны только по многочисленным деловиальным высыпкам. Поисковые работы на этом участке не производились.

МЕТАЛЛИЧЕСКИЕ ИСКОПАЕМЫЕ

Черные металлы

Магнетитовыеруды образуют мелкие проявления по ключу Контактовому (42)*, по левому притоку р. Верх. Деш (41) и по правому берегу р. Буреи, в километре ниже устья р. Тастах (43). Незначительные скопления магнетита отмечаются либо в скарнированных мраморах лепицанской свиты на контакте с позднепалеозойскими гранитами, либо в гнейсах верхнесаганарской подсвиты.

Цветные металлы

Цинк

Проявление цинка (20) расположено на левобережье р. Мальмальты, в 3,5—4 км выше устья р. Томтор, где среди позднепалеозойских лейкократовых гранитов сохранился ксенолит графит-биотитовых гнейсов с линзами мраморов лепицанской свиты, не отображающейся по своим размерам в масштабе карты. Сфалерит совместно с магнетитом приточен к линзе мраморов, почти полностью превращенных в тремолитовый скарн. Простижение линзы СВ 15°, падение на ЮВ под углом 50°. Мощность ее 1,5 м. Сфалерит и магнетит слагают многочисленные тонкие линзообразные скопления, ориентированные параллельно простианию линзы. Содержание сфалерита, по данным изучения полированных шлифов, составляет около 20%.

Свинцово-цинковые проявления

Проявление ключа Тастах-Макит (21) расположено на левом берегу р. Мальмальты, выше устья ключа Тастах-Макит. Среди тастахских гнейсов, вблизи контакта с позднепалеозойскими лейкократовыми гранитами, проходит зона гидротермально измененных пород. Простижение ее СЗ 350°, падение на ЗЮЗ под углом 75—80°. Мощность зоны 2,7 м. По простианию она переходит в кварцевую жилу мощ-

ностю 1,3 м без видимого оруденения. В гидротермально измененных гнейсах наблюдается мелкая рассеянная вкрапленность галенита, сфалерита, тирита и халькопирита. По данным опробования, содержание свинца не превышает 1%, а цинка 0,75%.

Проявление ключа Широкого (18) находится 1,5—2 км от устья на левом склоне долины. В позднепалеозойских лейкократовых гранитах отмечаются участки гидротермально измененных пиритизированных пород с мелкой вкрапленностью галенита, сфалерита, марказита и арсенопирита. По данным спектрального анализа штрафных проб, содержание свинца колеблется в пределах 0,01—0,1%, цинка 0,01—0,1% и молибдена 0,001—0,01%.

Нижнедешковое проявление (30) установлено в 10—11 км от устья в правом борту долины. Здесь обнажаются позднепалеозойские порфировидные граниты, среди которых проходит зона гидротермально измененных пород. Простирание зоны 105°, падение на юг под углом 85°. Мощность ее колеблется от 0,3 до 0,7 м, уменьшаясь на флангах до 7—10 см. Оруденение отмечается только в центральной части зоны на протяжении 8—10 м. Содержание сфалерита, по данным изучения полированых шлифов, определяется в 10—12% и галенита — в количестве единичных зерен на шлиф.

Мышьяк

Проявление мышьяка (6) известно в 4 км к западу от Умальтинского рудника, в верховьях ключа Медвежьего. Среди позднепалеозойских порфировидных биотитовых гранитов залегают кварцевые жилы с арсенопиритом, пиритом, халькопиритом и золотом мощностью от 4 до 8 см. Простижение жил близкое к меридиональному, падение на восток под углом 70—80°. Содержание мышьяка определяется в тысячных долях процента, золота 0,3—0,5 г/т.

Другое проявление мышьяка (24) установлено вблизи слияния Лев. и Прав. Бугора, где в песчаниках уссомахской свиты залегающих в них кварцевых прожилках мощностью до 15 см отмечается вкрапленность арсенопирита и пирита.

Благородные металлы

Золото

Россыпные месторождения золота в бассейнах рр. Иерохан и Большой Ерик известны с 1900 г. Золото добывалось по 23 ключам. В настоящее время почти все россыпи отработаны, за исключением россыпей по долинам рр. Иерохон и Большой Ерик, где старателями производится добыча золота гидравли-

ческим способом. В связи с тем, что россыпи в разное время были отработаны старателями и Нимано-Ургальским промышленным управлением без должной геологической службы, материалы по их строению и количеству добывого металла частично отсутствуют либо содержат неполные сведения. За весь период эксплуатации добыто 5—6 т золота (Воларович, 1959), однако эта цифра не отображает истинного количества, так как часть золота, добывого в дореволюционное время, в силу различных причин, не была учтена.

Все россыпи Иерохан-Ерикского района пойменные или долинные и расположены в сходной геологической обстановке. Они приурочены к центральной части Умальтинской синклинали, где отложения нижнего мела прорваны интрузиями раннемеловых диоритовых порфиритов. Ограниченным распространением пользуются песчано-галечниковые отложения дагаянской свиты верхнего мела, которые залегают на плоских водораздельных пространствах между притоками р. Большой Ерик. Рассыпь по р. Иерохан (62) находится в 7—8 км от устья. Ширина ее 60 м. Мощность аллювия колеблется от 3 до 4 м, при мощности песков 0,5—1 м. Золото мелкое, хорошо окатанное. Содержание его составляет 4 г/т. Точных данных о количестве добываемого металла нет. Известно лишь, что до 1948 г. добыто 35 кг золота, а за 1959 г. 25,713 кг.

Россыпь по р. Большой Ерик (32) расположена в 4 км ниже устья р. Седек. Она установлена по обеим сторонам долины, но эксплуатируется только на левой стороне. Длина россыпи более 2 км, при ширине порядка 60 м. Мощность аллювия в верхней части ее составляет 5—6 м, а в нижней — достигает 12 м, при мощности продуктивных песков 0,5—1 м. Плотиком являются углистые аргиллиты, зачастую пиритизированные, реже песчаники и диоритовые порфириты. Содержание золота в песках не постоянное и колеблется от 1,5 г в верхней части россыпи до 40 г/м³ в нижней. Золото слабоокатанное мелкое. Встречаются самородки весом 10, 12 г, очень редко — в 50 г. Общее количество добываемого из россыпи золота не известно. До 1948 г. добыча составила порядка 100 кг; за 1959 г. добыто 17,638 кг.

Сведения об отработанных и непромышленных россыпях сведены в табл. 4.

Редкие металлы

Олово

Россыпь кассiterита (45) установлена (Нелюбин, 1937) в долине р. Усмань, на участке от ее устья до устья р. Иппаты, а также в долине последней на протяжении 2—2,5 км. Здесь водоток размывает метаморфические сланцы самырской и аныкской толщи. Аллювий сложен песчано-галечниковым ма-

Таблица 4

Название россыпи и номер по карте	Год эксплуатации	Параметры, м		Мощность, м			Содержание золота, г/м³	Характеристика золота	Количество добываемого металла, кг	Способ отработки	Примечание
		длина	ширина	аллювия	торфов	песков					
Кл. Октябрьский (59)	Не известен	4500	От 30 до 60	3,5—5	3—4	0,5—1	От 4 до 15	Крупное окатанное	200	Мускульный	Встречались самородки весом до 20 г, реже 100 и 300 г
Ключ Ноябрьский (60)	То же	600	От 15 до 70	2, реже 4—5	0,2	0,5—0,7	От 15 до 50	Мелкое	300	То же	Золото распределено неравномерно; присутствует кассiterит с максимальным содержанием 40 г/м³
Ключ Сентябрьский (61)	" "	100—150	20	2—2,5	0,5	1,5	8	Нет данных	15	" "	В отвалах россыпи содержится касситерит в количестве 28,4 г/м³
Ключ Орловский (63)	1917	Нет данных	Нет данных	4,5—5	3,5—4	1	10	Крупное окатанное	150	" "	Встречались самородки весом в 10 г
Ключ Несчастный (65)	1925	То же	25	2,5—3	Нет данных	Нет данных	До 25	Крупное	150	" "	Встречались самородки
Ключ Александровский (64)	1915	2800	15—60	3—5	2—4	1	Нет данных	Средней крупности	200	" "	Среднее содержание золота неизвестно, наиболее богатые пробы давали 64,2 г/м³. Редко встречались самородки весом до 21 г

Река Алонжа (51)	Не известен	Нет данных	30—40	4—5	3—4	0,7—1	2	Мелкое окатанное	Данных нет	" "	
Ключ Ким-Салами (55)	То же	800	15—30	2	1—1,2	0,5—1	1—4	Слабоокатанное, средней крупности	То же	" "	
Ключ Томайский (46)	" "	Нет данных	20—30	5,5—4,5	3—4	0,4—0,8	3—4	Мелкое окатанное	" "	" "	
Ключ Правый Томайский (49)	" "	То же	40	35—4,5	3—4	0,6—0,8	Нет данных	Нет данных	" "	" "	
Ключ Левый Томайский (50)	" "	" "	40—50	Нет данных	Нет данных	0,6—1	То же	То же	" "	" "	
Ключ Майский (48)	1941	" "	Нет данных	1—2,5	1—1,5	1—1,5	До 15	Окатанное, средней крупности	50		Встречались самородки весом до 15 г
Ключ Аненский (47)	1925	" "	То же	3	2,5—2,7	0,35—0,7	Нет данных	Крупное, весзерен достигал 2 г	50	Мускульный	Данных о среднем содержании золота нет; известно, что артель в б человек ежедневно добывала 70—80, реже 255 г
Ключ Афанасьевск (34)	1910	" "	3—5	Нет данных	Нет данных	Нет данных	50	Крупное	450	То же	
Ключ Соколовский (36)	Не известен	" "	30—40	3—4	2,5—3,5	0,6—0,8	4	Мелкое окатанное	Нет данных	" "	

Продолжение табл. 4

Название рассыпей и номер на карте	Параметры, m	Мощность, m	Характеристика золота	Примечание	
				Содержание золота, g/m^3	Содержание сульфидов золота, kg/m^3
Ключ Разве- дочный (67)	Не из- вестен	Нет дан- ных	30—40	3,5—5	2,5—4
Ключ Эльга (68)	То же	Нет дан- ных	Нет дан- ных	Нет дан- ных	Нет дан- ных
Ключ Ерик (66)	“	“	То же	То же	0,1— —0,2
Ключ Уваль- ный (56)	“	“	“	2—2,5	2—2,5
Ключ Лагер- ный (57)	“	“	“	Нет дан- ных	Нет дан- ных
Ключ Нико- лаевский (52)	“	“	“	То же	То же
Ключ Нико- лаевский	“	“	“	“	“

Не промышленная

То же

Известно лишь, что
разведкой установлено непромышленное
золото

То же

териалом мощностью не менее 4 м. Крупная галька и валуны составляют около 60% аллювиальных отложений. Мощность оловоносного пласта 2 м. Среднее содержание кассiterита в долине р. Усмань равно 4,45 г/т, а по долине р. Иллаты 7,47 г/т. Геологические запасы оцениваются в 90 т кассiterита. Совместно с касситеритом, в россыпи присутствует вольфрамит, за-
пасы которого исчисляются в 18,5 т. Формирование россыпи связано с размывом Иплатинского олово-вольфрамового месторождения, расположенного к востоку от рассматриваемого района и оловоносных позднемеловых биотитовых гранитов, широко развитых в бассейне р. Усмань. Практического интереса россыпь не представляет.

Ореол рассеяния касситерита (31) установлен в аллювии верхнего течения р. Таства. Площадь ореола около 40 км². Он приурочен к контактовой зоне позднепалеозойских лейкократовых гранитов с гнейсами тастваской серии. Гнейсы в контакте с гранитами окварцеваны и пронизаны многочисленными тонкими кварцевыми прожилками, с которыми связан касситерит. Здесь в 40 шликах установлен касситерит в разрезе от единичных знаков до 98 зерен на шлих. Содержание его в среднем составляет 20—25 зерен. Касситерит встречается в виде обломков призм и неправильных угловатых обломков коричневого и желтого цвета с алмазным блеском и раковистым изломом. Размер зерен от пылевидных до 0,06 мм.

В шликах, кроме касситерита, отмечены флюорит, гематит, вольфрамит, шеелит, лирит. Кварцево-касситеритовый тип оруденения и незначительные содержания касситерита в шликах позволяют дать отрицательную оценку описанному ореолу.

В пределах этого ореола рассеяния известно проявление олова, расположенного на левом берегу ключа Таства-Макит, в 4 км от устья (25), где в гнейсах близ контакта с позднепалеозойскими лейкократовыми гранитами застегает кварцевая жила мощностью от 4 до 70 см. Простирание ее С3 310°, падение на северо-восток под углом 80°. В зальбандах жили вмещающие породы грейзенизированы. Содержание олова в них и в жиле составляет 0,02—0,04%.

Ореол рассеяния касситерита (71) в аллювии правых притоков р. Усмани и в нижнем течении р. Куранах является частью ореола, уходящего за пределы района к югу и востоку. Ореол приурочен к контакту метаморфических сланцев верхнего протерозоя с позднемеловыми оловоносными гранитами. Содержание касситерита в шликах низкое и не превышает 1 г/м³. Практического интереса ореол не представляет.

В пределах рассматриваемой площади шлиховым опробованием касситерит установлен в аллювии бассейнов рр. Усмани, Левого и Правого Усомаха, Таства, Мальмальты, Томтора, Нижнего и Верхнего Деша, Верх. Буренджи, Умальты и Большого Ерика. В аллювии этих рек и их многочисленных притоков

касситерит, как правило, отмечается в количестве от 1 до 20 зерен на шлих и только в некоторых случаях содержание его увеличивается. Так, в аллювии третьего левого притока р. Тас-тах содержание касситерита доходит до 100 зерен на шлих, а в золотоносной россыпи по кл. Ноябрьскому до 40 г/м³.

Проявление касситерита в бассейнах р. Усмань, Левого и Правого Уссомаха связано с поздненемеловыми гранитами. В бассейне р. Большой Ерик он выносится из песчано-галечниковых отложений пагаянской свиты. На всей остальной территории намечается связь касситерита с позднепалеозойскими лейко-кратовыми гранитами.

Вольфрам

Ореол рассеяния вольфрамита (44) зафиксирован в истоках р. Маган (правого притока р. Буреи). Приурочен он к контакту позднеловых биотитовых гранитов со сланцами аныкской толщи. Основная часть площади этого ореола расположена на смежной с востока территории, где содержание вольфрамита колеблется от нескольких до 100 зерен на шлих.

Шлиховым опробованием вольфрамит установлен в аллювии верхнего течения р. Тастах на площади рассеяния касситерита. Содержание его составляет 1—10 зерен на шлих и только в одной пробе достигает 0,3 г/м³. Кроме того, вольфрамит присутствует в аллювиальных россыпях касситерита в нижнем течении р. Усмань и в незначительном количестве отмечается в россыпях золота в бассейнах рр. Иерохан и Большой Ерик.

Очень широким распространением пользуется шеелит, наличие которого устанавливается в аллювии почти всех водотоков района, за исключением бассейнов рр. Нимакана, Большого и Малого Ерика. Содержание его в шлихах низкое и обычно составляет 10—15 зерен. Повышенные содержания шеелита фиксируются в аллювии рр. Томтор (до 100 зерен) и Бугор (50 зерен).

Молибден

Умальтинское месторождение (8) расположено на правом склоне долины р. Умальты, в 52 км от устья. Открыто оно в 1913 г. местными жителями. Разведка месторождения началась в 1928 г. (Хрушов, 1928), а с 1936 г. оно эксплуатируется. Рудное поле имеет длину 3 км при ширине в 300—500 м. Оно вытягивается в северо-восточном направлении параллельно линии контакта юры с позднепалеозойскими гранитами и приурочено к тектонической зоне, протягивающейся, вероятно, далеко на северо-восток и юго-запад. Контакт юры падает на северо-запад под углом от 15 до 45°.

Рудные тела представлены кварцевыми молибденитсодержащими жилами, залегающими среди гранитов близ контакта с горой, а так же и под пологим контактом последней. Отдельные рудные тела представлены зонами измененных гранитов мощностью до 1,5 м субогнитом содержанием молибдена.

Более 80% рудных тел являются слепыми. Максимальная часть жил имеет северо-восточное, близкое к меридиональному простирание и крутое (от 60 до 90°) падение на юго-восток. Редкие жилы характеризуются северо-западным, почти широтным простиранием с крутым (60—90°) падением на юго-восток. В отдельных случаях отмечаются более пологие углы падения (до 40—50°), а на участке «Новый» обнаружены жилы с углом падения 10—20°. Всего на месторождении выявлено 75 жил, из которых промышленными являются около 40. Длина их изменяется от 24 до 360 м, а протяженность по падению от 9 до 280 м, при общей глубине распространения оруденения до 360 м. Мощность жил непостоянная и колеблется от рудного шва в перекимах до 2 и даже 4—5 м в раздувах. В среднем она варьирует от 0,1 до 1 м.

Кроме перекимов и раздузов, рудные тела осложнены апофизами, разветвлениями и включают обломки гранитов. Они секутся многочисленными пострудными продольными и поперецными тектоническими нарушениями сбросо-сдвигового характера с амплитудой горизонтального перемещения до 50 м. Содержание молибдена в жилах колеблется от сотых долей процента до 8,35%, промышленные жилы характеризуются средним содержанием от 0,3 до 2,2%. Вещественный состав рудных тел довольно однообразен. Жильные минералы представлены кварцем трех генераций, в резко подчиненном количестве присутствуют кальцит, флюорит и мусковит, часто отмечаются обломки полевых шпатов и пластины биотита. Из рудных минералов фиксируются молибденит двух генераций, пирит, вольфрамит, арсенопирит, касситерит, сфалерит и галенит.

Рудные жилы расположены неравномерно и концентрируются на трех участках: «Центральном» (Черниговские жилы, Косая и др.), «Комсомольском» (жилы Комсомольская, № 25, 27, 29, 30, 32, 33, 34, 35 и др.) и «Новом» (жилы № 46, 49, 50 и др.). На первых двух участках все известные промышленные жилы отработаны и до 1 января 1962 г. добыча осуществлялась только на участке «Ново», расположенным на юго-западном фланге месторождения. В связи с отработкой, с 1 января 1962 г. рудник закрыт. Запасы по Умальтинскому месторождению на балансе не числятся. Всего за время отработки добыто 4622 т 51% молибденового концентрата.

Гидрогеологические условия месторождения сложные. Наибольшим распространением пользуются трещинные и трещинно-жильные напорные воды. Обводнение выработок начинается,

как правило, сразу же после вскрытия нижней границы многослойной мерзлоты. Приток волы в выработки достигает 83,3 л/сек.

По своему генетическому типу месторождение принадлежит к жильным гидротермальным месторождениям кварцево-молибденит-пиритовой формации. Возраст оруднения трактуется по-разному. Одни геологи (Онихимовский, 1951; Баранов, 1956; Гладких, 1956) считают его дайковым и связывают с заключительными этапами позднепалеозойского магматизма, другие (Хрущев, 1928; Ивантишин, 1935; Покалов, 1958) послегорским.

Старо-Умальтинский участок (11) расположен на левом склоне долины р. Старая Умальта, в 1,5 км от устья. Среди перемятых и раздробленных позднепалеозойских гранитов канавами, штольней и буровыми скважинами разведана жила хальцедоновидного кварца с мелкой вкрапленностью молибдена. Простирание жилы СВ 25°, падение на юго-восток под углом 85°. Мощность ее колеблется от нескольких сантиметров до 0,25 м. Среднее содержание молибдена 0,15%.

Участок V геофизического планшета (14) выявлен на правом берегу ключа Кладбищенского, в 2 км к востоку от Умальтинского месторождения. При проверке деловых ореолов рассеяния молибдена канавами были вскрыты позднепалеозойские граниты с четырьмя маломощными (от 0,1 до 0,6) зонами дробления, в которых отмечается редкая вкрапленность молибденита.

Участок VI геофизического планшета (12) находится на водоразделе ключей Старая Умальта и Огородный. Здесь известно три кварцево-молибденитовые жилы длиной 50, 70 и 90 м, мощностью от 3 до 30 см. Содержание молибдена в них варьирует от следов до 0,11%. Наряду с молибденитом, в жилах присутствует пирит и единичные кристаллы кассiterита, галенита и сфалерита.

Участок VII геофизического планшета (13) установлен на правом склоне долины ключа Кладбищенского, в 3,5 км от устья. Среди позднепалеозойских гранитов здесь проходит ряд зон дробления мощностью до 0,3 м с редкой вкрапленностью молибденита, галенита и сфалерита.

Участок Водораздельный (9) обнаружен по долине ключа Тихого, в одном километре от устья. В позднепалеозойских гранитах, недалеко от контакта с горой, канавами разведаны две кварцевые жилы с редкой вкрапленностью молибдена и пирита. Жилы простираются в направлении, близком к меридиональному. Длина их 185 и 40 м. Содержание молибдена колеблется от 0,05 до 0,20% и по отдельным пробам достигает 0,6%.

Участок г. Пыхти (5) расположен в 5,5 км западнее Умальтинского месторождения. В позднепалеозойских гранитах

на контакте с позднемеловыми диоритами и кварцевыми диоритами залегают тонкие (до 1,5 см) кварцевые прожилки с мелкой вкрапленностью и примазками молибденита по трещинкам. Разведка проявления с поверхности и на глубину дала отрицательные результаты.

Биранджинское месторождение (3) находится в верхней течении бассейна р. Верхней Буренджи. Здесь разбиты позднепалеозойские граниты, на размытой поверхности которых залегает верхнеэпиканская подсвита. Последняя прорвана позднемеловыми дайками гранит-порфиров. По своему генезису месторождение относится к типу гидротермальных, кварц-молибденит-пиритовой формации. Рудные тела представляют собой кварцевые жилы. Всего известно 19 жил, 13 из которых характеризуются небольшими размерами — длиной по простиранию в несколько десятков метров и мощностью до 25 см. Жилы сложены кварцем и в незначительном количестве кальцитом и флюоритом, рудные минералы — молибденит, пирит, халькопирит и арсенопирит. Месторождение состоит из 3 участков.

На западном участке (участок № 1) известно 14 жил, в том числе 5 жил сравнительно крупных: «Пионерская», «Новая» и 1, 2, 3. Жила «Пионерская» прослежена почти на 400 м, при средней мощности 0,65 м. Простирание ее СЗ 310°, падение на ЮЗ под углом 60—70°. Строение жилы осложнено апофизами и продольными тектоническими нарушениями. Среднее содержание молибдена равно 0,1%. На простирации этой жилы расположена жила «Новая», длина которой около 200 м, средняя мощность 2,3 м, содержание молибдена колеблется от тысячных долей до 0,09%. Жилы № 1, 2, 3 имеют длину по простиранию соответственно 200, 180 и 160 м, при средней мощности 0,6, 0,8 и 1 м. Содержание молибдена по единичным пробам не превышает 0,04% и только в одном случае достигает 0,12%. На Восточном участке (участок № 2) обнаружено 5 жил, имеющих почти меридиональное простирание (10—20°). Падают они на ЮВ под углом 60—65°. Наиболее крупная жила имеет длину 135 м, при мощности от десятков сантиметров до 1,4 м. Содержание молибдена не превышает 0,01%. На Южном участке (участок № 3) известно лишь 13 спекрометаллографических ореолов рассеяния молибдена, содержание которого в пробах составляет 0,01%.

Биранджинское месторождение изучено только с поверхности. Геологическая позиция его очень сходна с Умальтинским. Поэтому не исключается, что содержание молибдена с глубиной может увеличиться и, кроме того, могут быть выявлены стенные рудные тела. Геологические особенности Биранджинского месторождения не позволяют рассчитывать на выявление крупного промышленного объекта, принципиально отличающе-

госа по своим запасам от Умальтинского. Перспективные геологические запасы оцениваются в 400 т молибдена.

М а л ь м а л ь т и н с к о е р у д о п р о я в л е н и е (19) расположено на левом склоне долины р. Мальмальты, в 2 км выше устья р. Томтор. Среди позднепалеозойских лейкократовых гранитов сохранились небольшие ксенолиты гнейсов тастахской серии. Широким распространением здесь пользуются гидрогемальноизмененные граниты и гнейсы, вмещающие кварцевые жилы. По характеру залегания жилы делятся на три группы. К первой относятся жилы северо-западного простирания с крутым падением на северо-восток. Таких жил известно пять, длиной от 20 до 100 м, при средней мощности на поверхности от 0,2 до 2,6 м. На глубине 120 м жилы полностью выклиниваются.

Содержание молибдена в них не превышает 0,07%. Во вторую группу объединяются жилы почти широтного простирания с крутым падением на юг. Длина их не превышает 40—45 м, а мощность 0,4 м. Содержание молибдена низкое, не более 0,13%. Жилы третьей группы имеют так же почти широтное простирание, но пологое падение на юг. Длина их изменяется от 40 до 70 м, при мощности от 0,04 до 0,4 м. Содержание молибдена варьирует от сотых долей до 0,12%.

У с т ь - М а л ь м а л ь т и н с к о е р у д о п р о я в л е н и е (16) выявлено на правом склоне долины р. Мальмальты, в 10 км южнее Умальтинского месторождения. Оно находится вблизи контакта позднепалеозойских лейкократовых гранитов со среднедевонскими (?) отложениями. Через участок проявления почти в меридиональном направлении проходит зона брекчированных гидротермально измененных гранитов, падающая на восток. По простиранию она прослежена на 700 м, при мощности 20—25 м. В зоне содержатся линзы и прожилки кварца, иногда кальцита с редкой вкрашенностью молибдена, пирита, халькопирита, галенита и кассiterита. Опробование измененных гранитов показало содержание молибдена в тысячных долях процента.

В е р х н е д е ш с к о е п р о я в л е н и е (40) зафиксировано в бассейне среднего течения р. Верхний Деш. Оно представлено серией тонких кварцевых прожилков в позднепалеозойских порфириовидных биотитовых гранитах, претерпевших интенсивное гидротермальное изменение. Химическим анализом в кварцевых жилах и измененных гранитах установлен молибден в количестве тысячных и сотых долей процента, свинец до 1% и цинка не более 1%. Здесь же в правом борту долины, в 4,5 км от устья (39), обнаружены позднепалеозойские порфириовидные биотитовые граниты, которые секутся тонкими кварцевыми прожилками с редкой вкрашенностью молибдена.

П р о я в л е н и е к л ю ч а П е р е в а л ь н о г о (17) находится на левом склоне долины ключа, в 2,2 км от устья. Здесь

были выявлены свалы кварца с молибденитом. Детальными поисковыми работамирудного тела обнаружены не были.

П р о я в л е н и е у ч а с т к а «М а л ы й» (28) расположено на правом склоне долины р. Нижний Деш, в 20 км от устья. Среди поля развития позднепалеозойских порфириовидных биотитовых гранитов в делювии известны находки обломков окварцованных гранитов с тонкими прожилками кварца с молибденитом. Содержание молибдена не превышает 0,01%. При проведении детальных поисковых работ рудные тела не были обнаружены. Въше по течению, на водоразделе р. Нижний Деш и ключа Турмалинового (27), обнаружены обломки окварцованных гранитов с редкой мелкой вкрашенностью молибдена.

П р о я в л е н и е п о р . Н и ж н и й Д е ш (29) зафиксировано на правом берегу долины реки, в 12 км от устья. Позднепалеозойские порфириовидные биотитовые граниты здесь прорваны дайками гранит-порфиров мощностью от 25 до 75 см. Простираются они по азимуту 25°, падают на юго-восток под углом 15—12°. В гранит-порфирах отмечается редкая мелкая вкрашенность молибдена.

П р о я в л е н и е к л ю ч а В е с е л о г о (22) обнаружено вблизи его устья. Гнейсы тастахской серии содержат здесь множество кварцевых линз, ориентированных согласно простиранию гнейсов. Мощность линз 15—20 см. Сложенны они кварцем серого и серовато-белого цвета с вкрашенностью пирита, халькопирита и молибденита. Содержание молибдена составляет 0,01—0,07%.

П р о я в л е н и е к л ю ч а Т у р м а л и н о в о г о (26) расположено в верхнем течении долины ключа и приурочено к контакту позднепалеозойских лейкократовых гранитов с небольшим ксенолитом сланцев среднего (?) девона, не выделяющимся в масштабе карты. В последних отмечается угловая вкрашенность молибдена.

П р о я в л е н и е р . Б у г о р (23) находится на левом склоне долины, в 10 км от устья. В позднемеловых кварцевых склонах проходит зона дробленых хлоритизированных и эпидотизированных пород. Ширина зоны 1—1,5 м. Простирается она по азимуту 290°, падает на ЮЮЗ под углом 70°. Молибден отмечается в виде редкой вкрашенности и примазок по трещинам.

Спектрометрический ореол рассеяния (2) установлен на правобережье р. Верхняя Буренджа в пределах Бирондженского месторождения. Большая часть его находится на соседней с запада площади. Содержание молибдена в пробах колеблется от 0,001 до 0,1%. Шлиховым опробованием молибденит конституирован в валлюни рр. Умальты, Мальмальты, Нижнего Деша и Бугора в количестве 1—2 знаков на шлих.

Бериллий

Произведение бериллия (38) выявлено в правом борту долины р. Бурей. Оно приурочено к зоне нарушений в позднепалеозойских порфировидных биотитовых гранитах. Это нарушение простирается в северо-северо-восточном направлении и контролируется брекчированными обожженными гранитами с тонкими прожилками флюорита. Мощность зоны не превышает 1,5 м. Спектральный анализ штучных проб показал содержание бериллия от следов до 0,1%, олова до 1%, свинца и цинка до 1%.

Спектрометаллометрический ореол рассеяния (1) бериллия установлен в северо-западном углу рассматриваемой площади. Почти весь он находится на соседней с запада территории. Содержание бериллия в пробах достигает 0,01%.

Руть

Афанасьевское месторождение (33) расположено в бассейне верхнего течения р. Большой Ерик. Площадь его (Кохановская, 1956) сложена раннемеловыми диоритовыми порфиритами и мелкозернистыми песчаниками, алевролитами и аргиллитами Ургальской свиты. Диоритовые порфириты секутся пологопадающими ($25-40^{\circ}$) нарушениями почти меридионального простирания. На месторождении известно четыре рудные зоны (№ 1, 2, 3 и 4), сложенные гидротермально-измененными брекчированными диоритовыми порфиритами и осадочными породами. Рудные зоны № 1, 2 и 3 параллельно друг другу вытягиваются почти в меридиональном направлении и падают на запад под углом $25-40^{\circ}$. Рудная зона № 4 располагается к остальному под углом. Она простирается по азимуту 45° и падает на ЮВ под углом $75-80^{\circ}$. Оруденение локализуется на отдельных участках, сложенных тектоническими брекчиями. Рудная зона № 1 прослежена по простирианию на 110 м, при падении на 149 м, при средней мощности $7-8$ м. В пределах ее выделяется обогащенный участок, средняя мощность которого 0,75 м, а содержание ртути колеблется от 0,06 до 0,23%. По падению оруденение разубоживается, и на глубине 85 м содержание ртути не превышает 0,004%. Рудная зона № 2 установлена по простирианию на 125 м и при падении на 154 м. Здесь выделен обогащенный участок длиной 70 м, при средней мощности 1,27 м. Среднее содержание ртути составляет 0,27%. На глубине 120 м ртутная минерализация отсутствует. Рудная зона № 3 прослежена на 100 м, а при падении на 180 м, при средней мощности 12 м. В ее пределах выделяются пять обогащенных участков, представленных брекчиями, где киноварь пементирует обломки диоритовых порфиритов и осадочных пород или образует ветвящиеся прожилки и гнезда. Наиболее интен-

ресными являются три участка: Западный, Средний и Восточный, имеющие протяженность по простирианию соответственно 45–50, 40 и 15–20 м, а по падению 70, 30 и 30 м, при средней мощности 0,67, 1,1 и 1,0 м. Среднее содержание ртути по этим участкам соответственно составляет 0,297, 0,109 и 0,369%. С глубиной содержание резко уменьшается. Рудная зона № 4 прослежена по простирианию на 200 м. Содержание ртути в ней не превышает 0,04%. В ассоциации с киноварью, почти во всех пробах, отобранных из этой зоны, присутствует золото в количествах до 2,6 г/т.

В 500–600 м к югу от описанных зон канавами вскрыты незначительные по протяженности (10–15 м) и мощности (10–20 см) зоны окварцованных песчаников с тонкими прожилками, вкрашенностью и примазками киновари. Содержание ртути по этим зонам составляет 0,03%. Гидрогеологические условия месторождения удовлетворительные.

Афанасьевское месторождение генетически связано с раннемеловыми диоритовыми порфиритами и по своему генезису принадлежит к гидротермальным, низкотемпературным. Всего подсчитано запасов по категориям $C_1 + C_2$ 33,869 т, из них по C_1 27,719 т. Забалансовые запасы по $C_1 + C_2$ 8,047 т. Месторождение по своим запасам нетренированное.

Произведение киновари (54) установлено в междууречье Алонжа — Седея, где среди раннемеловых диоритовых порфиритов проходит система нарушений почти меридионального направления. Они контролируются брекчированными гидротермально-измененными породами с вкрашенностью сульфидов. Ширина зон гидротермальных изменений около 100 м. По простирианию она прослежена на 150 м. В бороздовых пробах спектральным и минералогическим анализами присутствие полезных компонентов не установлено. Из делювия были отобраны шлиховые пробы, в которых зафиксирована киноварь, с максимальным содержанием 90 зерен на пробу. В некоторых шлихах присутствует золото в количестве 1–2 знаков. Оно мелкое, пластинчатое.

Шлиховые ореолы рассеяния киновари установлены в аллювиевом верхнем течении р. Верхней Буренджи (4), по правым притокам ключа Хардагас (7), и по правому притоку р. Ургал (69). Содержание киновари обычно не превышает 10 зерен на 0,01 м³ промытой породы и только в бассейне правых притоков кл. Хардагас в аллювиальных и делювиальных отложений содержание ее увеличивается до 0,01 г на 0,01 м³ породы.

Сурьма

Произведение сурьмы (10) расположено на левобережье р. Умальты среди позднепалеозойских гранитов. В последних залегает жила халцедоновидного кварца мощностью

0,05—0,15 м с незначительным содержанием антимонита. В северном направлении, на простирации жилы, канавами вскрыта мощная зона перетертых гранитов, в которых заключены крупные обломки халцедоновидного кварца с богатым содержанием антимонита. В отдельных обломках содержание его достигает 50—60%.

НЕМЕТАЛЛИЧЕСКИЕ ИСКОПАЕМЫЕ

Графит

Лепиканское месторождение (70) находится в истоках р. Лепикан. Площадь его сложена графито-биотитовыми гнейсами с прослойми графитовых сланцев лепиканской свиты и приурочена к крылу синклинальной складки. Породы падают на СЗ 310°, под углом 60—70°. Пликативная структура осложнена разрывами северо-восточного простириания, по которым произошло опускание центральной части месторождения. Амплитуда перемещения определяется в несколько десятков метров. Здесь выявлены два пласта графито-биотитовых сланцев. Один имеет среднюю мощность 25 м и прослежен горными выработками и поисковыми маркируетами на 700 м. Среднее содержание графита по нему 25%. Другой пласт прослежен на 900 м. Средняя мощность его 25 м, содержание графита 30%. На глубину месторождение не изучалось. Перспективные запасы графита (Смирнов, 1951) оцениваются в 2500 тыс. т.

Строительные материалы

Умальтинское месторождение известняков (15) расположено на правобережье р. Умальты, в 4 км южнее Умальтинского рудника. Известники имеют условно среднелесовский возраст и залегают в оротовикованных песчаниках. Форма и мощность тела известняков не известна. Вероятнее всего они образуют небольшую линзу. Известники мраморизованы, темно-серого цвета, с прослойми белых и черных разновидностей. Химический состав их по одной пробе следующий: влага 0,19, полуторные окислы 2,22%, окись кальция 51,00%, кремнезем 1,64%, сульфаты 0,20%, п. п. 42,35%. Месторождение не разведано, запасы не подсчитаны. Оно эксплуатировалось для удовлетворения нужд Умальтинского рудника в известии.

Маломощные линзы мраморов известны в отложениях лепицканской свиты. Химический состав их следующий: влага 0,17%, полуторные окислы 3,21%, окись кальция 46,00%, окись магния 10,51%, кремнезема 3,48%, п. п. 38,58%. Они пригодны только для выжига известия, но виду незначительных размеров залежей практического интереса не представляют.

Территория листа М-53-II в поисковом отношении изучена довольно детально. Содержащиеся в сводной работе В. В. Оникиховского (1951) рекомендации по поискам месторождений полезных ископаемых к настоящему времени осуществлены. Помимо выявлены участок «Новый» Умальтинского молибденового месторождения и открыт ряд непромышленных проявлений в его окрестностях. Доказаны непромышленные масштабы Верхнедешского, Мальмальтинского и Усть-Мальмальтинского проявленияй молибдена. К числу непромышленных было отнесено и Афанасьевское месторождение ртути.

На площади выходов позднепалеозойских гранитов, к востоку и западу от Буреинского прогиба, проведены поисковые работы в м-бе 1:50 000, а район Умальтинского молибденового месторождения изучен в м-бе 1:10 000. Поисковые работы в м-бе 1:50 000 проведены также в бассейнах рр. Большии Ерик и Меркан, в окрестностях месторождений каменного угля, золота и ртути. Восточная часть района (бассейны рр. Мальмальты, Магана, Уссомаха и Усманы) опрошвана в м-бе 1:100 000 и 1:200 000, а бассейн р. Нимакан охвачен поисками м-ба 1:200 000. Кроме того, площадь листа покрыта аэромагнитной съемкой м-ба 1:200 000. Наибольшие значения интенсивности магнитного поля (200—1 000 гамм) отмечаются над выходами диабазовых порфиритов, эпилот-хлоритовых и эпилот-актинолитовых сланцев маганскои свиты и ортуцкой толщи. Раннемеловые интрузии также характеризуются положительными значениями магнитного поля (100—1 000 гамм). Над остальными стратифицирующимися и интрузивными образованиями отмечаются слабовыраженные положительные (до 50 гамм), либо отрицательные (до 50 гамм) показатели магнитного поля. Проявления магнетитовых руд, из-за незначительных размеров, на аэромагнитной карте не выделяются.

В результате проведения поисковых работ, металлогеническая специализация района выделяется довольно определенно. Основными металлами являются молибден, золото и ртуть. Магнетитовые руды, свинец, цинк, мышьяк, сурьма, бериллий, олово и вольфрам промыслового интереса не представляют. Несмотря на большое количество проявлений молибдена на рассматриваемой территории, продолжение поисковых работ на молибден нецелесообразно, так как, исходя из дагорского возраста молибденового оруденения до 1956 г. была опрошвана вся площадь развития позднепалеозойских гранитондов. Эти работы не дали положительных результатов. Если считать возможст оруденения послегорским, то, по рекомендации А. П. Кисса (1958 г.), не исключено выявление новых рудных тел на флангах Умальтинского месторождения и к югу от него, вдоль восточной окраины Буреинского прогиба. Однако обнаружение новых богатых рудных тел, способных в корне изменить существование сырьевой базы, мало вероятно. Тем более, что большинство

рудных тел на Умальтинском месторождении являются слепыми, характеризуются небольшими параметрами и для поисков их необходимо затратить большой объем дорогостоящего механического бурения.

Наиболее перспективной рассматривается территория выявленная в отношении поисков месторождений золота. Проведенные группой Г. П. Волоровича (1959) поиски коренного золота на Иерохан-Ерикском рудном поле привели к весьма положительным результатам. Золото здесь было выявлено в деловиальных отложениях, метасоматических кварцитах и в наибольших количествах (до 7–8 г/т) в брекчированных, ожелезненных породах, богатых жильным кварцем. По Г. П. Волоровичу, золото в бассейне р. Большая Ерик и Иерохан связано с разрушением множества малоносных коротких кварцевых жил и прожилков, приуроченных к тектоническим зонам восток-северо-восточного простирания в месте пересечения их с нарушениями другого направления. Сходство геологического и металлогенической обстановки Буреинской депрессии с мезозойскими депрессиями Восточного Забайкалья позволило Г. П. Волоровичу высказать соображение о возможности выявления в данном районе коренных месторождений золота балейского типа.

Как показали работы М. Т. Турбина (1961) и С. С. Дарбина (1961), плодородия метаморфических сланцев саяно-мырской и аныской толщи должна быть перспективной для поисков россыпных месторождений золота. Ввиду неблагоприятных условий для отбора шлиховых проб в поле развития этих свит, золото на территории листа М-53-II, вероятно, было прощено.

Перспективы для выявления промышленных месторождений ртути в районе отсутствуют. Единственный ореол рассеянного киновари по правому притоку р. Урал, на котором детальные поиски не проводились, в силу неблагоприятной геологической обстановки и низких содержаний киновари в шлихах, не может быть рекомендован в качестве объекта для постановки поисково-разведочных работ.

В связи с низким содержанием угленосными отложениями возможно открытие новых месторождений каменного угля, аналогичных Усть-Умальтинскому и Олонжинскому, а площадь распространения лепиканской и самырской свит является перспективной в отношении поисков месторождений графита.

Для выявления перспектив нефтегазоносности юрских отложений был произведен люминесцентно-битуминологический анализ 12 образцов, отобранных из умальтинской, эпиканской и эльгинской свит. Во всех образцах установлено присутствие битума нефтяного типа, окисленного в приповерхностных условиях. Максимальное содержание битума — 0,04% (9 баллов) отмечается в глинистых песчаниках нижнезельгинской подсвиты. Общая пористость пород низкая и колеблется от 1,13 до 7,20%,

они практически непроницаемые. Юрские и нижненемеловые породы собраны в пологие синклинальные и антиклинальные складки, в них имеются ловушки типа "выклинивания" слоев у подножий фундамента прогиба. Однако отсутствие в пределах Буреинского прогиба прямых признаков проявления нефтегазоносности, низкая пористость и проницаемость пород не позволяют высказать положительных рекомендаций по поискам месторождений нефти и газа в пределах Буреинского прогиба. По И. И. Молчанову и А. В. Тыжнову (1961), месторождения нефти и газа локализуются в отложениях, где степень метаморфизма углей ниже стадии газовых.

ПОДЗЕМНЫЕ ВОДЫ

В связи с широким развитием многолетней мерзлоты, подземные воды района подразделяются на надмерзлотные, межмерзлотные и подмерзлотные.

Надмерзлотные воды распространены почти повсеместно и в зависимости от времени года находятся в твердом или жидком состоянии. Они залегают в аллювиальных и деловиальных отложениях, а также в верхней части трещиноватых коренных пород. Водоупором этого горизонта является довольно мощная (35–40 м) толща мерзлых грунтов. В деловиальных отложениях, на склонах водоразделов, этот горизонт развит неповсеместно и имеет весьма малую мощность. Питание его происходит за счет атмосферных осадков. Выходы деловиальных вод наблюдались у подножия сопок в виде нисходящих источников с небольшим лебитом.

Аллювиальные воды приурочены к долинам всех рек и крупных ключей района. В аллювиальных отложениях, представленных валунногалечниковым материалом с примесью песка и супеси, происходит накопление значительных запасов воды. Гидратация их в летний период осуществляется атмосферными осадками, а зимой за счет подмерзлотных вод, проникающих через таликовые окна. О водобильности этого горизонта можно судить по данным опытных откачек, проведенных в долине р. Умальты. В колодце пос. Умальтина рудника при понижении уровня воды на 0,75 м лебит составил 19,96 л/сек. Здесь же при откачке из двух шурfov при понижении уровня на 0,13 и 1,2 м лебит равнялся 0,5 и 16,6 л/сек. Коэффициент фильтрации аллювиальных отложений р. Умальты равен 35,0 м/сутки. Суровые климатические условия вызывают промерзание верхней части рыхлых отложений на глубину от 0,8 до 3,5 м, что приводит к образованию в аллювиальных отложениях временного напорного водоносного горизонта, величина напора которого достигает одного метра.

Как показали режимные наблюдения, уровень аллювиальных вод в колодцах пос. Умальтина рудника изменяется следую-

шим образом: минимальные уровни приурочены к марта, затем начинается медленное повышение их за счет таяния снегов. В конце мая, с началом весенне-летних дождей, уровень все время меняется, следуя за горизонтом воды в реке, с той лишь разницей, что кривая подъема и спада воды в реке имеет резкие максимумы и минимумы, а для аллювиальных вод она более стяжена.

Речные воды характеризуются сухим остатком 140—164 мг/л, общая жесткость 0,75 мг/экв. Они отличаются небольшой минерализацией и могут быть использованы для целей питьевого и технического водоснабжения. Надмерзлотные воды по своему химическому составу очень близки к речным водам. В них отмечается более высокое содержание хлора и щелочных металлов. По своему составу они могут быть отнесены к гидрокарбонатно-кальциевым.

Межмерзлотные воды встречаются внутри толщи мерзлых грунтов. Они имеют локальное распространение и залегают в виде линз и отдельных прослоев как в твердой, так и в жидкой фазах. На Умальтинском молибденовом месторождении эти воды были вскрыты только геенком № 2. Межмерзлотные воды горными выработками были вскрыты и на Олонжинском месторождении, где дебит их составлял 5—20 л/сек. Других проявлений этих вод на отсыпываемой территории пока не известно, но наличие их в других местах вполне вероятно. Эти воды, вследствие незначительной водообильности и локального характера распространения, практического значения не имеют.

Подмерзлотные воды залегают ниже слоя мерзлых грунтов в трещинах коренных пород. По характеру циркуляции они разделяются на трещинные и трещинно-жильные. Особенно водообильными являются граниты в местах интенсивной трещиноватости. На Умальтинском месторождении обводнение выработок, как правило, начинается сразу же после вскрытия нижней границы многолетней мерзлоты, причем по отдельным выработкам при их затоплении уровень воды поднимается на 30—35 м выше горизонта первоначального появления воды. Последнее обстоятельство указывает на напорный характер вод подмерзлотного горизонта. Подмерзлотный водоносный горизонт довольно водообильный. Приток воды в выработки Умальтинского месторождения за 1955 г. составил в среднем 83,3 л/сек.

Для определения водопроводимости, вычисленный по формуле гающих к ней гранитов на Умальтинском месторождении был произведен опыты нагнетания в скважину № 30 (гидрогеологическую).

Коэффициент водопроводимости, вычисленный по формуле

Шеэзи, равен 1,26 м/сутки.

Сравнительно водообильными являются пресноводно-конгигентальные угленосные отложения. На Усть-Умальтинском каменноугольном месторождении при проходке квершлага на

пласти «Крутой» была подсечена трещина с напорной водой с притоком до 5,5 л/сек. Приток воды по штолне на горизонте 367 м в июле—сентябре 1960 г. составлял 1,4—2,2 л/сек. В зимнее время приток воды здесь отсутствует. На горизонте 337 м приток воды в штолне достигает 27,7 л/сек и происходит круглый год (несколько снижается зимой). На Олонжинском каменноугольном месторождении ниже толщи многолетней мерзлоты горными выработками были вскрыты напорные воды с величиной напора 0,2—5 м над первоначальным горизонтом появления воды.

Питание подмерзлотного водоносного горизонта происходит за счет атмосферных осадков, проникающих через таликовые окна в слое многолетней мерзлоты, причем связь между дебитом этого горизонта и количеством выпадающих осадков проявляется с опозданием на полтора-два месяца.

Подмерзлотные воды отличаются сравнительно повышенной жесткостью (от 1,08 до 2,25 мг/экв) и высоким содержанием кальция (от 20 до 36,5 мг/л). Минерализация их достигает до 190 мг/л. По химическому составу подмерзлотные воды относятся к гидрокарбонатно-кальциевым. Они успешно используются для водоснабжения промышленных предприятий Верхнебуреинского района.

Шмидт Ф. Б. Труды Сибирской экспедиции. Русск. географ. общ. физич. отд., т. 1. Ист. отчеты о физико-геогр. исследованиях. Спб. 1868.

Фондовая (хранится в ДВГУ)

- Баранов А. Ф. Отчет о геологосъемочных и поисковых работах на правобережье р. Бирей, между пр. Тасгах и Нижним Деп. 1955.
- Баранов А. Ф. Отчет о геологосъемочных и поисковых работах в районе Умальтинского молибденового месторождения. 1956.
- Билян И. К., Сигов В. Ф. Объяснительная записка к листам М-53-4-А, М-53-4-В и М-53-6-А. 1957.
- Брагинский С. М. Объяснительная записка к геологической карте М-53-VII. 1961.
- Башевич Л. Ф. Материалы для изучения Амурского края в геологическом и горно-промышленном отношении. Спб. 1894.
- Вахрамеев В. А. Стратиграфия юрских и нижнемеловых континентальных отложений Восточной Сибири и Дальнего Востока по данным палеоботаники. «Сов. геология», 1960, № 7.
- Вахрамеев В. А., Долуденко М. П. Верхнегорская и нижнемеловая флора Буренского бассейна и ее значение для стратиграфии. Издво АН СССР, 1961.
- Воронец Н. С. Предварительные данные для стратиграфии морских отложений Буренского бассейна на основании фауны. (Мат. по геол. Буренского бассейна. Тр. ИМС, вып. 106, 1956.)
- Воронец Н. С. Фауна морского мезозоя Буренского бассейна. (Мат. по геол. Буренского бассейна. Тр. ИМС, вып. 123, 1957.)
- Давыдов Т. Н., Гольдштейн Ц. Л. Литологические исследования в Буренском бассейне. Гостехиздат, 1949.
- Кропоткин П. Н., Шархвастова К. Г., Салуц С. А. Материалы по геологии, магматизму и рудным месторождениям Дальнего Востока и Забайкалья. Т. II. Изд-во АН СССР, 1953.
- Крымгольц Г. Я. Материалы по стратиграфии морской юры р. Бурен. (Пр. ПНИГИ, вып. 117, 1939.)
- Молчанов И. И., Тыжнов А. В. Ранний метаморфизм осадочных пород и его значение для поисков горючих ископаемых. «Разведка и охрана недр», 1961, № 5.
- Мидлендорф А. Ф. Путешествие на север и восток Сибири в 1844—1845 гг., часть 1, отл. 2. Спб. 1860—1878.
- Покалов В. Т. Структура, возраст и окологлиняные изменения Умальтинского молибденового месторождения. Сов. геология № 3, 1958.
- Придана В. Д. Некоторые данные по вопросу стратиграфии угленосных отложений Буренского бассейна. Мат. по геол. Буренского бассейна. Труды ИМС, вып. 106, 1936.
- Придана В. Д. О возрасте флоры угленосных отложений бассейна р. Бурен. Сов. геология № 10, 1940.
- Скоропад В. З. Геологический очерк угленосного Буренского бассейна. Труды ДВГТ, вып. 63, 1935.
- Херасков Н. Г., Давыдов Т. Н., Крашенников Г. Ф., Пенинский Д. Д. Геология Буренского угольного бассейна. Труды ИМС, вып. 149, 1939.
- Шастакий Н. С., Давыдов Т. Н. Презентативные итоги работ в Буренском бассейне в 1934 г. (Мат. по геол. Буренского бассейна. Тр. ИМС вып. 106, 1936.)
- Шастакий Н. С., Давыдов Т. Н. О мезозое северной части Буренского бассейна. (Мат. по геол. Буренского бассейна. Тр. ИМС, вып. 123, 1937.)
- Боларович Г. П., Николаев С. С., Пономарев Е. А., Михайлов Ю. М., Федосова В. Г. Золотоносность Верхне-Буренской области (отчет Приморской комплексной партии за 1958 г.), 1959.
- Гладких Н. В. Полдючт запасов Умальтинского месторождения моделирована на 1 октября 1955 г. (Объяснительная записка, т. 1.)
- Дарбинян С. С., Костоян С. Г. Сводный отчет о геологических исследованиях на листе М-53-VIII. 1961.
- Дыренко В. А. Объяснительная записка к геологической карте листа М-53-I. 1961.
- Ивантишин М. Н. Отчет о результатах работ Верхне-Буренской геологописьковой партии за 1934 г. 1935.
- Кирilloв А. А., Золотов М. Г., Шымбаз В. М. Геологическое строение Акишма-Ниманского водораздела. (Отчет Верхне-Ниманской партии за 1942 год). 1943.
- Кисел А. П. Заключение о перспективах расширения сырьевой базы Умальтинского молибденового рудника и дальнейших работ на ближайших к нему молибденовых месторождениях. 1958.
- Клошанов А. Н. Отчет о работах Мальмальтинской партии в 1941 г. 1942.
- Кохановская З. Л., Кохановский М. Ф., Грейскоп В. В. Счет о геологоразведочных работах на Афанасьевском ртутном месторождении. 1956.
- Лазарев А. З., Ондимовский В. В., Раков Н. А. Материалы по геологии золотоносных областей Дальнего Востока (Нимано-Ургальский и Кербинский районы). 1948.
- Малышев Б. Г. Отчет о геологописьковых работах в окрестностях Умальтинского молибденового месторождения в 1941 г. 1942.
- Материиков М. П. Отчет о работах Иерохан-Софийской поисковоревизионной партии на прислах Иерохан и Ивановском в 1940 г. 1941.
- Нелюбина А. С., Смирнов Н. А., Чернышев Р. П. Отчет о работах Буренской экспедиции по редким металлам в 1936 г. 1937.
- Онихимовский В. В. Геология и металлогенesis Верхне-Буренского района. 1948.
- Онихимовский В. В. Геологический очерк Верхне-Буренского рудного района. 1951.
- Пестов Ю. А. Отчет о геологосъемочных и поисковых работах на площади листа М-53-2-Б и западной части листа М-53-3-А, 1957.
- Политиков М. И., Диленко С. И. Отчет о результатах аэромагнитной съемки м-ба 1:200 000 на территории Хабаровского края и Амурской области, проведенной в 1958 г. 1959.
- Рекунов Л. М. Формитат А. П. Отчет о геологической съемке и предварительной разведке Усть-Умальтинского молибденового месторождения, проведенных в 1941 г. 1942.
- Руднева А. Д., Шамзян Ф. П. Отчет о результатах поисково-разведочных работ на молибден, проведенных в бассейне Верховьев р. Верх. Бирюдинки в 1957 г. 1958.

Савинский М. Л. Отчет о геологополисковых работах Чекундинской партии, проведенных в Чекундинском районе Бурейского угленосного бассейна в 1935 г. 1936.

Сальников А. А. Геологические исследования, проведенные в Олонежинском районе Бурейского каменноугольного бассейна в 1935 г. 1936.

Сей И. И. Гоморфология и рыхлые отложения Бурейской и Тырминской депрессии. 1958.

Сей И. И., Мусин В. П. Материалы по геологии бассейнов рр. Ниман и Оголжа. 1959.

Сигов В. Ф. Геологическое строение восточной части листа М-53-II, 1960.

Сигов В. Ф., Иванов А. П., Котровский В. В. Геологическое строение западной части листа М-53-II. 1961.

Сидorenko З. В. Отчет о работах Умальтинской партии, проведенных в бассейнах рр. Умальты и среднего течения Нимана в 1935 г. 1936.

Скородол В. З. К стратиграфии и тектонике Бурейского каменноугольного бассейна. 1932.

Смирнов Н. Ф. Кудрина П. П. Отчет о поисково-съемочных работах, проведенных на побережье р. Бури, между рр. Эпикан, Саганар и Амбардах в 1950 г. 1951.

Смирнов Н. Ф., Кудрина П. П. Отчет о поисково-съемочных работах, произведенных на правобережье р. Бури в бассейнах рр. Нижний и Верхний Деш в 1951 г. 1952.

Смирнов Н. Ф., Кудрина П. П. Отчет о поисково-разведочных работах на молибден, проведенных в окрестностях Умальтинского месторождения в 1952—1953 гг. 1954.

Сухов В. И. Объяснительная записка в геологической карте листа М-53-XII. 1960.

Тоноян Р. М., Мамонтов Ю. А. Геологическое строение бассейна среднего и верхнего течения р. Нимакана и части бассейна рр. Ниман и Акишма. 1956.

Тоноян Р. М. Объяснительная записка к геологической карте листа N-53-XXXII. 1959.

Толстов В. Е. О предварительной разведке участков № 1 и № 2 Олонежского каменноугольного месторождения Бурейского бассейна в Хабаровском крае. 1951.

Турбин М. Т. Геологическое строение листа М-53-II. (Сводный отчет по работам Дуссе-Алинской партии за 1958—1960 гг.)

Хохлов Э. П. Геологическое строение между речью Бури и Керби. 1958.

Хрушев Н. А. Краткий отчет Умальтинской геологополисковой партии. 1928.

Шапошников Е. Я., Красянская Е. Е., Малков П. Г. Месторождения строительных материалов Хабаровского края, Амурской и Сахалинской областей. 1958.

Штемпель Б. М. Геологические исследования, проведенные в Бурейском бассейне в 1932 г.

Чернышев В. В. Отчет о геологополисковых и разведочных работах за 1941 г., проведенных в окрестностях Умальтинского месторождения молибдена и в среднем течении р. Верхней Деш Верхне-Бурейского района Хабаровского края. 1942.

ПРИЛОЖЕНИЕ 1

СПИСОК МАТЕРИАЛОВ, ИСПОЛЬЗОВАННЫХ ДЛЯ СОСТАВЛЕНИЯ

КАРТЫ ПОЛЕЗНЫХ ИСКОПАЕМЫХ

№ п.п.	Фамилия и инициалы автора	Название работы	Год со- ставле- ния или издания	Местонахожде- ние, его фондо- вый № или место хранения
1	Баранов А. Ф.	Отчет о геологосъемочных и поисковых работах, проведенных на правобережье р. Бури, между рр. Тастах и Ник. Деш в 1954 г.	1955	Рукопись, фонды ДВГУ, 4663
2	Баранов А. Ф.	Отчет о геологосъемочных и поисковых работах, произведенных в Умальтинском молибденовом месторождении	1956	Рукопись, фонды ДВГУ, 05008
3	Билан И. К., Сигов В. Ф.	Объяснительная записка к листам М-53-4-A, М-53-4-B и М-53-16-A	1957	Рукопись, фонды ДВГУ, 1180
4	Гладких Н. В.	Подсчет запасов Умальтинского месторождения молибденита на 1 октября 1955 г. (Объяснит. зап., т. 1.)	1956	Рукопись, фонды ДВГУ, 5120
5	Иваншин М. Н.	Отчет о результатах работ Верхне-Бурейской геологополисковой партии за 1934 г.	1935	Рукопись, фонды ДВГУ, 2994
6	Кисел А. П.	Заключение о перспективах расширения сырьевой базы Умальтинского молибденового рудника и дальнейших работах на близайших к нему молибденовых месторождениях	1958	Рукопись, фонды ДВГУ, 07759
7	Клоцанов А. Н.	Отчет о работах Мальтийской партии 1941 г.	1942	Рукопись, фонды ДВГУ, 1605
8	Кочетовский З. Л., Кохановский М. Ф., Грейскол В. В.	Отчет о геологоразведочных работах на Афансьевском ртутном месторождении	1956	Рукопись, фонды ДВГУ, 4954

Продолжение прил.к. I

<i>Продолжение прил.к. I</i>			
п. н. №	Фамилия и инициалы автора	Название работы	Год со- ставле- ния или издания
п. н. №	Фамилия и инициалы автора	Название работы	Год со- ставле- ния или издания
9	Лазарев А. З., Онихимовский В. В., Раков Н. А.	Материалы по геоло- гии золотоносных обла- стей Дальнего Востока (Нимано-Уральский и Керблинский районы)	1948 Рукопись, фонды ДВГУ, 2268
10	Материиков М. П.	Отчет о работах Иеро- хан-Софийской поисково- разведочной партии на присках Иерохан и Ива- новском в 1940 г.	1941 Рукопись, фонды ДВГУ, 1595
11	Нельюбин А. С., Смирнов Н. А., Чернышев Р. П.	Отчет о работах Бу- реинской экспедиции по рудникам металлов в 1936 г.	1937 Рукопись, фонды ДВГУ, 1445
12	Пестров Ю. А.	Отчет о геологическом и поисковых работах на площади листа М-53-2-Б и западной ча- сти листа М-53-3-А	1957 Рукопись, фонды ДВГУ, 01183
13	Рекунов Л. М., Формигат А. П.	Отчет о геологической съемке и предварительной разведке Усть-Умаль- тинского каменноуголь- ного месторождения в 1941 г.	1942 Рукопись, фонды ДВГУ, 03635
14	Руднева А. Д., Шаммлян Ф. П.	Отчет о результатах поисково-разведочных работ на молибден в бас- сейне Верховьев р. Верх. Биранджи, проведенных в 1957 г.	1958 Рукопись, фонды ДВГУ, 6284
15	Сальников А. А.	Геологические исследо- вания, проведенные в Олонжинском районе Бу- реинского каменноуголь- ного бассейна в 1935 г.	1936 Рукопись, фонды ДВГУ, 02707
16	Сигов В. Ф.	Геологическое строе- ние восточной части ли- ста М-53-11	1960 Рукопись, фонды ДВГУ, 03356
17	Сигов В. Ф., Иванов А. П., Котровский В. В.	Геологическое строе- ние западной части ли- ста М-53-11	1961 Рукопись, фонды ДВГУ, 08779
18	Сидоренко З. В.	Отчет о работах Умаль- тинской партии в бассей- нах рек Умальты и сред- него течения Нимана в 1935 г.	1936 Рукопись, фонды ДВГУ,
19	Скорородол. В. З.	К стратиграфии и тек- тонике Буреинского ка- менноугольного бассейна	1932 Рукопись, фонды ДВГУ, 569
20	Смирнов Н. Ф., Кудрина П. Г.	Отчет о поисково-съе- мочных работах на пра- вобережье р. Буреи, между рр. Эликан, Саганар и Амбарлах в 1950 г.	1951 Рукопись, фонды ДВГУ, 3756
21	Смирнов Н. Ф., Кудрина П. Г.	Отчет о поисково-съе- мочных работах на пра- вобережье р. Буреи, в бассейне рек Ниж. и Берх. Деш в 1951 г.	1952 Рукопись, фонды ДВГУ, 4307
22	Смирнов Н. Ф., Кудрина П. Г.	Отчет о поисково-раз- ведочных работах на мо- либден в окрестностях Умальтинского место- рождения, проведенных в 1952—1953 г.	1954 Рукопись, фонды ДВГУ, 4361
23	Толстов В. Е.	О предварительной раз- ведке участков №№ 1 и 2 Олонжинского каменно- угольного месторожде- ния Буреинского бассей- на в Хабаровском крае	1951 Рукопись, фонды ДВГУ, 03344
24	Тоноян Р. М., Мамонтов Ю. А.	Геологическое строе- ние бассейна среднего и верхнего течения р. Ни- мана и части бассейна рр. Ниман и Акишма	1956 Рукопись, фонды ДВГУ, 05015

Продолжение прил.к. I

Продолжение прилозе. I

СПИСОК ПРОМЫШЛЕННЫХ МЕСТОРОЖДЕНИЙ ПОЛЕЗНЫХ ИСКОПАЕМЫХ, ПОКАЗАННЫХ НА ЛИСТЕ М-53-II КАРТЫ ПОЛЕЗНЫХ ИСКОПАЕМЫХ МАСШТАБА 1:200 000

п. н. №	Фамилия и инициалы автора	Название работ	Год со- ставле- ния или издания	Наименование места- рождения и вид полез- ного ископаемого				Состояние эксплуатации	Номер ис- пользован- ного мате- риала по списку (при- ложение 1)	
				Индекс клетки на карте	Номер карты	Наименование места- рождения и вид полез- ного ископаемого	Состояние эксплуатации			
26	Шатошников Е. Я., Краинская Е. Е., Малков П. Г.	Месторождения стро- ительных материалов Ха- баровского края, Амур- ской и Сахалинской обл.	1958	Рукопись, фонды ДВГУ, 1721	37	III-2	Усть-Умальгинское	Не эксплуатиру- ется, закрыто с 1 января 1962 г.	K	13
27	Чернышев В. В.	Отчет о геологопоиско- вых и разведочных ра- ботах в 1941 г. в окрест- ностях Умальгинского месторождения Молибде- ниита и в среднем тече- нии р. Верхн. Деш Веерх- не-Буренского района Ха- баровского края	1942	Рукопись, фонды ДВГУ, 1634	58	IV-1	Олонжинское	Не эксплуати- руется	K	15, 23
Металлические ископаемые										
64	IV-1	Ключ Александровский	Отработано		P					
51	IV-1	Река Алонжка	То же		P					
47	III-1	Ключ Аненский	"		P					
34	III-1	Ключ Афанасьевский	"		P					
32	III-1	Река Бол. Ерик	Эксплуатируется		P					
62	IV-1	Река Иерохан	То же		P					
55	IV-1	Ключ Ким-Салали	Отработано		P					
50	IV-1	Ключ Лев. Томайский	То же		P					
48	IV-1	Ключ Майский	"		P					
65	IV-1	Ключ Несчастный	"		P					
60	IV-1	Ключ Ноябрьский	"		P					

Продолжение прилож. 2

СПИСОК НЕПРОМЫШЛЕННЫХ МЕСТОРОЖДЕНИЙ ПОЛЕЗНЫХ ИСКОПАЕМЫХ, ПОКАЗАННЫХ НА ЛИСТЕ M-53-II КАРТЫ ПОЛЕЗНЫХ ИСКОПАЕМЫХ МАСШТАБА 1 : 200 000

№ на карте	Индекс клетки на карте	Наименование места рождения и вид полезного ископаемого	Состояние эксплуатации	Тип месторождения (К—коренное, Р—россыпное)		Номер используемого материала по списку (приложение 1)
				Р	Р	
59	IV-1	Сл. Октябрьский	Отработано	Р	9, 10	
63	IV-1	Ключ Орловский	"	Р	9, 10	

49	IV-1	Ключ Томайский	"	P	9, 10
61	IV-1	Ключ Сентябрьский	"	P	9, 10
36	III-1	Ключ Соколовский	"	P	9, 10
46	IV-1	Ключ Томайский	"	P	9, 10
<i>М о л и б д е н</i>					
	Отработано и за- крыто с 1 января 1962 г.				
		K	4, 6		

Строительные материалы	Известник	Умальтинское	15
		<p>Эксплуатация прекращена в связи с закры- тием Умальтин- ского рудника</p>	I-3
К	26		

Металлические ископаемые

		Золото		
		Ключ	Лагерный	Не эксплуати- руется
45	III-4	Река Усмань		P 9, 10
66	IV-1	Река Мал. Ерик		P 9
52	IV-1	Ключ Николаевский		P 9
53	IV-1	"	"	P 9
67	IV-2	Ключ Разведочный	"	P 9
56	IV-1	Ключ Увальный	"	P 9
68	IV-2	Река Эльга	"	P 9
		Олово		
		Не эксплуати- руется	P	P 9

Строительные материалы
Известник

ИЗБЕЧИЯ

Умальгинское
К 1-3
15

Эксплуатация
прекращена
в связи с закры-
тием Умальгин-
ского рудника

Неметаллические ископаемые

ГРАФИТ

ПРИЛОЖЕНИЕ 4

СПИСОК ПРОЯВЛЕНИЙ ПОЛЕЗНЫХ ИСКОПАЕМЫХ,
ПОКАЗАННЫХ НА ЛИСТЕ М-53-II КАРТЫ ПОЛЕЗНЫХ ИСКОПАЕМЫХ
МАСШТАБА 1:200 000

№ по карте

Индекс на карте

Наименование (место-
нахождение), проявле-
ния и вид полезного
ископаемого

№ использо-
ванного мате-
риала по списку
(приложение 1)

№ по карте

Индекс на карте

Наименование (место-
нахождение), проявле-
ния и вид полезного
ископаемого

№ использо-
ванного мате-
риала по списку
(приложение 1)

35 III-1 Междуречье Бол. Ерик-Бурея

19

Характеристика проявления

43 III-3 Река Бурея, в 1 км иже устья Тасчаха

5

Характеристика проявления

41 III-3 Деш

5

Характеристика проявления

42 III-3 Ключ Контактовый

5

Характеристика проявления

Твердые горючие ископаемые

Каменный уголь

35 III-1 Междуречье Бол. Ерик-Бурея

19

Характеристика проявления

43 III-3 Река Бурея, в 1 км иже устья Тасчаха

5

Характеристика проявления

41 III-3 Деш

5

Характеристика проявления

42 III-3 Ключ Контактовый

5

Характеристика проявления

Цветные металлы

Цинк

22

20 I-4 Река Мальмальта, в 3,5—4 км выше устья Тогтора

Свинцово-цинковые скопления сфалерита в треполитовом скарне

30 II-3 Нижнедешское

Зона гидротермально-измененных гранитов мощностью от 7 до 70 см

21 I-4 Ключ Тастан-Макит

Зона гидротермально-измененных гнейсов мощностью 2,7 м

18 I-4 Ключ Широкий

Гидротермально измененные пиритизированные лейкократовые граниты

31 II-4 Шлиховой ореол в верховых р. Тасах

16

Характеристика проявления

35 III-1 Междуречье Бол. Ерик-Бурея

19

Характеристика проявления

39 III-3 Река Верхн. Деш, в 4,5 км от устья р. Бугор в 10 км от устья

11

Характеристика проявления

23 I-4 Песчаный склон долины р. Бугор в 10 км от устья

11

Характеристика проявления

2 I-1 Спектрометаллометрический ореол на правобережье р. Верхн. Биранджи

25

Характеристика проявления

18 I-4 Бернедешское

Тонкие кварцевые прожилки в позднегалеозойских гидротермально измененных гранитах

27 II-3 Водораздел р. Верхн. Деш и ключа Турмалинового

5, 11, 21, 27

Характеристика проявления

6 I-2 Истоки ключа Мельвильского

4

Характеристика проявления

24 I-4 Близи слияния Грав. и Лев. Бугора

11

Характеристика проявления

Продолжение прилож. 4

31 II-4 Шлиховой ореол в верховых р. Куранах

16

Характеристика проявления

39 III-3 Река Верхн. Деш, в 4,5 км от устья р. Бугор в 10 км от устья

11

Характеристика проявления

39 III-3 Река Верхн. Деш, в 4,5 км от устья р. Бугор в 10 км от устья

11

Характеристика проявления

39 III-3 Река Верхн. Деш, в 4,5 км от устья р. Бугор в 10 км от устья

11

Характеристика проявления

39 III-3 Река Верхн. Деш, в 4,5 км от устья р. Бугор в 10 км от устья

11

Характеристика проявления

39 III-3 Река Верхн. Деш, в 4,5 км от устья р. Бугор в 10 км от устья

11

Характеристика проявления

39 III-3 Река Верхн. Деш, в 4,5 км от устья р. Бугор в 10 км от устья

11

Характеристика проявления

39 III-3 Река Верхн. Деш, в 4,5 км от устья р. Бугор в 10 км от устья

11

Характеристика проявления

39 III-3 Река Верхн. Деш, в 4,5 км от устья р. Бугор в 10 км от устья

11

Характеристика проявления

39 III-3 Река Верхн. Деш, в 4,5 км от устья р. Бугор в 10 км от устья

11

Характеристика проявления

39 III-3 Река Верхн. Деш, в 4,5 км от устья р. Бугор в 10 км от устья

11

Характеристика проявления

39 III-3 Река Верхн. Деш, в 4,5 км от устья р. Бугор в 10 км от устья

11

Характеристика проявления

39 III-3 Река Верхн. Деш, в 4,5 км от устья р. Бугор в 10 км от устья

11

Характеристика проявления

39 III-3 Река Верхн. Деш, в 4,5 км от устья р. Бугор в 10 км от устья

11

Характеристика проявления

39 III-3 Река Верхн. Деш, в 4,5 км от устья р. Бугор в 10 км от устья

11

Характеристика проявления

39 III-3 Река Верхн. Деш, в 4,5 км от устья р. Бугор в 10 км от устья

11

Характеристика проявления

39 III-3 Река Верхн. Деш, в 4,5 км от устья р. Бугор в 10 км от устья

11

Характеристика проявления

39 III-3 Река Верхн. Деш, в 4,5 км от устья р. Бугор в 10 км от устья

11

Характеристика проявления

39 III-3 Река Верхн. Деш, в 4,5 км от устья р. Бугор в 10 км от устья

11

Характеристика проявления

39 III-3 Река Верхн. Деш, в 4,5 км от устья р. Бугор в 10 км от устья

11

Характеристика проявления

39 III-3 Река Верхн. Деш, в 4,5 км от устья р. Бугор в 10 км от устья

11

Характеристика проявления

91

Продолжение прил. 4

№ по карте	Индекс клетки на карте	Наименование (место-нахождение), проявле-ния и вид полезного ископаемого	Характеристика проявления	№ использо-ванного мате-риала по списку (приложение 1)	
				№ использо-ванного мате-риала по списку (приложение 1)	
9	I-3	Участок Водораздель-ный	Две кварцевые жилы длиной 185 и 40 м, со-держанние 0,05—0,2%, мо-дифицировано по одной пробе до 0,6%	4, 6	
19	I-4	Мальмальгинское	Кварцевые жилы мощ-ностью от 0,04 до 2,6 м в деловом обломки окварцированных гранитов с тонкими кварцевыми прожилками	22	
28	II-3	Участок «Малый»	Дайки гранит-порфи-ров мощностью от 25 до 75 м с редкой вкраплен-ностью молибдена	1, 21	
29	II-3	Правый борт р. Нижн. Деш в 12 км от устья	Деловальные свалы кварца с молибденитом	21	
17	I-3	Ключ Перевальний, в 2,2 км от устья	Тонкие (до 1,5 см) кварцевые прожилки	22	
18	I-2	Участок г. Пыхти	Четыре маломощных (до 0,3 м) зоны дробле-ния позднепалеозойских гранитов	4	
14	I-3	Участок V геофизического планшета	Маломощные (до 0,3 м) зоны дробления поздне-палеозойских гранитов	4, 6	
13	I-3	Участок VII геофизи-ческого планшета	Жила халидолового кварца мощностью до 0,25 см	69	
11	I-3	Старо-Умальгинский участок	Убогая вкрапленность молибдита в сланцах среднего (?) девона	4, 6	
26	II-3	Верховья ключа Тур-малинового	Тонкие прожилки и линзы кварца в зоне ги-дротермально изменен-ных гранитов мощностью 20—25 м и протяженно-стью 700 м	22	
16	I-3	Усть-Мальгинское	Левобережье р. Умаль-ты, в 6 км северо-восточнее Умальгинского рудника	10	
12	I-3	Участок VI геофизического планшета	Три кварцевых жилы протяженностью 50, 70 и 90 м мощностью от 3 до 30 см	4, 6	

Продолжение прил. 4

№ по карте	Индекс клетки на карте	Наименование (место-нахождение), проявле-ния и вид полезного ископаемого	Характеристика проявления	№ использо-ванного мате-риала по списку (приложение 1)	
				№ использо-ванного мате-риала по списку (приложение 1)	
38	III-3	Правый борт р. Бурей, ниже устья Верх. Деш.	Бреккированные обож-ренные граниты с тонкими прожилками флюори-та	3	
1	I-1	Ореол рассеяния в северо-западном углу ли-ста	В металлометрических пробах из деловия усташовлен бериллит в коли-честве до 0,01%	12	
54	IV-1	Междуречье Алонжа—Седяя	В пробах из деловия устанавливаются киноварь до 90 зерен на щилих; в единичных пробах отмечено золото 1—2 знака	17	
4	I-1	Шлиховой ореол по р. Верх. Буренджа	На площади 15 km^2 в шлихах зафиксирована киноварь в количестве не выше 9 зерен на пробу	2	
69	IV-3	Шлиховой ореол по притокам р. Ургал	На площади 20 km^2 в шлихах устанавливаются золото 10 зерен на пробу	16	
7	I-3	Шлиховой ореол по притокам ключа Харда-гас	В шлихах, отобранных из аллювия и деловия на площади 3 km^2 , уста-навливается киноварь (в количестве 1 г) и золото (единичные зерна на пробу)	4	
10	I-3	Сурьма	Маломощная (0,05—0,15 м) жила халидоло-видного кварца, переходящая по простиранию в зону перетертых гра-нитов	4	

О ГЛАВЛЕНИЕ

	Стр.
Введение	3
Стратиграфия	7
Инtrузивные образования	35
Тектоника	46
Геоморфология	53
Полезные ископаемые	56
Подземные воды	77
Литература	80
Приложения	83

Редактор издательства *Л. Г. Ромжкова*
Технический редактор *В. В. Ромакова*

Корректор *Т. М. Кущнер*

Подписано к печати 5/II 1965 г.

Формат 60×90^{1/16}.
Печ. л. 6

Уч.-изд. л. 7
Тираж 100 экз.

Зак. № 03803

Издательство «Недра», Москва, Центр, ул. Кирова, 24.
Литография фабрики № 9 ГУГК